

การเตรียมผ้าฝ้ายและผ้าไหมมีทักษะท่อน้ำด้วยออร์แกโนซิเลนร่วมกับนาโนซิลิกอน ได้ออกไซด์

นางสาวชัญวรัตน์ พิพัฒ์ชาญชัย

สถาบันวิทยบริการ

วิทยานิพนธ์เป็นส่วนหนึ่งของการศึกษาตามหลักสูตรปริญญาวิทยาศาสตร์มหาบัณฑิต
สาขาวิชา วิทยาศาสตร์พอลิเมอร์ประยุกต์และเทคโนโลยีสิ่งทอ ภาควิชา วัสดุศาสตร์

คณ วิทยาศาสตร์ จุฬาลงกรณ์มหาวิทยาลัย

ปีการศึกษา 2549

ISBN 974-14-1825-6

ลิขสิทธิ์ของจุฬาลงกรณ์มหาวิทยาลัย

PREPARATION OF WATER REPELLENT COTTON AND SILK FABRICS
WITH ORGANOSILANE AND NANOSIZED SILICON DIOXIDE

Miss Thanwarat Pipatchanchai

A Thesis Submitted in Partial Fulfillment of the Requirements
for the Degree of Master of Science Program in Applied Polymer Science and Textile
Technology
Department of Materials Science
Faculty of Science
Chulalongkorn University
Academic Year 2006

หัวข้อวิทยานิพนธ์

การเตรียมผ้าฝ้ายและผ้าไนลอนน้ำด้วยออร์แกโนเจลลีนร่วมกับ
นาโนซิลิกอนไทดอกไฮด์

โดย

นางสาวธัญวรัตน์ พิพัฒน์ชาญชัย

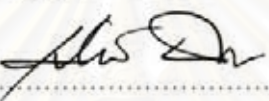
สาขาวิชา

วิทยาศาสตร์พอลิเมอร์ประยุกต์และเทคโนโลยีสิ่งทอ

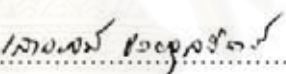
อาจารย์ที่ปรึกษา

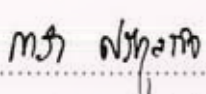
รองศาสตราจารย์ ดร.ภาวี ศรีภูลกิจ

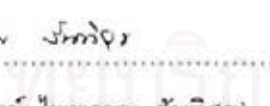
คณะวิทยาศาสตร์ จุฬาลงกรณ์มหาวิทยาลัย อนุมัติให้นับวิทยานิพนธ์ฉบับนี้เป็นส่วน
หนึ่งของการศึกษาตามหลักสูตรปริญญาบัณฑิต


..... คณบดีคณะวิทยาศาสตร์
(ศาสตราจารย์ ดร.เพี่ยมศักดิ์ เมนะเทศ)

คณะกรรมการตัดบัตรวิทยานิพนธ์


..... ประธานกรรมการ
(รองศาสตราจารย์ เสาร์จันทร์ ชัยฤทธิ์)


..... อาจารย์ที่ปรึกษา
(รองศาสตราจารย์ ดร.ภาวี ศรีภูลกิจ)


..... กรรมการ
(รองศาสตราจารย์ ไพบูลย์ สันติสุข)


..... กรรมการ
(ผู้ช่วยศาสตราจารย์ ดร.อุษา แสงวัฒนาโรจน์)


..... กรรมการ
(รองศาสตราจารย์ ดร.ประเสริฐ พิธิยะราช)

อัญวารัตน์ พิพัฒนาอุปนาย : การเตรียมผ้าฝ้ายและผ้าไหมสะท้อนน้ำด้วยօքซิเจนร่วมกับนาโนชิลิกอนไดออกไซด์ (PREPARATION OF WATER REPELLENT COTTON AND SILK FABRICS WITH ORGANOSILANE AND NANOSIZED SILICON DIOXIDE)
อ. ที่ปรึกษา : รศ.ดร.ภาวี ศรีภูติกิจ, 104 หน้า, ISBN 974-14-1825-6.

งานวิจัยนี้ศึกษาการตกแต่งสำเร็จผ้าฝ้ายและผ้าไหมให้มีสมบัติสะท้อนน้ำด้วยการใช้ชิลิกอนไดออกไซด์และเอกสารเดคชิลไตรเมทธอกซิเจนโดยอาศัยเทคนิคการจุ่มอัด-หมัก ขั้นตอนแรกนำชิลิกอนไดออกไซด์ขนาดอนุภาค 14 นาโนเมตร ที่ผ่านการโซโนคลาสในรูปสารแขวนลอย มาจุ่มอัดลงบนผ้าที่ดูดซึมน้ำ โดยที่ตั้งค่าความดันไว้เพื่อให้ได้ร้อยละของผ้าเปียก ที่ร้อยละ 80 ขั้นตอนที่สองนำผ้าที่ได้น้ำไปจุ่มอัดอีกครั้งในสารละลายเอกสารเดคชิลไตรเมทธอกซิเจน ต่อจากนั้นนำผ้าใส่ในถุงพลาสติกเก็บไว้ที่อุณหภูมิห้อง เป็นเวลา 24 ชั่วโมง เพื่อให้เกิดปฏิกิริยาโซล-เจล ผลจากการเกิดปฏิกิริยาโซล-เจลพบว่าอนุภาคนาโนชิลิกอนไดออกไซด์ถูกตัดแยกให้มีสมบัติไม่ชอบน้ำ ซึ่งพบว่ามุมสัมผัสของน้ำสูงกว่า 120 องศา ซึ่งแสดงถึงความสามารถในการต้านทานการ.absorb น้ำ ทำให้พื้นผิวผ้ามีสมบัติ superhydrophobic จากผลการทดลองนี้ภาวะที่เหมาะสมในการเตรียมผ้าสะท้อนน้ำ คือ ชิลิกอนไดออกไซด์ร้อยละ 5 ของน้ำหนัก และเอกสารเดคชิลไตรเมทธอกซิเจนร้อยละ 3 ของน้ำหนัก ปรับค่าพิเศษเท่ากับ 5 ด้วยกรดอะซิติกเป็นตัวเร่งปฏิกิริยา และหลังจากการทดสอบขั้กล้าง 10 ครั้ง ผลที่ได้มุมสัมผัสของน้ำลดลง แต่อย่างไรก็ตามมุมสัมผัสของน้ำสูงกว่า 90 องศา จึงกล่าวได้ว่าพื้นผิวยังมีสมบัติไม่ชอบน้ำ แสดงให้เห็นว่าอนุภาคนาโนชิลิกอนไดออกไซด์สามารถคงทนอยู่บนผ้าซึ่งให้ผลที่น่าพอใจ

สถาบันวิทยบริการ จุฬาลงกรณ์มหาวิทยาลัย

ภาควิชา วัสดุศาสตร์

สาขาวิชาวิทยาศาสตร์พอลิเมอร์ประยุกต์และเทคโนโลยีสิ่งทอ ลายมือชื่อนิสิต.....**ธนกร จันทร์แก้ว**
 ลายมือชื่ออาจารย์ที่ปรึกษา.....**ดร. พงษ์ภัท**
 ปีการศึกษา 2549

#4772230623 : MAJOR APPLIED POLYMER SCIENCE AND TEXTILE TECHNOLOGY

KEY WORD: WATER-REPELLENT/ SILICON DIOXIDE/ HEXADECYLTRIMETHOXYSILANE/ COTTON/ SILK

THANWARAT PIPATCHANCHAI: PREPARATION OF WATER REPELLENT
COTTON AND SILK FABRICS WITH ORGANOSILANE AND NANOSIZED
SILICON DIOXIDE.

THESIS ADVISOR : ASSOC.PROF.KAWEE SRIKULKIT,Ph.D. 104 pp.

ISBN 974-14-1825-6.

The finishing of cotton and silk fabrics to impart the water repellency property was carried out using colloidal silicon dioxide and hexadecyltrimethoxysilane. The application was made pad-batch technique. First, the sonicated colloidal silicon dioxide with the particle size of 14 nm was applied onto fabrics using pad mangle set the percent pick-up at 80 wt%. Second the treated fabric was reimpregnated with the solution of hexadecyltrimethoxysilane. The treated fabric was kept in a plastic bag at room temperature for 24 hours to allow the sol-gel reaction. As a result of sol-gel reaction, the silicon dioxide nanoparticle became hydrophobic, according to the achievable high contact angle of more than 120 degree. According to SEM, the particles were distributed onto fiber surface, created the fiber surface roughness. It was believed that the increased surface roughness combined with hydrophobic contributed to the phenomenon of superhydrophobic surface. From this experiment, the optimum condition was the amount of silicon dioxide 5 wt% and hexadecyltrimethoxysilane 3 wt% at pH 5 adjusted with acetic acid. After 10 cycles washing test, the contact angle of more than 90 degree was still achieved and the evidence of silicon dioxide residue from TGA indicating that the fastness of nanoparticle onto the fabric was satisfactory.

Department Materials Science

Student's signature.....*Thanwarat Pipatchanchai*

Field of study Applied Polymer Science and Textile Technology Advisor's signature

Kawee Srikulkit

Academic year 2006

กิตติกรรมประกาศ

วิทยานิพนธ์เรื่องการเตรียมผ้าสะท้อนน้ำด้วยօร์แกโนซิลิโคนในชีลิกอนไดออกไซด์ฉบับนี้ สามารถบรรลุวัตถุประสงค์และประสบความสำเร็จเป็นอย่างดีก็ด้วยได้รับความอนุเคราะห์ การให้คำปรึกษาและแนะนำ ตลอดกำลังใจจากผู้มีส่วนเกี่ยวข้องดังนี้

ขอขอบพระคุณ รองศาสตราจารย์ ดร.ภาวี ศรีภูลกิจ ที่กุณเป็นอาจารย์ที่ปรึกษาในงานวิจัยนี้ ให้คำแนะนำและข้อมูลต่างๆ ที่เป็นประโยชน์แก่งานวิจัย ตลอดจนการตรวจทานและแก้ไขวิทยานิพนธ์ฉบับนี้

ขอขอบพระคุณ รองศาสตราจารย์ เสาร์จัน ช่วยจุลจิตร ประธานกรรมการ รองศาสตราจารย์ ไพบูลย์ สันติสุข ผู้ช่วยศาสตราจารย์ ดร.อุษา แสงวัฒนาโรจน์ และรองศาสตราจารย์ ดร.ประณัฐ พิธิยะราษฎร์ กรรมการสอบวิทยานิพนธ์ ซึ่งได้เสนอข้อคิดเห็นที่เป็นประโยชน์และแก้ไขเพิ่มเติม ส่วนที่บกพร่องของงานวิจัยนี้

ขอขอบพระคุณ บัณฑิตวิทยาลัย จุฬาลงกรณ์มหาวิทยาลัย ที่ได้ให้ทุนสนับสนุนวิทยานิพนธ์ในครั้งนี้

ขอขอบพระคุณ บริษัท ชินกัตระใหม่ไทย ที่ให้ความอนุเคราะห์ผ้าใหม่สำหรับใช้ในงานวิจัยนี้

ขอขอบพระคุณ คณาจารย์ของภาควิชาวัสดุศาสตร์ สาขาวิทยาศาสตร์พอลิเมอร์ประยุกต์และเทคโนโลยีสิ่งทอ ทุกท่านสำหรับให้คำปรึกษาและแนะนำ ตลอดจนพนักงานวิทยาศาสตร์ที่ช่วยอำนวยความสะดวกในการทำวิจัย

ขอขอบพระคุณ บิดา Narada และญาติพี่น้อง ที่เคยสนับสนุนและเป็นกำลังใจ

สารบัญ

หน้า

บทคัดย่อ (ภาษาไทย).....	๑
บทคัดย่อ (ภาษาอังกฤษ).....	๑
กิตติกรรมประกาศ.....	๑
สารบัญ.....	๑
สารบัญตราสาร.....	๑
สารบัญรูป.....	๑

บทที่

1 บทนำ.....	๑
2 วารสารบริทัศน์.....	๔
2.1 เส้นใยธรรมชาติ.....	๔
2.1.1 เส้นใยฝ้าย.....	๔
2.1.2 เส้นใยไหม.....	๘
2.2 การตกแต่งผ้าสะท้อนน้ำ.....	๑๓
2.2.1 การเกะติดของสารสะท้อนน้ำบนพื้นผิวเส้นใยด้วยแรงทางกายภาพ.....	๑๕
2.2.2 การเกิดปฏิกิริยาเคมีระหว่างสารไม่ชอบน้ำกับเส้นใย.....	๑๕
2.2.3 การเกิดเป็นฟิล์มสะท้อนน้ำเคลือบรอบเส้นใย.....	๑๖
2.3 ปรากฏการณ์น้ำกลิ้งบนใบบัว.....	๑๖
2.4 มุ่มส้มผ้าส绣ลงน้ำ.....	๑๘
2.5 กระบวนการโซล-เจล.....	๑๙
2.5.1 ชนิดของเจล.....	๒๒
2.5.2 เทคนิคการเกิดโซล-เจล.....	๒๕
2.6 พูมซิลิกาและօอร์แกโนซิลิเดน.....	๒๖
2.6.1 พูมซิลิกา.....	๒๖
2.6.2 օอร์แกโนซิลิเดน	๒๗

บทที่	หน้า
2.7 งานวิจัยที่เกี่ยวข้อง.....	30
3 วิธีดำเนินการวิจัย.....	32
3.1 วัสดุและสารเคมีที่ใช้ในการทดลอง.....	32
3.2 เครื่องแก้วที่ใช้ในการทดลอง.....	32
3.3 อุปกรณ์และเครื่องมือที่ใช้ในการทดลอง.....	33
3.4 เครื่องมือที่ใช้ในการทดสอบ.....	33
3.5 การเตรียมผ้าสะท้อนน้ำด้วยซิลิกอนไดออกไซด์.....	33
3.5.1 การเตรียมตัวอย่างผ้า.....	33
3.5.2 การเตรียมซิลิกอนไดออกไซด์ในรูปของสารแขวนลอย.....	33
3.5.3 การเตรียมอิมัลชันอะกซ์เดคซิลไตรเมทอกซีซิเลน	35
3.5.4 การตกแต่งผ้าสะท้อนน้ำ.....	35
3.6 การทดสอบ.....	37
3.6.1 ความขาวของผ้า.....	37
3.6.2 มุนส้มผ้าของน้ำ.....	38
3.6.3 ความคงทนต่อการซักล้าง.....	40
3.6.4 ลักษณะทางสัณฐานวิทยาบนพื้นผิวผ้าที่ผ่าน	
การตกแต่งสะท้อนน้ำด้วยเทคนิค ATR-FTIR.....	41
3.6.5 การศึกษาลักษณะเฉพาะของสารเคลือบบนพื้นผิวผ้าที่ผ่าน	
การตกแต่งสะท้อนน้ำด้วยเทคนิค ATR-FTIR.....	41
3.6.6 การวิเคราะห์หาปริมาณซิลิกอนไดออกไซด์บนผ้าที่ผ่านการตกแต่งสะท้อนน้ำ	
ด้วยเทคนิคเทอร์โมกราฟิเมทริกอะนาลิซิส.....	42
4 ผลการทดลองและวิเคราะห์ผลการทดลอง.....	44
4.1 ดัชนีความขาวของผ้า.....	44
4.2 มุนส้มผ้าของน้ำบนผ้า.....	48
4.3 ความคงทนต่อการซักล้าง.....	53
4.4 ลักษณะทางสัณฐานวิทยาพื้นผิวของผ้า.....	72
4.6 การตรวจหาลักษณะเฉพาะของสารเคลือบบนพื้นผิวผ้าที่ผ่านการตกแต่ง	
สะท้อนน้ำด้วยเทคนิค ATR-FTIR.....	76
4.7 การวิเคราะห์หาปริมาณซิลิกอนไดออกไซด์บนผ้าที่ผ่านการตกแต่งสะท้อนน้ำด้วย	
ด้วยเทคนิคเทอร์โมกราฟิเมทริกอะนาลิซิส	79

5	สรุปผลการวิจัยและข้อเสนอแนะ.....	81
5.1	สรุปผลการวิจัย.....	81
5.2	ข้อเสนอแนะ.....	82
	รายการอ้างอิง.....	83
	ภาคผนวก.....	86
	ประวัติผู้เขียนวิทยานิพนธ์.....	104



สถาบันวิทยบริการ จุฬาลงกรณ์มหาวิทยาลัย

สารบัญตาราง

ตาราง	หน้า
ตารางที่ 2.1 องค์ประกอบหลักกรดอะมิโนของไฟบรอินและเซรีซิน.....	10
ตารางที่ 2.2 สารช่วยตอกแต่งสะท้อนน้ำ.....	14
ตารางที่ 2.3 สมบัติของฟูมซีลิกา.....	26
ตารางที่ 3.1 การตอกแต่งผ้าสะท้อนน้ำ.....	36
ตารางที่ 4.1 ร้อยละที่เหลือจากการเผาไหม้ของผ้าฝ้ายและผ้าไหมด้วยเทคนิค TGA.....	79

สถาบันวิทยบริการ
จุฬาลงกรณ์มหาวิทยาลัย

สารบัญรูป

รูปประกอบ

หน้า

รูปที่ 2.1 โครงสร้างทางเคมีของโมเลกุลเซลลูโลส.....	4
รูปที่ 2.2 ภาพวาดแสดงภาคตัดขวางของเส้นใยฝ้าย.....	5
รูปที่ 2.3 ภาพวาดแสดงภาพตามความยาวของเส้นใยฝ้าย.....	6
รูปที่ 2.4 ภาพวาดแสดงภาพตามความยาวของเส้นใยไหม.....	9
รูปที่ 2.5 โครงสร้างผลึกของสายโซ่พอลิเบป์ไทด์ในไฟบรอกิน.....	10
รูปที่ 2.6 ภาพถ่ายพื้นผิวใบบัว.....	16
รูปที่ 2.7 ภาพถ่ายหยดน้ำบนพื้นผิวใบบัว.....	17
รูปที่ 2.8 แบบจำลองพื้นผิวที่สามารถทำความสะอาดตนเองได้.....	17
รูปที่ 2.9 มุมสัมผัสของเหลว.....	18
รูปที่ 2.10 กระบวนการโซล-เจล.....	20
รูปที่ 2.11 แสดงพฤติกรรมการเกิดพอลิเมอร์ของอนุภาชนะภายในสารละลายน้ำ (A) ในสารละลายกรดหรือมีการเติมเกลือ อันุภาตรวมกลุ่มกันเป็นโครงข่าย 3 มิติ และเกิดเป็นเจล (B) ในสารละลายเบสอนุภาชนะด้านภูมิประเทศชั้นและ จำนวนอนุภาคลดลง.....	24
รูปที่ 2.12 โครงสร้างของชิลิกา.....	27
รูปที่ 2.13 การตัดแปรพื้นผิวสตูเชรามิกและแก้ว.....	28
รูปที่ 2.14 การเกิดปฏิกิริยาของออร์แกโนชิลิก.....	29
รูปที่ 3.1 เครื่องอัลตราโซนิก.....	34
รูปที่ 3.2 ชิลิกอนไดออกไซด์ในรูปของสารแขวนลอย (ช้ำย) ก่อนทำไฮนิกเคชันและ (ขวา) ภายหลังทำไฮนิกเคชัน.....	34
รูปที่ 3.3 เครื่องจุ่มอัด.....	35
รูปที่ 3.4 เครื่องวัดสี.....	37
รูปที่ 3.5 เครื่องวัดมุมสัมผัสของน้ำ.....	38
รูปที่ 3.6 วิธี sessile drop.....	39
รูปที่ 3.7 การวัดมุมสัมผัสโดยใช้ protractor.....	39
รูปที่ 3.8 เครื่องซักผ้า.....	40
รูปที่ 3.9 กล้องจุลทรรศน์อิเล็กตรอนแบบส่องการดู.....	41

รูปที่ 3.10 เครื่องวิเคราะห์ทางสเปกโทรสโคปีด้วยรังสีอินฟราเรด.....	42
รูปที่ 3.11 เครื่องวิเคราะห์ทางความร้อน.....	43
รูปที่ 4.1 ดัชนีความขาวของผ้าฝ้ายที่ผ่านการตกแต่งสะท้อนน้ำโดยการเคลือบอนุภาค ชิลิกอนไดออกไซด์ที่ความเข้มข้นต่างๆ กับเอกสารเดคซิลไตรเมทอกซิซิเลน ร้อยละ 1 ของน้ำหนัก ที่ภาวดีกรดต่างกัน.....	45
รูปที่ 4.2 ดัชนีความขาวของผ้าฝ้ายที่ผ่านการตกแต่งสะท้อนน้ำโดยการเคลือบอนุภาค ชิลิกอนไดออกไซด์ที่ความเข้มข้นต่างๆ กับเอกสารเดคซิลไตรเมทอกซิซิเลน ร้อยละ 3 ของน้ำหนัก ที่ภาวดีกรดต่างกัน.....	45
รูปที่ 4.3 ดัชนีความขาวของผ้าฝ้ายที่ผ่านการตกแต่งสะท้อนน้ำโดยการเคลือบอนุภาค ชิลิกอนไดออกไซด์ที่ความเข้มข้นต่างๆ กับเอกสารเดคซิลไตรเมทอกซิซิเลน ร้อยละ 5 ของน้ำหนัก ที่ภาวดีกรดต่างกัน.....	46
รูปที่ 4.4 ดัชนีความขาวของผ้าไหมที่ผ่านการตกแต่งสะท้อนน้ำโดยการเคลือบอนุภาค ชิลิกอนไดออกไซด์ที่ความเข้มข้นต่างๆ กับเอกสารเดคซิลไตรเมทอกซิซิเลน ร้อยละ 1 ของน้ำหนัก ที่ภาวดีกรดต่างกัน.....	47
รูปที่ 4.5 ดัชนีความขาวของผ้าไหมที่ผ่านการตกแต่งสะท้อนน้ำโดยการเคลือบอนุภาค ชิลิกอนไดออกไซด์ที่ความเข้มข้นต่างๆ กับเอกสารเดคซิลไตรเมทอกซิซิเลน ร้อยละ 3 ของน้ำหนัก ที่ภาวดีกรดต่างกัน	47
รูปที่ 4.6 ดัชนีความขาวของผ้าไหมที่ผ่านการตกแต่งสะท้อนน้ำโดยการเคลือบอนุภาค ชิลิกอนไดออกไซด์ที่ความเข้มข้นต่างๆ กับเอกสารเดคซิลไตรเมทอกซิซิเลน ร้อยละ 5 ของน้ำหนัก ที่ภาวดีกรดต่างกัน.....	48
รูปที่ 4.7 มุมสัมผัสของน้ำบนผ้าฝ้ายที่ผ่านการตกแต่งสะท้อนน้ำโดยการเคลือบอนุภาค ชิลิกอนไดออกไซด์ที่ความเข้มข้นต่างๆ กับเอกสารเดคซิลไตรเมทอกซิซิเลน ร้อยละ 1 ของน้ำหนัก ที่ภาวดีกรดต่างกัน.....	50
รูปที่ 4.8 มุมสัมผัสของน้ำบนผ้าฝ้ายที่ผ่านการตกแต่งสะท้อนน้ำโดยการเคลือบอนุภาค ชิลิกอนไดออกไซด์ที่ความเข้มข้นต่างๆ กับเอกสารเดคซิลไตรเมทอกซิซิเลน ร้อยละ 3 ของน้ำหนัก ที่ภาวดีกรดต่างกัน.....	50

รูปที่ 4.45 มุมสัมผัสของน้ำบนผ้าใหม่ภายหลังการซักล้างของผ้าที่ผ่านการตากแต่งสะท้อนน้ำโดยการเคลือบอนุภาคซิลิกอนไดออกไซด์ที่ความเข้มข้นต่างๆ กับเยกซะเดคซิลไตรเมทอกซีซิเลนร้อยละ 3 ของน้ำหนัก ปรับค่าพีเอช 3 ด้วยกรดอะซิติก.....	70
รูปที่ 4.46 มุมสัมผัสของน้ำบนผ้าใหม่ภายหลังการซักล้างของผ้าที่ผ่านการตากแต่งสะท้อนน้ำโดยการเคลือบอนุภาคซิลิกอนไดออกไซด์ที่ความเข้มข้นต่างๆ กับเยกซะเดคซิลไตรเมทอกซีซิเลนร้อยละ 5 ของน้ำหนัก ปรับค่าพีเอช 5 ด้วยกรดอะซิติก.....	70
รูปที่ 4.47 มุมสัมผัสของน้ำบนผ้าใหม่ภายหลังการซักล้างของผ้าที่ผ่านการตากแต่งสะท้อนน้ำโดยการเคลือบอนุภาคซิลิกอนไดออกไซด์ที่ความเข้มข้นต่างๆ กับเยกซะเดคซิลไตรเมทอกซีซิเลนร้อยละ 5 ของน้ำหนัก ปรับค่าพีเอช 4 ด้วยกรดอะซิติก.....	71
รูปที่ 4.48 มุมสัมผัสของน้ำบนผ้าใหม่ภายหลังการซักล้างของผ้าที่ผ่านการตากแต่งสะท้อนน้ำโดยการเคลือบอนุภาคซิลิกอนไดออกไซด์ที่ความเข้มข้นต่างๆ กับเยกซะเดคซิลไตรเมทอกซีซิเลนร้อยละ 5 ของน้ำหนัก ปรับค่าพีเอช 3 ด้วยกรดอะซิติก.....	71
รูปที่ 4.49 แสดงพื้นผิวของอนุภาคซิลิกอนไดออกไซด์และอนุภาคซิลิกอนไดออกไซด์ในรูปแขวนลอยร้อยละ 5 ของน้ำหนัก ภายหลังทำให้นิ่งเดชัน จากกล้อง SEM ที่กำลังขยาย 20,000 เท่า.....	72
รูปที่ 4.50 แสดงพื้นผิวของผ้าฝ้ายที่ไม่ผ่านการตากแต่งสะท้อนน้ำ จากกล้อง SEM ที่กำลังขยาย 2,000 และ 10,000 เท่า.....	73
รูปที่ 4.51 แสดงพื้นผิวของผ้าฝ้ายที่ผ่านเคลือบด้วยซิลิกอนไดออกไซด์ร้อยละ 5 ของน้ำหนัก จากกล้อง SEM ที่กำลังขยาย 2,000 และ 10,000 เท่า.....	73
รูปที่ 4.52 แสดงพื้นผิวของผ้าฝ้ายที่เคลือบด้วยเยกซะเดคซิลไตรเมทอกซีซิเลนร้อยละ 3 ของน้ำหนัก ปรับค่าพีเอชเท่ากับ 5 ด้วยกรดอะซิติก จากกล้อง SEM ที่กำลังขยาย 2,000 และ 10,000 เท่า.....	73
รูปที่ 4.53 แสดงพื้นผิวของผ้าฝ้ายที่ผ่านเคลือบด้วยซิลิกอนไดออกไซด์ร้อยละ 5 ของน้ำหนัก และเยกซะเดคซิลไตรเมทอกซีซิเลนร้อยละ 3 ของน้ำหนัก ปรับค่าพีเอชเท่ากับ 5 ด้วยกรดอะซิติก จากกล้อง SEM ที่กำลังขยาย 2,000 และ 10,000 เท่า.....	74
รูปที่ 4.54 แสดงพื้นผิวของผ้าใหม่ที่ไม่ผ่านการตากแต่งสะท้อนน้ำ จากกล้อง SEM ที่กำลังขยาย 2,000 และ 10,000 เท่า.....	74
รูปที่ 4.55 แสดงพื้นผิวของผ้าใหม่ที่ผ่านเคลือบด้วยซิลิกอนไดออกไซด์ร้อยละ 5 ของน้ำหนัก จากกล้อง SEM ที่กำลังขยาย 2,000 และ 10,000 เท่า.....	74

รูปที่ 4.56 แสดงพื้นผิวของผ้าไหมที่เคลือบด้วยเยกซะเดคซิล ไตรเมทอกซีซิเลนร้อยละ 3 ของน้ำหนัก ปรับค่าพีเอชเท่ากับ 5 ด้วยกรดอะซิติก จากกล้อง SEM ที่กำลังขยาย 2,000 และ 10,000 เท่า.....	75
รูปที่ 4.57 แสดงพื้นผิวของผ้าไหมที่ผ่านเคลือบด้วยซิลิกอนไดออกไซด์ร้อยละ 5 ของน้ำหนัก และเยกซะเดคซิล ไตรเมทอกซีซิเลนร้อยละ 3 ของน้ำหนัก ปรับค่าพีเอชเท่ากับ 5 ด้วยกรดอะซิติก จากกล้อง SEM ที่ กำลังขยาย 2,000 และ 10,000 เท่า.....	75
รูปที่ 4.58 เปรียบเทียบอินฟราเรดสเปกตรัมของผ้าฝ้าย (a) ไม่ผ่านการตกแต่งสะท้อนน้ำ (b) เคลือบด้วยซิลิกอนไดออกไซด์ร้อยละ 5 ของน้ำหนัก และ(c) เคลือบด้วย ซิลิกอนไดออกไซด์ร้อยละ 5 ของน้ำหนัก และเยกซะเดคซิล ไตรเมทอกซีซิเลน ร้อยละ 3 ของน้ำหนัก ปรับค่าพีเอชเท่ากับ 5 ด้วยกรดอะซิติก.....	76
รูปที่ 4.59 เปรียบเทียบอินฟราเรดสเปกตรัมของผ้าฝ้ายที่ผ่านการเคลือบด้วย ซิลิกอนไดออกไซด์ร้อยละ 5 ของน้ำหนัก และเยกซะเดคซิล ไตรเมทอกซีซิเลน ร้อยละ 3 ของน้ำหนัก ปรับค่าพีเอชเท่ากับ 5 ด้วยกรดอะซิติก (a) ก่อนซัก (b) หลังซัก 5 ครั้ง และ(c) หลังซัก 10 ครั้ง.....	77
รูปที่ 4.60 เปรียบเทียบอินฟราเรดสเปกตรัมของผ้าไหม (a) ไม่ผ่านการตกแต่งสะท้อนน้ำ (b) เคลือบด้วยซิลิกอนไดออกไซด์ร้อยละ 5 ของน้ำหนัก และ(c) เคลือบด้วย ซิลิกอนไดออกไซด์ร้อยละ 5 ของน้ำหนัก และเยกซะเดคซิล ไตรเมทอกซีซิเลน ร้อยละ 3 ของน้ำหนัก ปรับค่าพีเอชเท่ากับ 5 ด้วยกรดอะซิติก.....	77
รูปที่ 4.61 เปรียบเทียบอินฟราเรดสเปกตรัมของผ้าไหมที่ผ่านการเคลือบด้วย ซิลิกอนไดออกไซด์ร้อยละ 5 ของน้ำหนัก และ เยกซะเดคซิล ไตรเมทอกซีซิเลน ร้อยละ 3 ของน้ำหนัก ปรับค่าพีเอชเท่ากับ 5 ด้วยกรดอะซิติก (a) ก่อนซัก (b) หลังซัก 5 ครั้ง และ (c) หลังซัก 10 ครั้ง.....	78

บทที่ 1

บทนำ

ความเป็นมาและความสำคัญของปัญหา

เทคนิคการเตรียมผ้าที่มีสมบัติสะท้อนน้ำในปัจจุบันมีหลายวิธี [1, 2, 3] เช่น การตัดแปรพื้นผิวเส้นใยด้วยสารประกอบไฟริดินัม การเคลือบผิวของเส้นใยด้วยสารเคมีพอกพาราฟิน ชิลลิโคนเรซิน และสารประกอบฟลูออโรคาร์บอน โดยเฉพาะสารประกอบฟลูออโรคาร์บอนนิยม นำมาตกแต่งสะท้อนน้ำบนสิ่งทอเนื่องจากให้มุ่งสัมผัสของน้ำมากที่สุด ซึ่งผลที่ได้นั้นมีมุ่งสัมผัสของน้ำบนผ้าอยู่ระหว่าง 120-140 องศา แต่อย่างไรก็ตามมีข้อเสียตรงที่มีการปลดปล่อยสารพิษที่ก่อให้เกิดการระคายเคืองต่อผิวนังและไม่เป็นมิตรแก่สิ่งแวดล้อม ดังนั้นงานวิจัยนี้พยายามปรับปรุงพื้นผิวของผ้าให้มีมุ่งสัมผัสของน้ำมากกว่า 120 องศา (ซึ่งโดยปกติแล้วจะทำได้ต้องอาศัยสารเคลือบที่เป็นสารประกอบฟลูออโรคาร์บอน) โดยในการทดลองนี้จะไม่อาศัยสารประกอบฟลูออโรคาร์บอนเพื่อหลีกเลี่ยงปัญหาเกี่ยวกับสิ่งแวดล้อม ดังนั้นการทดลองนี้จึงได้อาศัยหลักการ nano เทคโนโลยีมาปรับปรุงพื้นผิวสิ่งทอโดยเลียนแบบน้ำกลิ้งบนใบบัว [4, 5] ทำให้ผ้า (ผ้าฝ้ายและผ้าไหม) ไม่เปียกน้ำและยังสามารถทำความสะอาดตันเองได้ คือมีผิวที่ชุ่วชื้นด้วยการนำเอาน้ำภาคนาโนมาอัดลงบนผิวเส้นใยหลังจากนั้นจะทำการรุ่มอัดอนุภาคเหล่านี้ด้วยสารที่ไม่ชอบน้ำทำให้อนุภาคนาโนมีผิวที่ไม่ชอบน้ำ

โดยงานวิจัยนี้จะทำการรุ่มอัดอนุภาคชิลิกอนไ/do/ok/ไฮด์ที่มีขนาด 14 นาโนเมตร ลงบนผ้า (ผ้าฝ้ายและผ้าไหม) หลังจากนั้นทำการหุ่มอนุภาคชิลิกอนไ/do/ok/ไฮด์ด้วยเอกสารเดคชิลไฮเมทอกซิซิลเคนซึ่งเป็นสารพอกออร์แกโนซิลิเคน โดยอาศัยปฏิกิริยาไฮล-เจลเพื่อทำให้อนุภาคชิลิกามีสมบัติไม่ชอบน้ำ เนื่องจากอนุภาคนาโนในส่วนที่เกาะติดที่ผิวผ้าจะทำให้ผิวผ้ามีความชุ่วชื้นมากขึ้นเป็นเหตุให้ผิวผ้ามีพลังงานพื้นผิวต่ำลงกว่าเดิมมาก ผลให้มุ่งสัมผัสของน้ำเพิ่มมากขึ้นมากกว่าการเคลือบผิวผ้าด้วยสารสะท้อนน้ำทั่วไป โดยขอบเขตการทดลองนี้จะประกอบไปด้วยการตัดแต่งสะท้อนน้ำบนผ้าทอด้วยอนุภาคนาโน การทดสอบสมบัติสะท้อนน้ำและความคงทนของอนุภาคนาโนบนผ้าฝ้ายหลังการซักล้าง ซึ่งผ้าสะท้อนน้ำที่เตรียมได้มีสมบัติคล้ายผิวใบบัวและสามารถทำความสะอาดตัวเองได้ ดังนั้นจึงทำให้ผ้ามีสมบัติไม่แตกต่างจากผิวใบบัว

เสื้อผ้าที่ตกลงแต่งจะต้องน้ำด้วยวัสดุดูโนนเน้น [6] จะมีความพิเศษที่ผู้สวมใส่จะสามารถแยกความแตกต่างได้ระหว่างการสวมใส่เสื้อผ้าที่ตกลงแต่งด้วยสารเคมีเคลือบผิวผ้าหรือวัสดุดูโนนทั้งนี้ เพราะวัสดุดูโนนนั้นมีพื้นผิวน่าคล้ายกระดาษและมีขนาดเล็กกว่า จึงสามารถทำให้เกิดแบบติดอยู่กับเส้นใยดูเหมือนเป็นเนื้อดียกันโดยที่ไม่มีผลต่อการปอกปิดซ่องว่างระหว่างเส้นใย ทำให้มีส่วนประกอบต่อการถ่ายเทของอากาศเมื่อไส้แล้วรู้สึกสบายตัว ในขณะที่ใช้สารเคมีตกลงแต่งสำเร็จส่วนใหญ่จะมีลักษณะเป็นสารเคลือบ ดังนั้นมีอนาคตที่จะเกิดเป็นพิล์มปักคลุมผิวผ้าโดยปักคลุมซึ่งจะช่วยลดการระเหยของอากาศระหว่างเส้นใยด้วย ส่งผลให้อากาศไม่ถ่ายเทระหว่างภายนอกและภายในร่างกาย ทำให้เกิดความไม่สบายตัวต่อผู้สวมใส่

วัตถุประสงค์ของการวิจัย

- ศึกษาการเตรียมผ้าสะท้อนน้ำและหาภาวะที่เหมาะสมในการตกลงแต่งด้วยการพนีกอนุภาคนาในของชิลิกอนไดออกไซด์ลงบนพื้นผิวสิ่งทอโดยอาศัยเทคนิคโซล-เจล
- ศึกษาสมบัติการสะท้อนน้ำของผ้าที่มีอนุภาคของชิลิกอนไดออกไซด์และสัณฐานวิทยาของผ้าเมื่อผ่านการตกลงแต่งสะท้อนน้ำ

ขอบเขตของการวิจัย

- จุดอุดອนนุภาคนาในของชิลิกabenผ้า (ผ้าฝ้ายและผ้าไหม) หลังจากนั้นจะหุ้มอนุภาคนาในของชิลิกาด้วยเทคนิคโซล-เจลโดยอาศัยสารออร์แกโนซิลิเคน ซึ่งจะศึกษาอิทธิพลต่างๆ ดังนี้
 - อัตราส่วนของชิลิกอนไดออกไซด์กับสารออร์แกโนซิลิเคน
 - ตัวเร่งปฏิกิริยา
 - ความเป็นกรด-เบส
- การทดสอบและวิเคราะห์ตัวอย่าง
 - ทดสอบสมบัติทางกายภาพของผ้าเมื่อผ่านการตกลงแต่งสะท้อนน้ำ ได้แก่
 - การทดสอบสะท้อนน้ำด้วยวิธีการวัดมุมสัมผัส (contact angle measurements)
 - การทดสอบความคงทนต่อการซักล้าง ตามมาตรฐาน AATCC test method 61
 - การทดสอบความขาวด้วยเครื่องวัดสี ตามมาตรฐาน AATCC test method 110

- 2.2 ตรวจสอบวิเคราะห์สัณฐานวิทยาของผ้าที่ฝ่านการตากแต่งสะท้อนน้ำด้วยกล้องจุลทรรศน์อิเล็กตรอนแบบส่องการดู
- 2.3 ตรวจสอบวิเคราะห์ลักษณะเนื้อพาราของสารเคลือบบนพื้นผิวผ้าที่ฝ่านการตากแต่ง สะท้อนน้ำด้วยเทคนิค ATR-FTIR
- 2.4 วิเคราะห์ปริมาณซิลิกอนไดออกไซด์บนผ้าที่ฝ่านการตากแต่งสะท้อนน้ำด้วยเทคนิค TGA



สถาบันวิทยบริการ
จุฬาลงกรณ์มหาวิทยาลัย

บทที่ 2

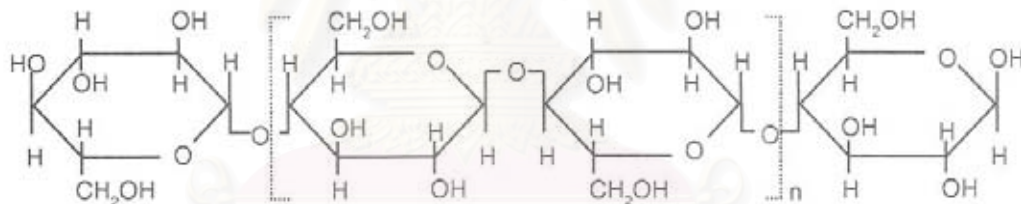
สารสารบิตรคน

2.1 เส้นใยธรรมชาติ

2.1.1 เส้นใยฝ้าย

2.1.1.1 โครงสร้างทางเคมีและทางกายภาพ

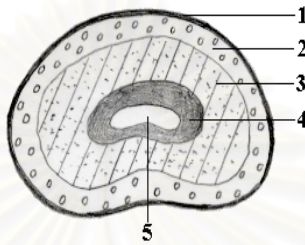
ฝ้ายเป็นพืชที่มีความสำคัญและมีการใช้งานกว้างขวางมากที่สุดร้อยละ 70-75 ของเส้นใยทุกชนิดโดยใช้ได้ในรูปของฝ้ายล้วนหรือฝ้ายผสมกับเส้นใยอื่นๆ ได้แบบทุกชนิด ฝ้ายเป็นเส้นใยเซลลูโลสที่มีองค์ประกอบทางเคมี [7, 8] ประกอบด้วยธาตุหลักคือ คาร์บอนร้อยละ 44.4 ไฮโดรเจนร้อยละ 6.2 และออกซิเจนร้อยละ 49.4 มีหน่วยพื้นฐานที่เรียกว่า anhydro-d-glucose ($C_6H_{10}O_5$) ต่อกันเป็นลูกโซ่จนเกิดเป็นสายใยไมเลกุลยาวยังแสดงรูปที่ 2.1



รูปที่ 2.1 โครงสร้างทางเคมีของโมเลกุลเซลลูโลส [7]

แต่ละหน่วยของกลูโคสประกอบไปด้วยหมู่ไฮดรอกซิลหัวหมุด 3 หมู่ด้วยกัน (เป็น primary group 1 หมู่ และ secondary group 2 หมู่) ซึ่งคล้ายกับโครงสร้างของโมเลกุln้ำตาลทั่วไป แต่เนื่องจากโมเลกุลต่อ กันยาวเป็นลูกโซ่ทำให้มะลายน้ำซึ่งต่างจากน้ำตาล โครงสร้างทางเคมีนี้ นับว่ามีบทบาทอย่างยิ่งต่อการกำหนดสมบัติของเส้นใยกล่าวคือ หมู่ไฮดรอกซิลเป็นหมู่ที่ขอบน้ำ ทำให้มีความสามารถในการดูดซึมความชื้นได้ดี ลักษณะการเรียงตัวเป็นลูกโซ่ไมเลกุลยาวยทำให้มี ความแข็งแรงสูงตามไปด้วย พันธะระหว่างโมเลกุลคือพันธะ -C-O-C- เป็นพันธะที่ไม่ทนต่อ ปฏิกิริยาออกซิเดชัน จึงเป็นสาเหตุทำให้เส้นใยถูกทำลายจากภูมิอากาศ ทำให้โมเลกุลยาวยขาด ลงกลายเป็นส่วนเล็กๆ คล้ายน้ำตาลและสลายเป็นอาหารของพืชและสัตว์ต่อไป

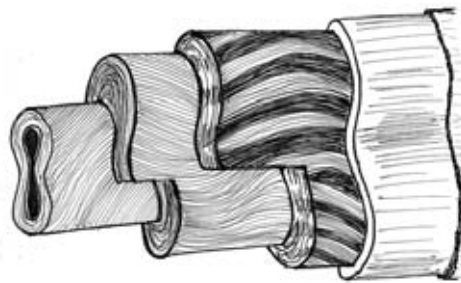
สำหรับโครงสร้างของฝ่ายหกมองในรายละเอียดทางกายภาพฝ่าย พบร่วมกันที่ต่างๆ ความเป็นผลึกต่อความเป็นอสัณฐานสูงถึงประมาณ 2 ต่อ 1 ทำให้ความสามารถในการยึดตัวดีและดูดซึมความชื้นสูง โดยทางกายภาพฝ่ายเป็นเส้นใยสันมีลักษณะวายวนอกที่หยาบเป็นหลอดแบบ [2, 8] ขั้นกันเป็นเกลียวและจากกล้องจุลทรรศน์ภาพตัดขวางมีลักษณะคล้ายรูปไตหรือเม็ดถั่วที่มีช่องว่างกลางกลางเป็นช่องส่งน้ำ (lumen) ดังแสดงในรูปที่ 2.2



รูปที่ 2.2 ภาพวาดแสดงภาคตัดขวางของเส้นใยฝ่าย [9]

- 1 – ชั้นของไนโตรเจน
- 2 – ผนังชั้นแรก
- 3 – ผนังชั้นสอง
- 4 – ผนังชั้นสาม
- 5 – ช่องส่งน้ำ

ภาพตัดขวางของฝ่ายระยะแรกมีลักษณะเป็นตัว U ผนังเซลล์บางขณะที่ยังอ่อนอยู่ ต่อมามาเส้นใยมีอายุมากขึ้นผนังก็เริ่มหนามีลักษณะเป็นรูปถั่วมากขึ้น รูกลางที่ท่อส่งน้ำจะหดเล็กลง ผิวนอกดูคล้ายพิล์มนัมเบลลีบอยู่ ผนังชั้นแรกเป็นผนังชั้นที่เกิดก่อนเป็นชั้นบาง ขณะที่ท่อส่งน้ำตกรถทางใหญ่ดูคล้ายท่อ ต่อมาระบุเติบโตมากขึ้นผนังชั้นแรกจะมีความหนาแน่นขึ้นขยายจากผิวเข้าสู่ส่วนกลาง การเจริญเติบโตเป็นชั้นๆ คล้ายวงบีโน่ลำต้นทำให้ท่อส่งน้ำส่วนกลางถูกเบี้ยดเล็กลงแต่ละชั้นของผนังที่ขยายเข้าไปมีความหนาแตกต่างกันไปขึ้นกับสภาพภูมิอากาศ อาหารและน้ำเปลือกที่หนาเพิ่มขึ้นนี้เรียกว่า ผนังชั้นสองและชั้นสาม ตามลำดับ แต่ละชั้นที่เจริญเติบโตขึ้นนี้ประกอบไปด้วยเส้นใยละเอียดอันเกิดจากการตอกันยาวของลูกโซ่ไมเลกูลของเซลล์โดยสัดส่วนทางกัน กัน และลักษณะการจัดเรียงตอกันนี้เองที่ทำให้ในบางครั้งมีพิษทางการเรียงที่สับพิเศษทางกัน ดังแสดงในรูปที่ 2.3 ทำให้เกิดเกลียวฝ่ายหรือบิดตัวคล้ายริบบินขึ้นตามความยาวของเส้นใย



รูปที่ 2.3 ภาพวาดแสดงภาพตามความยาวของเส้นใยฝ้าย [9]

2.1.1.2 สมบัติทางกายภาพ

ลักษณะภายนอก ฝ้ายจากธรรมชาติมีลักษณะคล้ายหลอดแบบบิดขึ้นกันเป็นเกลี้ยงพื้นที่หน้าตัดเป็นเม็ดถ้วงกลางเป็นรูซึ่งเกิดจากท่อส่งน้ำตามแกนกลางของเส้นใยนั้นเอง ผิวของเส้นใยไม่เรียบและทึบแสง

ความยาวเส้นใย เส้นใยแต่ละเส้นมีความยาวอยู่ในช่วง $1/8\text{--}2\text{--}1/2$ นิ้ว ($3\text{--}63$ มิลลิเมตร) โดยทั่วไปฝ้ายมีความแข็งแรงดีกว่าฝ้ายสัน

สี ปกติฝ้ายมีสีขาว บางชนิดอาจพบเป็นสีครีมหรือสีน้ำตาล

ความเงา漫 โดยธรรมชาติฝ้ายมีความ漫น้อย ยกเว้นที่ผ่านการทำชุบ漫 (mercerization) แล้วความ漫จะดีขึ้น

ความแข็งแรง ฝ้ายเป็นเส้นใยที่มีความแข็งแรงปานกลาง ความทนแรงดึง ณ จุดขาดมีค่าประมาณ $3.0\text{--}5.0$ กรัมต่อแคนเดเนียร์ (g/denier) เมื่อเปรียกน้ำฝ้ายมีความแข็งแรงเพิ่มขึ้นอีกประมาณร้อยละ $10\text{--}20$ ฝ้ายที่ผ่านกระบวนการชุบ漫แล้วความแข็งแรงจะสูงขึ้น โดยทั่วไปความแข็งแรงของฝ้ายแปรโดยตรงไปตามความยาวของเส้นใยเมื่อนำมาตีเกลียวเป็นด้าย เส้นใยยาวจะมีจุดสัมผัสและการเกาะกันของเส้นใยมากกว่าเส้นใยสัน ทำให้เกิดแรงเสียดทานได้มากกว่า ผลลัพธ์ของการหดตัวแรงดึงสูงขึ้น

การยึดตัว เป็นเส้นใยที่มีการยึดตัวดีกว่าลินิน แต่ต่ำกว่าไนลอนและขนสัตว์ เกลียวฝ้ายที่เกิดจากธรรมชาติทำให้มีการยึดตัวที่ดีและนำมายืนเป็นด้ายได้ง่ายสามารถยึดตัวได้ประมาณร้อยละ $3\text{--}7$

**การคืนตัวจากแรงอัด ฝ่ายมีความสามารถในการคืนตัวภายหลังที่ถูกกดทับได้ต่ำ
เกิดการยับได้ง่าย ในปัจจุบันมีการตกแต่งสำหรับห้องวิธีที่จะช่วยให้ปัญหาของการยับลดลง**

**การดูดซึมความชื้น ที่ภาวะมาตรฐานอุณหภูมิ 70 องศาฟาร์เอนไฮต์ (21 องศา
เซลเซียส) และความชื้นสัมพัทธิ์ร้อยละ 65 ฝ่ายมีความสามารถดูดซึมความชื้นได้สูงถึงร้อยละ
7–10 และความแข็งแรงของฝ่ายสูงขึ้นเมื่อเปียก**

**ความร้อน ฝ่ายทนต่อความร้อนได้ดี อุณหภูมิที่ใช้ในการรีดอาจสูงถึง 400–425
องศาฟาร์เอนไฮต์ (204–218 องศาเซลเซียส) ในระยะเวลาสั้นๆ ฝ่ายเริ่มไหม้และเปลี่ยนเป็นสี
น้ำตาลที่อุณหภูมิ 475 องศาฟาร์เอนไฮต์ (246 องศาเซลเซียส) และถ้าสูงกว่านั้นอาจถูกทำลาย
ได้ สามารถซักได้ด้วยน้ำร้อนระดับ 212 องศาฟาร์เอนไฮต์ (100 องศาเซลเซียส) และอบแห้งที่
160–200 องศาฟาร์เอนไฮต์ (71–93 องศาเซลเซียส)**

2.1.1.3 สมบัติทางเคมี

**กรด กรดอินทรีย์ เช่น กรดน้ำส้มไม่เป็นอันตรายต่อฝ่าย แต่ถ้าเป็นกรดประเภท
กำมะถัน หรือกรดไฮโดรคลอริกจะละลายฝ่ายเป็นยางเหนียว และถ้าถูกกรดในตระกิทำปฏิกิริยา
ได้เซลลูโลสในเทรมมีสมบัติเป็นวัตถุระเบิด**

**ด่าง ฝ่ายทนต่อสารละลายด่างได้ดี แม้ด่างแก่ที่ใช้เป็นสนูปในการซักล้างก็ไม่มีผลต่อ¹
สมบัติของฝ่าย นอกจากนั้นด่างที่เป็นสารเคมีหลักในการทำชูบมันเพื่อทำให้ฝ่ายมีความแข็งแรง
เพิ่มขึ้นได้ด้วย**

**สารละลายอินทรีย์ ฝ่ายสามารถซักแห้งได้ เนื่องจากมีความสามารถต่อสารละลาย
อินทรีย์ส่วนใหญ่ได้มาก**

**สารซักฟอก สารซักฟอกโดยทั่วไปที่มีขายในตลาดชนิดที่ไม่แก่นกสามารถใช้ซักฟอก
ฝ่ายได้ แต่ต้องระวังเรื่องของความเข้มข้นและระยะเวลา ประกอบกับภัยหลังการซักแล้วควรทำการล้าง
ล้างน้ำสะอาดออกให้หมด สารซักฟอกในกลุ่มสารออกซิไดซ์แก่ เช่น โปเตสเซียมเปอร์
แมงกาเนตและโซเดียมไฮโปรดอลไวท์ มีผลทำให้ฝ่ายเกิดปฏิกิริยาทางเคมีกลยยสภาพเป็น ออก
ซีเซลลูโลส (oxycellulose) ที่มีสมบัติอ่อนแอกว่าฝ่ายปกติ ขาดง่ายเมื่อเปียกและเปลี่ยนเป็นสี
เหลือง**

ราและแมลง ปกติผ้าฝ้ายเกิดราได้ง่าย เนื่องจากเป็นที่ตากค้างนานจากการลงเฝ้าทำให้เป็นปัจจัยต่อการเจริญเติบโตของรา ปัญหานี้แก้ได้โดยการตากแห้งสำหรับผ้าฝ้ายภายหลัง สำหรับแมลงก็เช่นเดียวกันเป็นปัญหาสืบเนื่องจากเป็นที่ตากค้างในฝ้ายเอง

แสง ฝ้ายถูกแสงแดดสามารถเกิดปฏิกิริยาออกซิเดชันเป็นออกซีเซลลูโลสเปลี่ยนเป็นเหลืองและเสื่อมคุณภาพลง ดังนั้นจึงควรหลีกเลี่ยงการใช้งานของฝ้ายไม่ให้ถูกแสงแดดโดยตรง

การข้อมสี สามารถรับสีข้อมได้หลายชนิด เช่น สีรีแอคทีฟ สีแวนอกจากนั้นอาจเป็นสีไดร์กและสีเบลิก

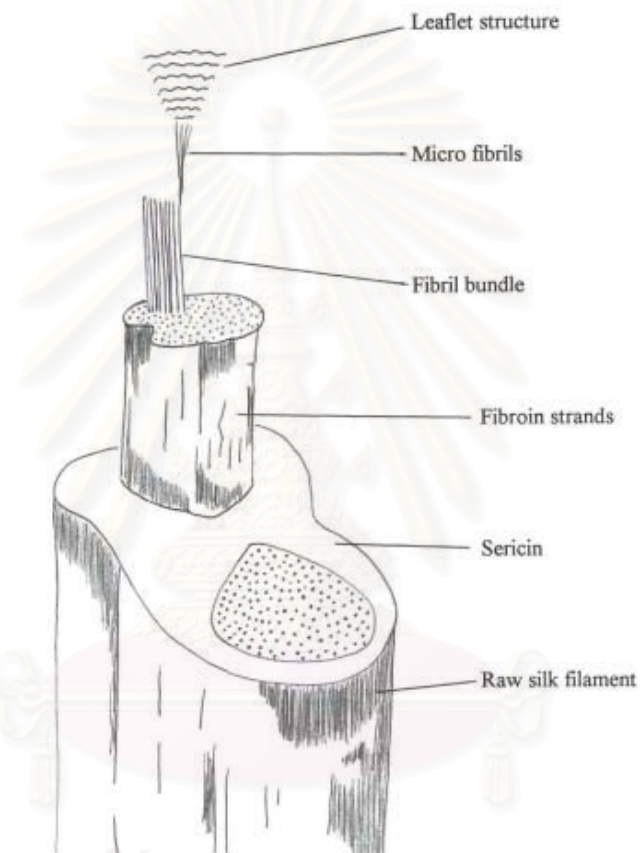
2.1.2 เส้นใยไหม

2.1.2.1 โครงสร้างทางเคมีและทางกายภาพ

ไหมเป็นเส้นใยโพลีตินที่มีความหนaruwa สวยงาม มีเอกลักษณ์เป็นของตนเอง มีชีวิตชีวามและการทึบตัด มีความแข็งแรงสูง นอกจานนี้ยังเป็นเส้นใยธรรมชาติชนิดเดียวที่เป็นเส้นใยยาวโดยมีความยาวต่อเนื่องตลอดเส้นที่เกิดจากรังไหมแต่ละรัง ความยาวระหว่าง 1,300-2,000 พุต (390-600 เมตร) และอาจพบความยาวต่อรังสูงกว่า 1,000 เมตร แต่ละเส้นของไหมประกอบด้วย เส้นใยสองเส้น即是ติดกันและเคลือบด้วยกาวยไหมที่เป็นเซริซิน (sericin) [7]

พันธุ์ไหมที่มีคุณภาพดีที่สุดคือ พันธุ์ Bombyx mori วงจรของการเพาะเลี้ยงไหมเริ่มจากขั้นตอนการวางไข่ของตัวแมลงไหม หลังจากที่ไข่สุกแล้วแตกออกตัวหนอนถูกเลี้ยงด้วยใบหม่อนอ่อน โดยใช้เวลาประมาณ 35 วัน หนอนไหมเจริญเติบโตได้อย่างรวดเร็วจนมีน้ำหนักประมาณ 10,000 เท่าของแมลงแรกเกิด กิ่งไม้เล็กๆ ที่วางเตรียมในงานจะถูกหนอนไหมนำไปใช้เริ่มสร้างรัง เรียกว่า รังไหม (cocoon) ซึ่งมีลักษณะเป็นเส้นใยไหมที่เกิดจากตัวหนอนไหมอัดปั๊ยกองเหลวออกจากต่อมรวมสองต่อมในรูเดียวกันจากส่วนหัวของตัวหนอน ดังนั้นจึงได้ออกมาเป็นเส้นใยคู่ที่เกาะติดกันด้วยสารเซริซิน ช่วงเวลาเพียงแค่ 2-3 วัน หนอนไหมสามารถปันเส้นใยออกมาได้ยาวถึง 1 ไมล์ (1,600 เมตร) และล้อมรอบตัวของมันเองได้อย่างสมบูรณ์ เมื่อตัวหนอนเจริญเติบโตต่อไปจะเปลี่ยนสภาพเป็นดักแด้แล้วจึงโตเป็นแมลง จากนั้นจะปล่อยสารละลายที่สามารถละลายเส้นใยที่เป็นรังไหมให้เปิดเป็นรูบริเวณปลายของรังเพื่อคลานออกสู่ภายนอกได้ ดังนั้นในการให้เส้นใยยาวต่อเนื่องในรังไหมนั้น จะเป็นต้องทำการห่ำแมลงก่อนเสมอ เพื่อป้องกันการที่แมลงจะปล่อยสารละลายเจาะรังไหมขาด ทั้งนี้กิจการที่ทำกันคือ การนำรังไหมไปต้มซึ่งเป็นการเอกสารว่างไหมออกตัวในขั้นตอนเดียวกัน จากนั้นจึงสาวไหมออกจากรัง

ไหมเป็นเส้นใยยาวต่อเนื่องตลอดเส้น [7, 8] มีผิวเรียบแต่ไม่สม่ำเสมอตามความยาวของเส้นใย พื้นที่หน้าตัดเป็นรูปสามเหลี่ยมมนตามรูปที่ 2.4 องค์ประกอบหลักทางเคมีคือ โปรตีนที่เรียกว่า ไฟเบอร์อิน (fibroin) โดยเส้นใยไหมมีไฟเบอร์อินอยู่ร้อยละ 70-75 เชริชินร้อยละ 20-25 ในมันร้อยละ 2-3 และสารอื่นร้อยละ 1-1.7 ของสารทั้งหมด ซึ่งเชริชินเป็นส่วน อัลฟ์เซน ทั้งไฟเบอร์อินและเชริชินเป็นส่วนของโปรตีนที่ประกอบด้วยกรดอะมิโน 16-18 ชนิด ส่วนใหญ่ได้แก่ ไกลชีน (glycin) อะลานีน (alanine) เชรีน (serine) และไทโรนีน (tyrosine) โดยโครงสร้างทางเคมีของกรดอะมิโนทั้ง 4 ชนิดนี้แสดงดังตารางที่ 2.1

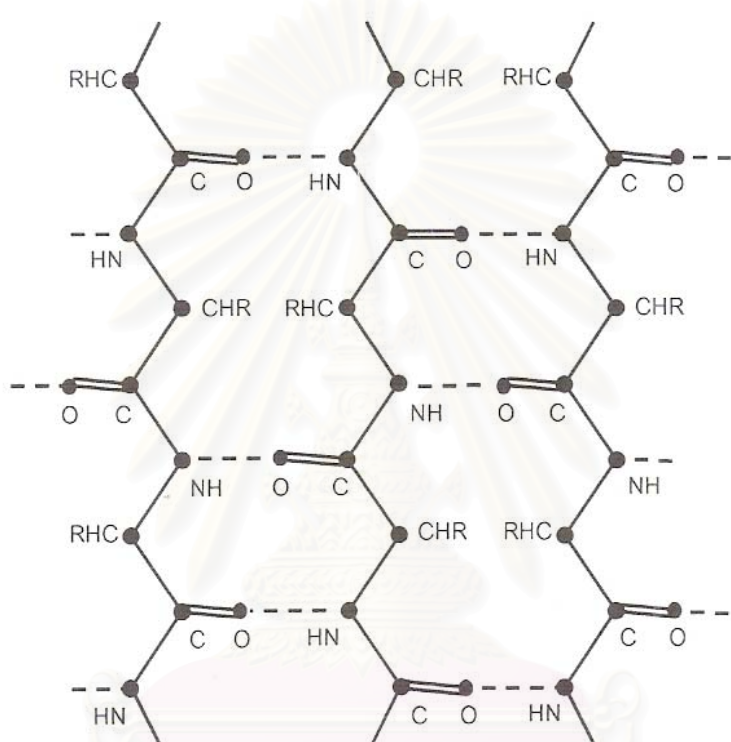


รูปที่ 2.4 ภาพวาดแสดงภาพตามยาวของเส้นไหม [10]

ตารางที่ 2.1 องค์ประกอบหลักกรดอะมิโนของไฟเบอร์อินและเชริชิน

กรดอะมิโน	หมู่ข้างเคียง	เชริชิน (%mol)	ไฟเบอร์อิน (%mol)
ไกลชีน	H -	14.75	45.21
อะลานีน	CH ₃ -	4.72	29.16
เชรีน	CH ₂ (OH) -	34.71	11.26
ไทโรชีน	OHC ₆ H ₄ CH ₂ -	3.35	5.14

องค์ประกอบหลักทางเคมีคือ โปรตีนที่เรียกว่าไฟโบรอิน ประกอบด้วยธาตุหลักที่สำคัญคือ C, H, O, N และ S ซึ่งมีน้อยมาก โปรตีนไฟโบรอินจะเป็นลูกโซ่ไม่เลกูลเรียบด้วยวิธีที่ไม่มีพันธะเชื่อมขวางเหมือนขนสัตว์และจากการวิเคราะห์การจัดเรียงตัวด้วยรังสีเอกซ์ พบว่า ไฟโบรอินของไหมเป็นแบบเบต้า-ไฟโบรอิน ไม่เลกูลเรียบตัวกันแน่นเป็นระเบียบตามยาวและมีบางบริเวณที่เรียงตัวหลวมๆ ทำให้ไหมมีคุณสมบัติเหนี่ยวแข็งแรงและยืดหยุ่นได้ ดังแสดงในรูปที่ 2.5



รูปที่ 2.5 โครงสร้างผลึกของสายไฟโบรอิน [7]

2.1.2.2 สมบัติทางกายภาพ

ลักษณะภายนอก ไหมดิบจะเป็นลักษณะของเส้นใยคู่ภาวะติดกันด้วยกาวยิ่ง มีความมัน นุ่มนวล เป็นแบบอย่างของการทำเส้นใยประดิษฐ์ ผิวนอกดูเรียบแต่ไม่สม่ำเสมอตัดขาด ความยาวของเส้นใย หลังจากถูกกาวยิ่งออกแล้วจะเป็นเส้นใยเดี่ยว เรียบ และพื้นที่หน้าตัดเป็นสามเหลี่ยมมุมมน นับเป็นเส้นใยที่มีความละเอียดสูงขนาด 1.25 แเดเนียร์ต่อเส้นเท่านั้น

**ความยาว ปักติใหม่มีความยาวมากและเป็นเส้นไนโตรัมชาติชนิดเดียวที่เป็นเส้นไนโตรัม
ความยาวโดยทั่วไปอยู่ระหว่าง 1,300–2,000 พุต (390–600 เมตร) และอาจพบที่ยาวได้ถึง 4,000 พุต (1,200 เมตร) ก็มี**

สี ใหมเดิมมีสีตั้งแต่เหลืองไปจนถึงเทา และปัจจุบันมีหลายสีมากขึ้น

ความมัน ภายนอกที่ลอกกาวใหมออกแล้ว ใหม่มีความมันดีมาก สวยงาม เป็นรูปแบบการทำเส้นไนประดิษฐ์

ความแข็งแรง ใหมเป็นเส้นไนโตรัมชาติที่มีความแข็งแรงสูงที่สุดตัวยิ่งผิวที่เรียบมัน ทำให้ลดปัญหาจากการขัดถู ความละเอียดของเส้นไนใหมทำให้ผ้าใหมสามารถที่จะได้รับการออกแบบให้มีโครงสร้างที่เบาบางและคงทน มีค่าความหนาแรงดึง ณ จุดขาดอยู่ที่ 3.5–5.0 กรัมต่อแคนเนอร์ ในขณะที่แห้ง และจะมีความแข็งแรงลดลงเล็กน้อยเมื่อเปียก (ลดลงประมาณร้อยละ 15–25)

สภาพยืดหยุ่น ใหมเป็นเส้นไนที่ยืดหยุ่นตัวได้ดี อาจเปลี่ยนไปตามชนิดของพันธุ์และเจริญเติบโต สามารถยืดได้ถึงร้อยละ 20 ของความยาวเดิม เมื่อเทียบกับเส้นไนขันสัตว์จะพบว่าสภาพยืดหยุ่นของใหมไม่ดีเท่าขันสัตว์ ทั้งนี้เนื่องจากโครงสร้างทางโมเลกุลของใหม ไม่มีพันธะเชื่อมขวาง ดังนั้นจึงไม่อาจดึงกลับคืนสภาพเดิมได้หมด

การคืนตัวจากแรงอัด ใหมมีความสามารถในการคืนกลับได้ดี ไม่เกิดการยับย่นได้ง่าย สามารถกลับรูปเดิมได้เพียงช่วงที่ไม่ระยะเวลาหนึ่ง

การดูดซึมความชื้น ที่ภาวะมาตรฐานความสามารถในการดูดซึมความชื้นจะอยู่ที่ร้อยละ 11 นับว่ามีความสามารถในการดูดซึมความชื้นได้ดี ทำให้รับสีย้อมและสีพิมพ์ได้ดีด้วย ผ้าใหมทำให้ผู้ใช้รู้สึกสบายไม่ระคายผิวและเนื่องจากผ้าใหมเป็นตัวนำความร้อนที่ไม่ดี จึงรักษาความอบอุ่นได้นานเหมาะสมแก่การทำเป็นผ้าพันคอ ชุดสูท เป็นต้น

ความร้อน สามารถทนต่อความร้อนได้สูงถึงประมาณ 340 องศาfahrenไฮต์ (170 องศาเซลเซียส) ในเวลาสั้นๆ มีฉะนั้นจะถลวยตัว นับได้ว่าค่อนข้างอ่อนไหวต่อความร้อนแต่ดีกว่าขันสัตว์

ความถ่วงจำเพาะ ใหมเป็นเส้นไนโตรัมชาติที่มีค่าความถ่วงจำเพาะเพียง 1.25 แต่ยังมีการทึบตัวดี

2.1.2.3 สมบัติทางเคมี

กรด คล้ายชนสัตว์คือไม่ถูกทำลายโดยกรดทั่วไป แต่กรดที่มีความเข้มข้นสูงสามารถทำลายใหม่ได้

ด่าง ไม่อ่อนไหวต่อด่างเท่ากับชนสัตว์ แต่อาจถูกทำลายได้ด้วยด่างที่มีความเข้มข้นสูง และอุณหภูมิสูงพอ ด่างแก่มีผลทำให้ใหม่มีความมันลดลง ผ้าใหม่บางชนิดอาจซักด้วยน้ำสบู่อ่อน และการซักที่ไม่รุนแรงได้ แต่ถ้าจะรีดต้องมีผ้าป้องกันบนผ้าใหม่และมีความชื้นพอเหมาะสม

เกลือคลอไครด์ ใหม่ถูกทำลายด้วยสารที่มีส่วนผสมของเกลือคลอไครด์สมอยู่ ได้แก่ เหงื่อ น้ำยาดับกลิ่น และน้ำเกลือทั่วไป โดยเฉพาะอย่างยิ่งเหงื่อจะไปทำให้ผ้าใหม่ติดคราบดังนี้ การใช้ผลิตภัณฑ์ใหม่ที่ต้องสัมผัสถูกผิวจะต้องรักษาความสะอาดให้ดีภายนหลังการใช้งานทุกครั้ง

สารละลายอินทรีย์ ผลิตภัณฑ์ใหม่ส่วนใหญ่ใช้การซักแห้งอยู่เสมอทั้งนี้อาจเนื่องมาจากโครงสร้างของเส้นใยใหม่หรือสีที่ใช้้อม โดยตัวมันเองแล้วใหม่สามารถซักด้วยน้ำยาซักแห้งได้ สำหรับสารซักฟอกใหม่มีความทนต่อสารซักฟอกคล้ายชนสัตว์ ถูกทำลายด้วยสารซักฟอกประเภทออกไซด์ เช่น พลาทีมีโซเดียมไฮโดร夸โรไครด์สมอยู่ แต่สารซักฟอกประเภทไฮโดรเจนเปอร์ออกไซด์หรือโซเดียมเปอร์บอร์เวต ภายใต้ภาวะการซักปกติจะไม่เกิดผลเสียต่อใหม่

ราและแมลง ปกติใหม่ไม่เกิดราได้ง่าย ยกเว้นถูกทิ้งไว้ในภาวะค่อนข้างเปียกชื้นเป็นเวลานาน ใหม่สะอาดไม่มีปัญหาของแมลงและรา ยกเว้นแต่ได้ผลจากสารตกแต่งสำเร็จหรือสิ่งสกปรกที่ติดมา

แสง ผ้าใหม่อ่อนไหวต่อแสงแดด โดยเฉพาะอย่างยิ่งการถูกแสงแดดโดยตรงเป็นเวลานาน ผ้าใหม่จะเปลี่ยนเป็นสีเหลืองและความแข็งแรงลดลง ดังนั้นการนำผ้าใหม่มาทำเป็นผ้าม่านหรือบุเครื่องเรือนควรมีการป้องกันไม่ให้ถูกแสงแดดมาก

การย้อมสี ใหม่มีความสามารถในการย้อมสีได้มาก อาจย้อมสีได้ด้วยสีที่เป็นแอลิคเบสิกหรือสีไดเร็ก ผ้าใหม่มีอย้อมสีจะได้สีเข้มกว่าชนสัตว์และสามารถย้อมได้ในที่อุณหภูมิต่ำกว่าด้วย

2.2 การตกแต่งผ้าสะท้อนน้ำ

การตกแต่งสะท้อนน้ำมีความจำเป็นมากสำหรับทำเสื้อผ้ากีฬาและเสื้อกันฝน ผลิตภัณฑ์เพอร์ฟูร์ พร้อม และเคลือบสิ่งทออื่นๆ ซึ่งส่วนใหญ่เป็นผลิตภัณฑ์สิ่งทอใช้กับงานภายนอก ที่ไม่ต้องการเปลี่ยนหรืออน้ำซึมผ่านได้ โดยปกติแล้วเราสามารถนำผ้ามาตกแต่งการสะท้อนน้ำในปัจจุบันมีหลายวิธี [2, 9, 11] ด้วยสารเคมี เช่น

- สบู่/เกลืออะลูมิเนียม
- สบู่/ไข่/เกลืออะลูมิเนียม
- ไข่/เกลืออะลูมิเนียม
- ไข่/เกลือเซอร์โคเนียม
- สารประกอบไพริดินัม เช่น สเตียโนมิโดเมทิลไพริดินัมคลอไรด์ (stearamidomethyl pyridinium chloride)
- พาราฟินแวร์กซ์/เรซิน
- สารประกอบเชิงชั้นอนออกอร์แกโนเมทแทลลิก เช่น สเตียโนไดโครมิกคลอไรด์ (stearatochromic chloride)
- ซิลิโคน เช่น พอลิไดเมทซิลออกไซน์ (polydimethyl siloxanes)
- สารประกอบฟลูออโรคาร์บอน

สถาบันวิทยบริการ
จุฬาลงกรณ์มหาวิทยาลัย

ตารางที่ 2.2 สารช่วยตกแต่งสีท่อน้ำ [9]

name	diagrammatic formula
aluminium salt/paraffin emulsions	$R - COO - Al(OH)_3 + \text{paraffin}$ with or without protective colloid
zirconium salt/paraffin emulsions	$R - COO - Zr = O + \text{paraffin}$ HO
alkoxymethyl pyridinium chloride	$\left[R - CH_2 - O - CH_2 - N^+ - \begin{array}{c} Cl^- \\ \\ C_6H_5 \end{array} \right]$
fatty acid modified synthetic resins (on the basis of hexamethylol melamine ethers)	$\begin{array}{c} ROCH_2 - N - C & CH_2OR \\ & \\ ROCH_2 - N & C - N - CH_2O \\ & \\ & N & \\ & & CH_2OOCR \\ & N & \\ ROCH_2 & CH_2OOCR \end{array}$
stearylchromyl chloride	$\left[C_{17}H_{35} - C(=O) - Cr^{(2+)} - OH - Cr^{(2+)} \right] 4Cl^-$
modified alkylurea	$R - NH - C(=O) - \begin{array}{c} CH_2 - OR' \\ \\ N \end{array} - CH_2 - OR'$
polysiloxanes	$- O - \begin{array}{c} H \\ \\ Si \end{array} - O - \begin{array}{c} H \\ \\ Si \end{array} - \text{Si} - \text{bzw. } O - \begin{array}{c} CH_3 \\ \\ Si \end{array} - O - \begin{array}{c} CH_3 \\ \\ Si \end{array} -$
fluorocarbon compounds	$\begin{array}{c} C_8F_{17} \\ \{ \\ - [CH - CH_2 -]_n \end{array}$

เทคนิคในการเตรียมผ้าให้มีสมบัติ适合ท่อน้ำเปล่าออกเป็น 3 วิธี [9,12,13]

2.2.1 การเก็บติดของสารสะท้อนน้ำบนพื้นผิวน้ำด้วยแรงทางกายภาพ

หลักการ นำเทคนิคของเกลือมาประยุกต์ ขั้นตอนเริ่มจากการทำให้วัสดุสิ่งทออิ่มตัวด้วยสารละลายอิมันชันที่มีสูตรและไขข้อมูล จากนั้นทำให้แห้งจะได้พื้นผิวผ้าที่เต็มไปด้วยสารละลายอะลูมิเนียมฟอร์เมทหรืออะซิเตททำให้ได้ผลิตภัณฑ์ที่สะท้อนน้ำได้ อย่างไรก็ตามปัจจุบันนิยมใช้การตกแต่งในขั้นเดียวเป็นระบบอิมันชันที่เสถียรของพาราฟิน ใช้ และเกลืออะลูมิเนียมหรือเกลือเซอร์โคเนียมเป็นหลัก ความคงทนต่อการซักแปรปรวน นอกจากนี้ยังพบว่าการใช้ไข่/เกลือเซอร์โคเนียม มีความคงทนต่อการซักดีกว่าไข่/เกลืออะลูมิเนียมและสูตร/เกลือของโลหะร่วมกันเสียด้วย นอกจากนี้ถ้าต้องการให้มีบางส่วนเกาะเส้นไนน์โดยการแทนที่ใช้เกลืออะลูมิเนียมกับเกลือเซอร์โคเนียมร่วมกันจะสมบูรณ์เส้นไนน์ ทำให้ความคงทนต่อการซักดีขึ้นแต่อย่างไรก็ตามมันสามารถเคลื่อนที่หลุดออกจากพื้นผิวผ้าได้ยากในคุณภาพการซักวัดสูง

2.2.2 การเกิดปฏิกิริยาเคมีระหว่างสารไม่ชอบน้ำกับเส้นไนน์

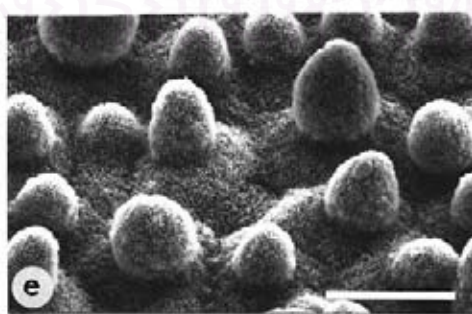
หลักการ เกิดปฏิกิริยา กับเส้นไนน์โดยปฏิกิริยาเคมีทริฟิเคลชันกับอีทริฟิเคลชันบนเส้นไนน์เซลลูโลสกับสารสะท้อนน้ำ ทำให้ความคงทนต่อการซักดี สารเคมีที่ใช้มีหลายประเภทอาทิ เช่น อนุพันธ์กรดไขมันที่มีประจุบวกที่ขอบทำปฏิกิริยา กับเส้นไนน์เกิดเป็นสารประกอบเชิงช้อนพากสารประเภทไพริดินัม แต่มีข้อเสียมักมีสารไพริดินัมปล่อยออกมานอกลินเอน์และเป็นพิษในระหว่างกระบวนการตกแต่งที่ความร้อน ส่วนเรชินสังเคราะห์ที่ได้จากการดัดแปลงไขมันและพาราฟินแวร์ชีน มีประสิทธิภาพดีมาก สารตกแต่งเรชิน เช่น ยูเรียฟอร์มาดีไฮด์และเมลามินฟอร์มัล ดีไฮด์ เป็นสารเชื่อมข้างระหว่างเส้นไนน์ภายในโมเลกุลเกิดพันธะเคมีเดย์โดยมีหมู่ไม่ชอบน้ำเป็นตัวกำหนดสมบัติ适合ท่อน้ำของผ้า อย่างไรก็ตามผลิตภัณฑ์ที่ได้มีการปลดปล่อยฟอร์มัล ดีไฮด์ สูง มีกลิ่นคล้ายผลไม้แต่เป็นอันตรายต่อสุขภาพ นอกจากนี้ยังมีอนุพันธ์ของกรดไขมันที่ประกอบด้วยโลหะ สารประกอบเชิงช้อนօร์แกโนเมทแทลลิกของโครงสร้าง ที่ใช้กันแต่มีข้อเสีย ทำให้สีผ้าซีดและเป็นปัญหาแก่สิ่งแวดล้อม ภายหลังการตกแต่งสำเร็จน้ำทึบที่ออกมาน้ำมีโลหะโครงสร้างปนเปื้อน จึงมีการใช้อย่างจำกัด ไม่เป็นที่นิยม

2.2.3 การเกิดเป็นฟิล์มสะท้อนน้ำเคลือบครอบเส้นใย

หลักการ เป็นการนำพอลิเมอร์มาใช้ เคลือบเป็นฟิล์มใช้ได้กับเส้นใยสังเคราะห์และเส้นใยธรรมชาติ พอลิเมอร์ที่ใช้เป็นพากซิลิโคนปั๊บจุบันนิยมใช้กันมากในการตกแต่งสะท้อนน้ำ ส่วนเมทิลไอก็อโรเจนและอนุพันธ์ไดเมทิลนำมาใช่วร่วมกัน ได้ผ้าสะท้อนน้ำดีและผิวสัมผัสสนุ่ม สำหรับพากสารพอลิซิลอกเซนจะปรับปรุงสมบัติต้านทานสิงสกปรก ช่วยทำให้ผ้าดูแลรักษาง่ายและคงทนต่อการยับ แต่อย่างไรก็ตามการตกแต่งสะท้อนน้ำนี้ยังมีข้อเสียคือ ไม่มีความคงทนของสีต่อแสงและการขัดถู เมื่อใช้ไปนานๆ แผ่นฟิล์มที่เคลือบจะแยกแตกทำให้สมบัติสะท้อนน้ำลดลง นอกจากนี้ยังมีสารประกอบพากฟลูออโรคาร์บอนที่ใช้เตรียมผ้าสะท้อนน้ำและน้ำมัน ทำให้พื้นผิวผ้ามีแรงตึงผิวต่ำลงส่งผลให้การสะท้อนน้ำดีขึ้น มีข้อเสียคือ ห้องห่าว่างและหลังกระบวนการตกแต่งมีสารประกอบฟลูออรีนปลดปล่อยออกมานเป็นอันตรายต่อร่างกาย ผิวนังและสีงวดล้อมดังนั้นในปัจจุบันจึงพยายามเลิกใช้สารประกอบที่มีฟลูออรีนมากแต่งสะท้อนน้ำ

2.3 ปรากฏการณ์น้ำกลิ้งบนใบบัว (lotus effect)

เมื่อน้ำหยดลงบนใบบัว [4, 14] หยดน้ำจะไม่แตกกระจายเปียกใบบัว แต่จะกลิ้งลงไปรวมกันตรงกลาง สาเหตุที่ทำให้ผ้าใบบัวไม่เปียกนี้ เกิดจากที่ผิวน้ำของใบบัวประกอบไปด้วยโครงสร้างคล้ายหนามจำนวนมาก และกระจายอยู่ทั่วไปอย่างเป็นระเบียบ โดยหนามแต่ละอันมีความเล็กขนาดนาโนเมตร สองผลให้พื้นผิวด้านหน้าของใบบัวมีลักษณะขุขรุขระและขันเล็กๆ เหล่านี้ยังถูกเคลือบด้วยสารซึ่งมีลักษณะคล้ายแกร็บซ์ มีสมบัติไม่ชอบน้ำแสดงดังรูปที่ 2.6 และ 2.7 เมื่อยหดดันน้ำตกลงมากจะหักกับใบบัวจนที่ขุขรุขระแตกหักที่อยู่ระหว่างช่องของขณะจะพยุงหยดน้ำไม่ไปสัมผัสถับผิวใบบัว หยดน้ำจะมีมุมสัมผัสมีค่าใกล้เคียง 180 องศา ทำให้หยดน้ำมีลักษณะกลม ไม่มีความเสียร rak และกลิ้งไปมาตลอดเวลา ส่งผลให้ใบบัวแสดงสมบัติไม่เปียกน้ำเลยซึ่งเรียกผิวแบบนี้ว่า superhydrophobic surface

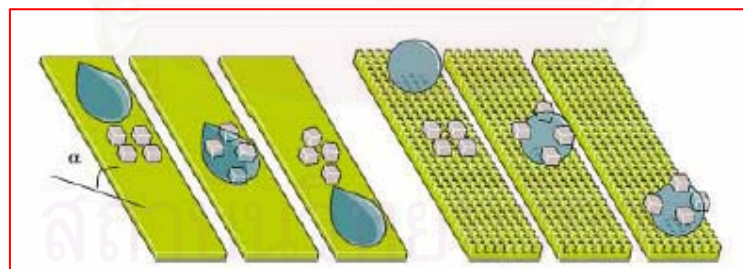


รูปที่ 2.6 ภาพถ่ายพื้นผิวใบบัว [14]



รูปที่ 2.7 ภาพถ่ายหยดน้ำบนพื้นผิวใบบัว [15]

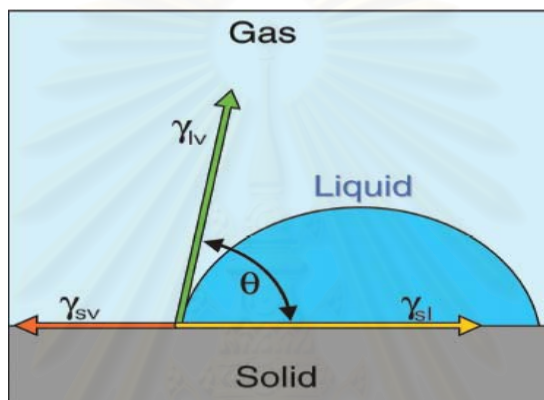
ดังนั้นเมื่อผู้ผลิตและสิ่งสักปรกต่าง ๆ ติดอยู่ที่ใบบัว จะมีแรงยึดเกาะน้อยเนื่องจากมีพื้นที่เพียงเล็กน้อยบนปลายหัวเห่านั้นที่สัมผัสกับผู้นุ่นและเมื่อหยดน้ำตกลงมาบนใบบัว แรงดึงดูดระหว่างผิวของหยดน้ำกับผู้นุ่นจะมากกว่าแรงดึงดูดระหว่างผู้นุ่นกับใบบัว ผู้นุ่นจึงติดไปกับผิวของหยดน้ำขณะที่หยดน้ำหลังลงมาจากใบบัว ทำให้ผิวของใบบัวสะอาดอยู่เสมอ เรียกสมบัติแบบนี้ว่า self cleaning surface [16] ดังแสดงในรูปที่ 2.8 จากการศึกษาปรากฏการณ์น้ำหลังบนใบบัว ทำให้นักวิทยาศาสตร์มีแนวความคิดในการสร้างเสื้อผ้ากันน้ำและคราบสกปรก โดยนำเสื้อผ้ามาเคลือบด้วยอนุภาคนาโนที่มีสมบัติไม่ชอบน้ำ ทำให้น้ำและของเหลวบางชนิดเมื่อสัมผัสกับผ้าก็จะถูกไล่เป็นหยดให้ลดลงมาไม่ซึมเข้าไปในเนื้อผ้า ทำให้เสื้อผ้าสะอาดอยู่ได้นานและคราบสกปรกจะไม่ฝังแน่น



รูปที่ 2.8 แบบจำลองพื้นผิวที่สามารถทำความสะอาดตัวเองได้ [14]

2.4 มุมสัมผัสของน้ำ (contact angle)

เป็นที่ทราบกันว่าพื้นผิวไบบัสจะห้อนน้ำ มีสมบัติไม่ชอบน้ำและพลังงานพื้นผิวต่ำ ในขณะที่น้ำเป็นของเหลวที่มีพลังงานพื้นผิวสูง จึงทำให้น้ำไม่สามารถแทรกลงไปที่พื้นผิวได้ พื้นผิวจึงไม่เกิดการเปลี่ยน การสะท้อนน้ำบนผิววัสดุทราบได้จากการวัดมุมสัมผัสของน้ำ [17] เป็นมุมสัมผัสที่เกิดจากจุดบนเส้นสัมผัสของเฟส 3 เฟส ที่มีอย่างน้อย 2 เฟสที่สัมผัสนกัน หากโดยลากเส้นสัมผัสทางของหยดของเหลวทับพื้นผิว ดังรูปที่ 2.9 หนึ่งในเฟสทั้ง 3 ต้องเป็นของเหลว อีกเฟสหนึ่งจะเป็นของแข็งหรือของเหลวและเฟสที่ 3 จะเป็นอากาศหรือของเหลว



รูปที่ 2.9 มุมสัมผัสของเหลว [18]

$$\gamma_{S,V} = \text{แรงตึงผิววัสดุ}$$

$$\gamma_{L,V} = \text{แรงตึงผิวของเหลว}$$

$$\gamma_{S,L} = \text{แรงตึงผิวที่อยู่ระหว่างของเหลวกับของแข็ง}$$

$$\theta = \text{มุมสัมผัสของเหลว}$$

ค่ามุมสัมผัสจะขึ้นกับพลังงานพื้นผิวและแรงตึงผิวของเหลว ถ้าพื้นผิวมีการเปลี่ยนที่สมบูรณ์กับของเหลว หยดของเหลวจะแบ่งออกไปทั่วพื้นผิว ทำให้มุมสัมผัสมีค่าเข้าใกล้ศูนย์ ขณะเดียวกันถ้าพื้นผิวสามารถเปลี่ยนโดยของเหลวได้ไม่ดีนัก มุมสัมผัสระหว่างหยดของเหลวกับพื้นผิว ก็จะมีค่าอยู่ระหว่าง 0-180 องศา โดยที่ค่ามุมสัมผัสของน้ำสูงแสดงว่าผิวสัมผัสมีสมบัติสะท้อนน้ำที่ดี แต่ถ้ามุมสัมผัสของน้ำต่ำแสดงว่าพื้นผิวถูกทำให้เปียกง่าย

สำหรับงานวิจัยนี้สารเคลือบผิวที่ใช้ในการตกแต่งสะท้อนน้ำของผ้าเป็นสารออร์แกโนซิเลนที่มีความยาวสายโซ่ไม่เกิน 10 Å โดยจะหันด้าน R (หมู่อัลกิล) มาเกาะกันที่ผิว ส่งผลให้พื้นผิวมีค่าพลังงานพื้นผิวต่ำ ในขณะที่น้ำมีค่าพลังงานพื้นผิวสูง ความแตกต่างของค่าพลังงาน

พื้นผิว (surface energy) ส่งผลให้น้ำไม่สามารถแทรกไปที่ผิว พื้นผิวจึงไม่เปียกจึงกล่าวได้ว่า พื้นผิวสะท้อนน้ำได้

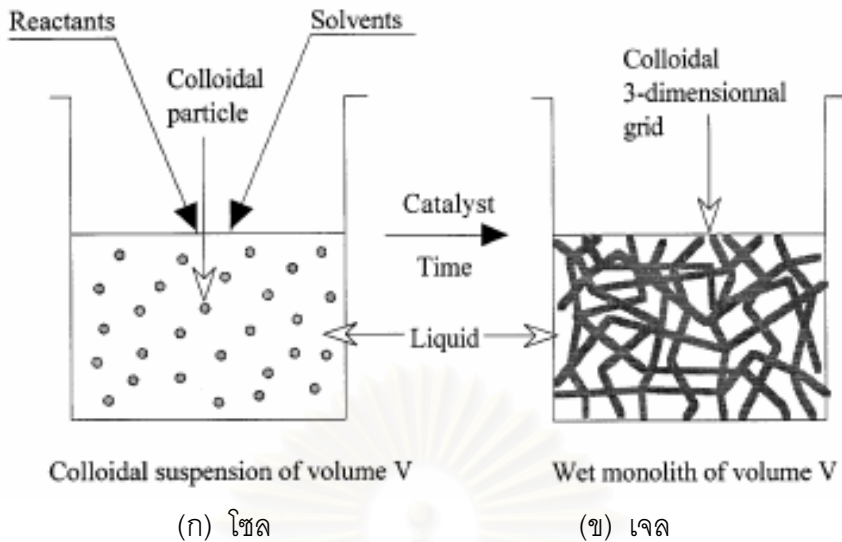
2.5 กระบวนการโซล-เจล (sol-gel process)

โซล-เจล เป็นกระบวนการที่ใช้ในการเตรียมวัสดุเซรามิกและแก้วจากการเกิดปฏิกิริยา พอลิเมอไฮเดอเรชันที่อุณหภูมิต่ำของโลหะอัลคอกไซด์ (metal alkoxide) โดยเริ่มจากปฏิกิริยาไฮโดรคลิซของโลหะอัลคอกไซด์ก่อนในน้ำ ตามด้วยปฏิกิริยาพอลิเมอไฮเดอเรชันแบบควบแน่นโดยอาศัยกรดเป็นตัวเร่งปฏิกิริยา โดยจะเกี่ยวข้องกับการเปลี่ยนแปลงโครงสร้างจากสถานะของเหลว กลายเป็นโซล หรือ อนุภาคน้ำ ที่ละลายอยู่ในตัวกลาง (sol-solution) ไปเป็นของแข็ง (gel-gelation) แสดงดังรูปที่ 2.10 วิธีนี้สามารถใช้ในการเคลือบผิววัสดุและการผลิตฟิล์มบาง [19]

โซล คือ อนุภาคน้ำที่มีรูปผลึกหรือรูปสันฐานก็ได้ ของเหลว อนุภาคน้ำอาจมีรูปผลึกหรือรูปสันฐานก็ได้

เจล คือ การเปลี่ยนแปลงรูปร่างเมื่อได้รับแรงดึงดูดระหว่างอนุภาคน้ำเข้าด้วยกันหรือกล่าวได้ว่าเกิดโครงสร้างแบบตาข่ายซึ่งประกอบไปด้วยอนุภาคน้ำแข็งต่อเนื่องและเฟสของเหลวของอนุภาคน้ำอยู่ การเกิดพันธะภายในโครงสร้างอาจผันกลับได้ถ้าหากระบบที่เป็นอนุภาคน้ำได้รับแรงสั่นสะเทือนหรือไม่สามารถผันกลับได้ถ้าหากระบบเปลี่ยนสภาพเป็นพอลิเมอร์ สภาพของการเกิดเจลเกิดขึ้นหลังจากโซลถูกเทลงบนแบบเพื่อให้ได้รูปร่างต่างๆ ตามแบบและการเกิดพันธะจะไม่หยุดที่ gel point แต่จะเกิดเรื่อยๆ จนกระทั่งเกิดการควบแน่นเพียงพอ ซึ่งขณะนั้นตัวทำละลายจะหายออกไปอย่างรวดเร็ว เกิดการหดตัวจะมีการสร้างพันธะขึ้นมาเพื่อยึดเหนี่ยวกันไว้ภายในโครงสร้าง

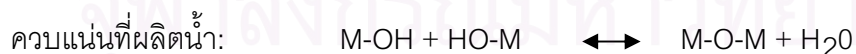
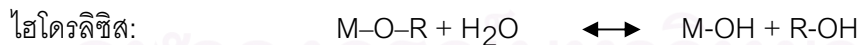
**สถาบันวิทยบริการ
จุฬาลงกรณ์มหาวิทยาลัย**



รูปที่ 2.10 กระบวนการเชล-เจล [19]

กระบวนการที่ผลิตโดยวิธีโซล-เจลเป็นกระบวนการผลิตที่มีประโยชน์หลายอย่างในการผลิตเซรามิกและแก้ว โดยเฉพาะอย่างยิ่งวัตถุที่ต้องการความบริสุทธิ์สูง โดยทั่วไปกระบวนการโซล-เจลเป็นกระบวนการเปลี่ยนสถานะจากของเหลวที่เรียกว่า “โซล” ซึ่งส่วนมากอยู่ในรูปของสารแขวนลอยที่มีขนาดอนุภาคประมาณ 0.1-1 ไมครอน เป็นของแข็งที่เรียกว่า “เจล”

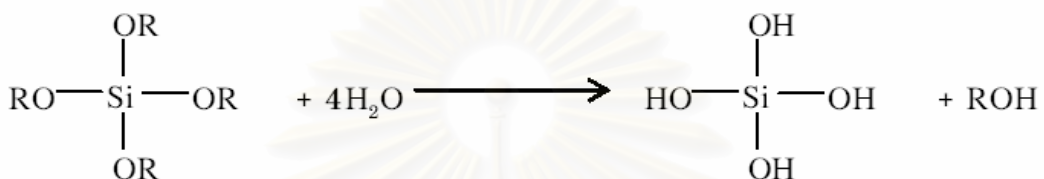
ปฏิกริยาที่สำคัญในกระบวนการโซล-เจล [20] มี 3 ปฏิกริยา คือ ไฮดรอลิซ ควบแน่นของน้ำและควบแน่นของแอลกอฮอล์ ดังสมการ มีปัจจัยสำคัญที่มีผลต่ออัตราการเกิดปฏิกริยา คือ ความเป็นกรด-ด่าง ตัวเร่งปฏิกริยา อุณหภูมิ อัตราส่วนของโมลต่อน้ำและอัลกอฮอล์ของโลหะ ดังนั้นการควบคุมปัจจัยเหล่านี้ ในภาวะที่ต่างกันจะทำโซลและเจลที่ได้มีสมบัติและโครงสร้างต่างกัน



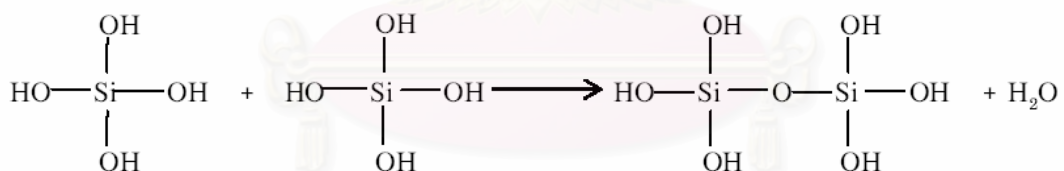
เมื่อ M แทนโลหะ ได้แก่ Si, Zr, Ti, Al, Sn, Ce และ OR แทนหมู่อัลคา洛依ด์

ขั้นตอนแรกของการทำโซล-เจล คือ การผสมสารตั้งต้น (precursor) กับน้ำ สารตั้งต้นที่นิยมใช้ในกระบวนการการทำโซล-เจล เป็นสารปูร์กอบโลหะและกําลิโอลิแกนด์ที่ໄວ

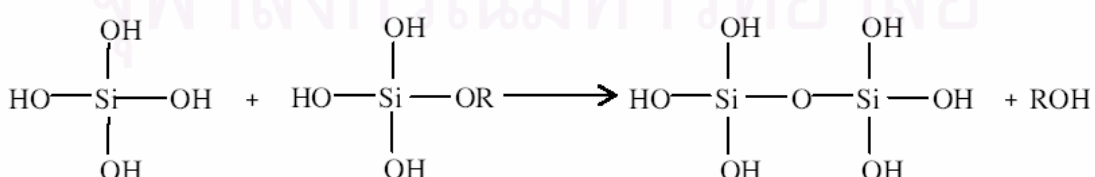
ต่อการเกิดปฏิกิริยา เช่น อัลคอกาไซด์ของโลหะ เป็นสารตั้งต้นที่ได้รับความนิยมสูง เนื่องจากทำปฏิกิริยากับน้ำได้ดี เช่น เดตรามे�ทอกซิซิเลน (TMOS) และ เดตรารอทอกซิซิเลน (TEOS) ส่วนอัลคอกาไซด์ของโลหะชนิดอื่น เช่น อะลูมิเนียม ไททาเนียม และบอรอน ก็มีใช้กันแพร่หลาย โดยกรณีใช้ TEOS เช่น $\text{Si}(\text{OR})_4$ ซึ่ง R คือ C_2H_5 จะเกิดปฏิกิริยาไฮโดROLิซิส ดังสมการ เกิดจากการแทนที่หมู่อัลคอกาไซด์ (-OR) ด้วยหมู่ไฮdroอกซิล (-OH)



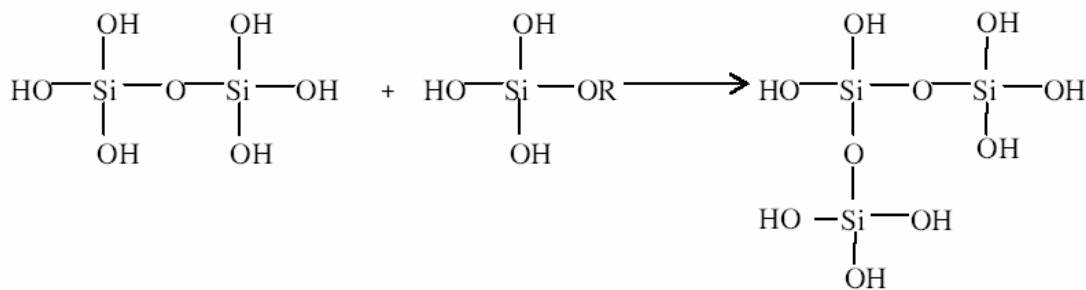
และตามด้วยเกิดปฏิกิริยาควบแน่นที่เกิดจากการรวมหมู่ชีลานอล (-Si-OH) เพื่อสร้างพันธะชีลอกเซน (-Si-O-Si-) เกิดผลิตภัณฑ์ข้างเคียงเป็นน้ำหรือแอลกอฮอล์ ดังสมการปฏิกิริยาควบแน่นผลิตน้ำ (water condensation reaction)



หรือปฏิกิริยาควบแน่นที่ผลิตแอลกอฮอล์ (alcohol condensation reaction)



สารประกอบที่เกิดขึ้นจะเกิดปฏิกิริยาควบแน่นต่อไปจนถัดไปเป็นโครงสร้างตามซิลิกาอยู่ในภาวะที่เรียกว่าเจล จึงเรียกปฏิกิริยาดังกล่าวว่า ปฏิกิริยา polycondensation แบบควบแน่น



ในกระบวนการการโซล-เจลผลิตภัณฑ์เบื้องต้นคือ โซลเมื่อปล่อยทิ้งไว้โซลจะค่อยๆ เกิดพันธะเชื่อมต่อ กันเป็นเจลซึ่งจะเป็นผลิตภัณฑ์สุดท้าย โซลสามารถเกิดขึ้นได้ 2 ลักษณะคือ พาร์ทิคิวเลตโซล (particulate sols) โดยทั่วไปเมื่อโซลมีขนาดมากกว่า 5 นาโนเมตร และพอลิเมอริกโซล (polymeric sols) ในกรณีที่โซลมีขนาดน้อยกว่า 1 นาโนเมตร ทำให้เจลที่เกิดขึ้นแบ่งออกเป็น 2 ลักษณะเข่นเดียวกันคือ พาร์ทิคิวเลตเจล (particulatr gels) และพอลิเมอริกเจล (polymeric gels) โดยที่พาร์ทิคิวเลตเจล หมายถึงมวลลักษณะยึดหยุ่นได้เกิดจากอนุภาคโซล เชื่อมกันด้วยแรงที่ผิว (surface force เช่น แรงวันเดอร์瓦ลส์) เกิดโครงสร้างเชื่อมกันขึ้น ส่วน พอลิเมอริกเจลหมายถึงมวลลักษณะยึดหยุ่นได้ซึ่งเกิดจากการเชื่อมโยงของโซลด้วยพันธะ โคเวเลนต์

2.5.1 ชนิดของเจล

โครงสร้างของเจลประกอบด้วยอนุภาคคอลลอยด์หรือไม่เลกุลของพอลิเมอร์ซึ่ง โครงสร้างของเจลสำหรับการผลิตหรือการนำไปใช้งานสามารถแบ่งชนิดของเจลได้เป็น 2 ประเภท [20] คือ พาร์ทิคิวเลตเจล (particulate gels) และพอลิเมอริกเจล (polymeric gels)

2.5.1.1 พาร์ทิคิวเลตเจล (particulate gels)

พาร์ทิคิวเลตเจลเป็นสารแขวนลอยในของเหลวเพื่อที่จะเกิดเป็นโซล ประกอบด้วย โครงสร้างตาข่ายของอนุภาคเอนไซดรัส (anhydrous) ซึ่งจะจับกันด้วยแรงตึงผิว โครงสร้างแบบนี้มีรูปrunที่มีขนาดใหญ่กว่าพอลิเมอริกเจล ผลซึ่งเกิดจากการที่รูปrunมีขนาดใหญ่ ทำให้แรงกดดันภายในช่องว่างที่เป็นรูปrunลดน้อยลงระหว่างการทำให้แห้งส่งผลให้เกิดการหดตัวน้อยลง ด้วย เพราะว่าการแพร่ผ่านของรูปrunของของเหลวในระบบอุกมาได้ง่ายและมากกว่า ซึ่งหดตัว ต่ำทำให้การแตกของเจลขณะการอบแห้งลดต่ำลงด้วยและขนาดของรูปrunมีความสัมพันธ์กับขนาดของอนุภาคด้วย คืออนุภาคที่มีขนาดใหญ่จะมีรูปrunขนาดใหญ่ด้วย โดยปกติการเตรียม

เจลชนิดนี้สามารถเตรียมได้โดยการทำให้ข่องเหลวในเจลระหว่างออกไซโพรีโอเบสลงไปเล็กน้อยเพื่อลดความเสถียรของอนุภาคแขวนลอย

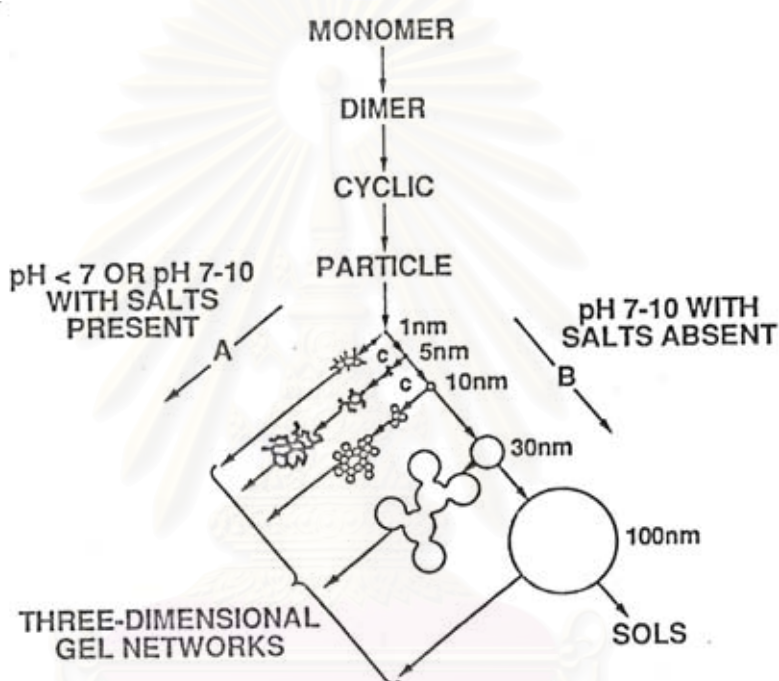
2.5.1.2 พอลิเมอริกเจล (polymeric gels)

พอลิเมอริกเจลเตรียมได้โดยการเกิดปฏิกิริยาพอลิเมอไรเซชันของสารประกอบโลหะอินทรีย์ คือ อัลคอกาไซด์ เพื่อที่จะเกิดเป็นเจลที่มีโครงสร้างตาข่ายแบบร่างแท้ 3 มิติ ปฏิกิริยาที่เกิดขึ้นได้แก่ไฮโดรคลิซิส ควบแน่นและพอลิเมอไรเซชัน โดยเจลจะเกิดการพันกันและเกิดการเชื่อมโยงของสายพอลิเมอร์หลังจากการเตรียมเจล เจลจะประกอบไปด้วยส่วนที่เป็นอสังฐานที่ไม่แข็งแรงซึ่งในส่วนนี้จะมีโครงสร้างที่เป็นตาข่ายโดยภายในประกอบไปด้วยรูพุนขนาดเล็กอยู่เป็นจำนวนมากมากซึ่งมีข่องเหลวบรรจุอยู่ภายในด้วย

การเกิดเจลสามารถสังเกตได้ชัด เพราะความหนืดของสารละลายเพิ่มขึ้นอย่างรวดเร็ว และเมื่อข่องเหลวในเจลระหว่างออก เจลสามารถเกิดการหดตัวได้ เพราะว่าการที่มีรูพุนขนาดเล็กมาก จะเกิดแรงกดดันซึ่งของรูพุนสูงซึ่งอาจทำให้โครงสร้างของเจลถูกทำลายได้ แต่เนื่องจาก การที่เจลเกิดการเชื่อมโยงเพิ่มขึ้นเรื่อยๆ ทำให้โครงสร้างของเจลที่สร้างไม่ถูกทำลาย

การเกิดเจลทั้ง 2 ลักษณะสามารถอธิบายได้ดังต่อไปนี้ ในกรณีพาร์ทิคูลาเตเจล สามารถอธิบายได้โดยอาศัยรูปที่ 2.11 ซึ่งพบว่าในระบบที่มีน้ำปริมาณมากเกินพอและไม่ใช่แอลกอฮอล์เป็นตัวทำละลายร่วม ลักษณะของเจลที่เกิดขึ้นจะขึ้นอยู่กับค่าความเป็นกรด-ด่างของสารละลายน้ำกัลลาร์คือ ที่ค่าความเป็นกรด-ด่างต่ำกว่า 7 อนุภาคที่เกิดขึ้นมีขนาดเล็กมาเกากัน ด้วยแรงวนเดอร์วัลส์ ลักษณะเช่นนี้สามารถเกิดขึ้นในระบบที่ค่าความเป็นกรด-ด่างสูงขึ้น (ค่าความเป็นกรด-ด่างอยู่ในช่วง 7 ถึง 10) ได้เมื่อมีเกลืออยู่ในระบบจะทำหน้าที่ลดแรงผลักดันระหว่างอนุภาค ทำให้อนุภาคมาเกาะตัวกันเป็นโครงสร้างเจลได้ง่ายขึ้น ส่วนในระบบที่ค่าความเป็นกรด-ด่างอยู่ในช่วง 7 ถึง 10 และไม่มีเกลือ อนุภาคจะโตขึ้นมากเป็นไซล์ที่เสถียรซึ่งจะไม่สามารถเกาะตัวกันเป็นเจลได้ สำหรับการเกิดเจลในกรณีพาร์ทิคูลาเตเจล ปฏิกิริยาควบแน่นเกิดในทิศทางที่จะได้พันธะชิลอกาเซนมากที่สุดและเหลือหมู่ไฮดรอกซิล (-OH) น้อยที่สุดอยู่ที่ปลายของโมเลกุล ดังนั้นผลิตภัณฑ์จากปฏิกิริยาควบแน่นจึงเกิดขึ้นอย่างเป็นลำดับ โดยเริ่มจากมอนโอมอร์ ไดเมอร์ ไตรเมอร์ที่เป็นสีน้ำเงิน ไตรเมอร์ที่เป็นวง เตตระเมอร์ที่เป็นวง จนกระทั่งของพอลิเมอร์ที่ใหญ่ขึ้น จนเกิดเป็นอนุภาคที่มีขนาดใหญ่ขึ้นนั่นเอง จะเห็นได้ว่าการเกิดอนุภาคในลักษณะนี้จะต้องอาศัยปัจจัย 2 ประการคือ การแตกตัวของวงพอลิเมอร์ (depolymerisation) ซึ่งเกิดจากปฏิกิริยาขันกลับของปฏิกิริยาควบแน่นและการเติมมอนโอมอร์เข้าสู่วงพอลิเมอร์เดิมพบว่าการเพิ่มน้ำหนาของอนุภาคจะหยุดเมื่อความแตกต่างระหว่าง

ความสามารถในการละลายของอนุภาค (การสลายของพันธะซิลอกเซน) ที่เล็กที่สุดและอนุภาคที่ใหญ่ที่สุดเพียง 2 ถึง 3 ส่วนในล้านส่วน (2-3 ppm) เท่านั้น จากนั้นแต่ละอนุภาคซึ่งมีลักษณะเป็นคอลloidอยู่ในของเหลวเกิดแรงดึงดูดซึ่งกันและกันต่ำอย่างแรงแวงเดอร์วัลส์เกาะกันเป็นโซ่อุปทานของอนุภาคจนกระทั่งเป็นโครงร่างตาข่ายซึ่งแผ่ขยายในตัวกลางที่เป็นของเหลวมีความหนาเพิ่มขึ้นจนมีลักษณะเป็นเจล การเพิ่มขนาดของอนุภาคและการเกาะกลุ่มของอนุภาคสามารถจะเกิดขึ้นพร้อมๆ กันได้ขึ้นอยู่กับภาวะที่ใช้ในการทดลอง



รูปที่ 2.11 แสดงพฤติกรรมการเกิดพอลิเมอร์ของอนุภาคซิลิกาในสารละลายน้ำ

- (A) ในสารละลายน้ำหรือมีการเติมเกลือ อนุภาครวมกลุ่มกันเป็นโครงข่าย 3 มิติ และเกิดเป็นเจล (B) ในสารละลายน้ำส่วนอนุภาคขนาดใหญ่เกิดขึ้นและจำนวนอนุภาคลดลง [20]

ส่วนในกรณีของพอลิเมอริกเจล จากระบวนการโซล-เจลที่สภาพความเป็นกรด-ด่างต่ำ (ค่าความเป็นกรด-เบส ต่ำกว่า 7) โดยเฉพาะในระบบสารละลายน้ำและออกซิลิกน้ำ อัตราการเกิดปฏิกิริยาขึ้นกลับของปฏิกิริยาควบแน่นจะต่ำกว่าระบบของสารละลายน้ำภายใต้ภาวะเหล่านี้ เช่นกัน แต่หากของพอลิเมอร์เกิดน้ำอย่างสูง ปฏิกิริยาควบแน่นจะเป็นปฏิกิริยาผันกลับไม่ได้ และพันธะซิลอกเซนไม่สามารถถูกไฮโดรไลซ์ กระบวนการควบแน่นจะคล้ายคลึงกับการ

เกิดปฏิกิริยาควบแน่นของมอนโอมอร์ของสารอินทรีย์เป็นสายโซ่ ทำให้เจลเกิดขึ้นในลักษณะโครงข่ายไม่เลกุล พอลิเมอร์สามมิติ

2.5.2 เทคนิคการเกิดโซล-เจล

เทคนิคการเกิดโซล-เจล สามารถแบ่งได้ 4 ขั้นตอนคือ

2.5.2.1 สารละลาย (solution) สำหรับงานวิจัยนี้สารตั้งต้นคือ เอ็กซ์เดคซิลไตรเมทอกซิซิเลน ละลายในตัวทำละลาย

2.5.2.2 การเกิดเจล (gelation) เมื่อผสมสารตั้งต้นเข้าด้วยกันแล้วปฏิกิริยาที่เกิดในช่วงนี้จะเป็นปฏิกิริยาไฮโดรคลิซิสและควบแน่นซึ่งมีความหนืดของระบบสูงขึ้น

นิยามการเกิดเจลคือ การที่สารละลายยังมีความสามารถในการไหลได้และเมื่อเวลาผ่านไปสารละลายนั้นได้กล้ายเป็นของแข็งซึ่งไม่สามารถไหลได้

2.5.2.3. การบ่ม (aging) เมื่อเกิดปฏิกิริยาพอลิเมอร์ไว้ชั้นก็จะนำไปสู่การเกิดเจลซึ่งสามารถหยุดปฏิกิริยานี้ได้ถ้าเจลถูกบ่มในสารละลาย สายโซ่พอลิเมอร์จะเกิดการแพร์ฟันและจับโครงสร้างตាថ្មາຍหลักและเมื่อสายโซ่พอลิเมอร์มาเชื่อมด้วยกันทำให้โครงสร้างที่ได้มีความแข็งแรงขึ้น

2.5.2.4. การอบแห้ง (drying) เพื่อลดเวลาในการเคลือบพิล์ม ทำให้พิล์มแห้งเร็วขึ้นเป็นการระเหยตัวทำละลายออกไปและยังช่วยให้พิล์มเกาะผิวดีไม่หลุดเมื่อทำการเคลือบชั้นต่อไป

การนำเทคโนโลยีโซล-เจล (sol-gel technology) มาใช้ประโยชน์สามารถทำได้หลายรูปแบบ เช่น ผลลัพธ์พิล์มบาง เส้นใยและวัตถุก้อน ซึ่งเป็นสารตั้งต้นสำหรับผลิตผลิตภัณฑ์ต่างๆ ต่อไป เช่น แก้ว สารเคลือบป้องกันการลึกกร่อน การสะท้อนแสงและการเก็บติดผิวของน้ำ เป็นต้น เทคโนโลยีโซล-เจลจะเป็นประโยชน์อย่างยิ่งในการผลิตสารหรือวัสดุมีสมบัติเฉพาะตัวหรือต้องการความบริสุทธิ์สูงหรือแม้แต่การผลิตสารหรือวัสดุทดแทนการใช้แร่หรือหินพยากรณ์รวมชาติหลากหลายและมีอยู่อย่างจำกัดเป็นวัตถุดิบ ผลิตภัณฑ์ที่ได้จากการกระบวนการโซล-เจลจะมีความบริสุทธิ์สูงเนื่องจากเป็นการเตรียมสารหรือวัสดุในระดับไม่เลกุลทำให้สามารถกำหนดคุณสมบัติต่างๆ ที่ต้องการได้ยั่งยืนเป็นประโยชน์ต่ออุตสาหกรรมหลายประเภท เช่น อุตสาหกรรมเคมี เทคโนโลยีพลังงาน อุตสาหกรรมรถยนต์และอุตสาหกรรมเชิงมิวสิก เป็นต้น การนำเทคโนโลยีโซล-เจลมาใช้ประโยชน์ในเชิงอุตสาหกรรม ยังต้องศึกษาในรายละเอียดเกี่ยวกับ

ภาวะที่เหมาะสมในการเตรียมและลักษณะหรือสมบัติของสารหรือวัสดุที่ต้องการ ซึ่งมีความแตกต่างกันในแต่ละผลิตภัณฑ์ อย่างไรก็ตามแนวโน้มการนำเทคโนโลยีดังกล่าวมาใช้ประโยชน์ในเชิงพาณิชย์มีความเป็นไปได้สูง เนื่องจากกระบวนการโซล-เจลเป็นเทคโนโลยีการผลิตที่ทำได้ที่อุณหภูมิห้อง สามารถทำได้ตั้งแต่ระดับห้องปฏิบัติการจนถึงระดับอุตสาหกรรม ซึ่งสามารถสนองตอบความต้องการของผู้บริโภคได้จริง

สำหรับการใช้วิธีการโซล-เจล ปรับปูงพื้นผิววัสดุเชรามิกและแก้วให้มีสมบัติไม่ชอบน้ำ โดยเตรียมจากสารօร์แกโนซิเลนเคลือบผิววัสดุ ที่นิยมใช้เป็นสารเคมีพากอัลคลิลไตรอัลคลอซิ ซิเลนโดยเฉพาะที่มีสายโซ่ไม่เลกุลไอกิโตราร์บอนยิ่งยาวจะช่วยเพิ่มมุมสัมผัสของน้ำ ทำให้ได้พื้นผิวมีสมบัติไม่ชอบน้ำสูง สามารถเตรียมได้ที่อุณหภูมิห้องและเป็นมิตรแก่สิ่งแวดล้อม

2.6 พูมซิลิกาและօร์แกโนซิเลน

2.6.1 พูมซิลิกา (fumed silica)

พูมซิลิกาเป็นซิลิกอนไดออกไซด์สังเคราะห์ไดจากการเผาซิลิกอนเตตะคลอไวร์ด (SiCl_4) ที่อุณหภูมิสูงพร้อมทั้งเบ้าอากาศและไฮดรเจนเข้าด้วยกัน ซึ่งมีอนุภาคละเอียดมาก เป็นปุ๋ยเบาและนิ่ม ลักษณะอนุภาคผงสีขาว ทรงกลม มีโครงสร้างเป็นอสังฐาน พื้นที่ผิวสูง สมบัติที่นำไปแสดงดังตารางที่ 2.3 [21]

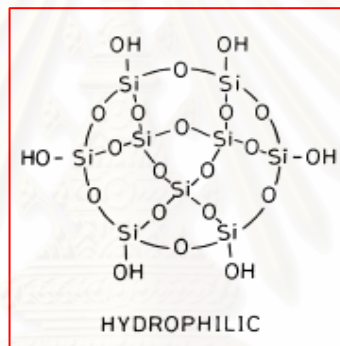
ตารางที่ 2.3 สมบัติของพูมซิลิกา

สี	ขนาด
โครงสร้าง	วิเคราะห์ด้วยรังสีเอกซ์เป็นอสังฐาน
พื้นที่ผิว	50-380 ตารางเมตรต่อกรัม
ความหนาแน่นของหมู่ซิลานอล	2-4 ซิลานอลต่ำตระหง่านในเมตร
ดัชนีหักเห	1.45
ขนาดอนุภาค	7-40 นาโนเมตร

ขนาดเส้นผ่าศูนย์กลางอนุภาคโดยเฉลี่ย 7-40 นาโนเมตร ขนาดที่แตกต่างกันนี้ตามภาวะการเกิดปฏิกิริยาสังเคราะห์พูมซิลิกา มีพื้นที่ผิวอยู่ระหว่าง 50-380 ตารางเมตรต่อกรัม อนุภาคพูมซิลิกาที่มีพื้นผิวต่ำกว่า 300 ตารางเมตรต่อกรัม เป็นโครงสร้างที่ไม่มีรูพรุนแต่ถ้าอนุภาคมีพื้นผิวมากกว่า 300 ตารางเมตรต่อกรัม จะมีโครงสร้างรูพรุนขนาดเล็กมาก การที่มี

อนุภาคจะเอ่ยดมากทำให้มันสามารถเพิ่มความหนืดให้แก่ของเหลวได้ทุกประเภท การนำซิลิกาชนิดนี้มาใช้ประโยชน์คือ การนำมาใช้เป็นสารข้น (thickening agent) ให้กับพลาสติกที่การขึ้นรูปหรือการใช้งานที่จำเป็นต้องให้ความหนืดระบบสูง

อนุภาคซิลิกาลักษณะพื้นผิวมีหมู่ซิลานอล (-SiOH) และภายในมีพันธะซิลอกเซน (Si-O-Si) แสดงดังรูปที่ 2.11 หมู่ซิลานอลทำให้พื้นผิวมีสมบัติชอบน้ำ อนุภาคสามารถยึดเกาะกันเองด้วยพันธะไฮโดรเจน เมื่อยูนิในระบบที่มีของเหลวทำให้เพิ่มความหนืด เป็นปรากฏการณ์ การเกิดเจลในของเหลวหรือวัสดุกึ่งของเหลวที่สามารถเปลี่ยนกลับไปกลับมา กล่าวคือ เมื่อปล่อยของเหลวที่ง่ายจะลายเป็นเจลที่ยึดกันด้วยพันธะทุติยภูมิและเจลที่เกิดขึ้นนี้สามารถทำลายได้โดยการกร润 เขย่าหรือความร้อนเล็กน้อย เห็นได้ว่าบริเวณที่ทำปฏิกิริยาคือ หมู่ซิลานอล นอกจากนี้ในการปรับปรุงพื้นผิวซิลิกานิยมพากสารชิลีนเป็นสารประสานจะมีประสิทธิภาพสูง

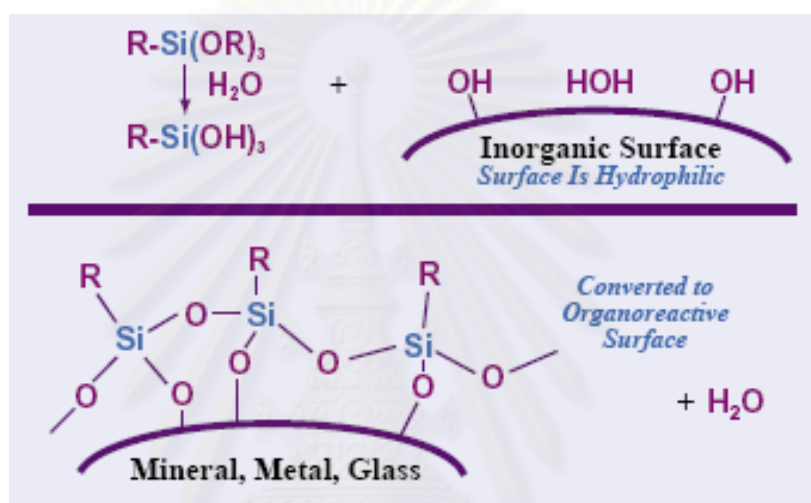


รูปที่ 2.12 โครงสร้างของซิลิกา [22]

2.6.2 ออร์แกโนซิเลน (organosilane)

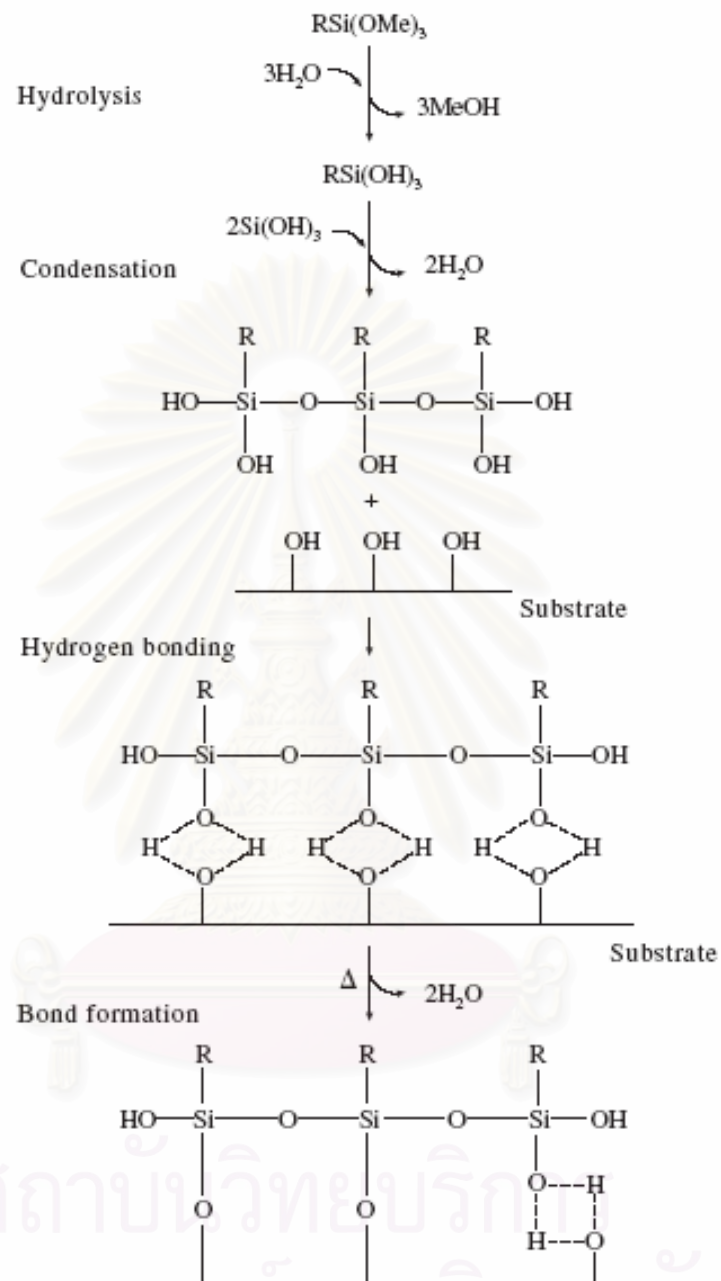
ออร์แกโนซิเลนเป็นสารประสานที่นิยมใช้กันมากกับผลิตภัณฑ์วัสดุเซรามิกและแก้วใน การปรับปรุงพื้นผิวให้มีสมบัติไม่ชอบน้ำ สรุตรทั่วไปคือ [23] R-(CH₂)_n-Si-X₃ โดยหมู่ X เป็นสารอินทรีย์ที่เชื่อมกับอะตอมซิลิกอน เช่น อัลโคกซี ไฮโลเจนหรือเอมีน สารออร์แกโนซิเลน ส่วนใหญ่ที่นิยมใช้หมู่ X เป็นพากหมู่อัลโคกซีพากเมทอกซี (-OCH₃) และเอทอกซี (-OC₂H₅) จะเข้าทำปฏิกิริยาไฮดรอลิซและปฏิกิริยาควบแน่นเกิดพันธะซิลอกเซนกับวัสดุเซรามิกและแก้ว โดยวัสดุพากออกไซเด็ร์ของโลหะ เช่น ซิลิกอน อะลูมิเนียม เชอร์โคเนียม ดีบุก ไททาเนียมและนิกเกิล จะเกิดปฏิกิริยาควบแน่นที่เสถียร สำหรับออกไซเด็ร์ของบอรอน ทองแดง และคาร์บอน จะเกิดพันธะที่เสถียรต่อ ส่วนออกไซเด็ร์ของโลหะแอลคาไลและคาร์บอเนตจะไม่เกิดพันธะซิลอกเซนที่เสถียร

ในขณะที่หมู่ R เป็นหมู่ที่ไม่ถูกไฮโดรเจนจะทำปฏิกิริยา กับพอลิเมอร์ ซึ่งในการใช้ ออร์แกโนซิเลนมาปรับปรุงพื้นผิวสัดสูตรเป็นหมู่ที่ทำให้พื้นผิวไม่ชอบน้ำ โดยหันหมู่อัลกิลออกด้านนอก ดังแสดงรูปที่ 2.12 สารออร์แกโนซิเลนตัวอย่าง [24] เช่น เมทิลไตรเอทอกซิซิเลน (methyltriethoxysilane, C1) ไอโซ-บิวทิลไตรเอทอกซิซิเลน (iso-butytriethoxysilane, C4) ฟีนิลไตรเอทอกซิซิเลน (phenyltriethoxysilane, C6) ออกทิลไตรเอทอกซิซิเลน (octyltriethoxysilane, C8) และเอกซะเดคซิลไตรเมทอฟอกซิซิเลน (hexadecyltrimethoxysilane, C16) พบว่าสมบัติการไม่ชอบน้ำเพิ่มขึ้น เมื่อความยาวสายใช้หมู่อัลกิลสูงขึ้น



รูปที่ 2.13 การดัดแปลงพื้นผิวสัดสูตรเซรามิกและแก้ว [25]

ปฏิกิริยาของออร์แกโนซิเลน [25] ดังแสดงรูปที่ 2.13 เริ่มจากไฮโดรโลซิสของหมู่ อัลกอฟอกซิถูกไฮโดรเจนเป็นหมู่ชิลานอล (Si-OH) ต่อจากนั้นหมู่ชิลานอลเข้าทำปฏิกิริยาควบแน่น กันเองและเกิดปฏิกิริยาพอลิเมอไวเชชันแล้วหลังจากนั้นทำการระเหยตัวทำละลายออกไป จะเกิด เป็นพันธะโคเรเลนต์คือ พันธะซิลอกเซน (Si-O-Si) ระหว่างประสานกับซิลิกา ในขณะเดียวกัน หมู่อัลกิลจะหันออกสู่ภายนอกแสดงสมบัติไม่ชอบน้ำ



รูปที่ 2.14 การเกิดปฏิกิริยาของօร์แกโนซิเลน [26]

2.7 งานวิจัยที่เกี่ยวข้อง

Cerne และผู้ร่วมงาน [27] ได้ศึกษาการใช้สารพากฟลูออรีนในการนำ Matakgadet สำเร็จสะท้อนน้ำบนผ้าฝ้าย พบร่วมกันให้พังงานพื้นผิวน้ำเส้นยาวต่ำลง เมื่อนำมาตรวจสอบด้วยเทคนิค goniometric-sessile drop ชี้งทราบได้ว่าค่ามุมสัมผัสของน้ำเพิ่มขึ้นเป็น 136.6 องศา ผลให้ผ้ามีสมบัติการเปียกน้ำลดลง สำหรับวัสดุสิ่งทอที่มีการเคลือบสารสะท้อนน้ำพากฟลูออรีนจะมีการเปลี่ยนแปลงสมบัติพื้นผิวของผ้าเซลลูโลสที่ขอบน้ำเป็นผ้าที่มีพังงานพื้นผิวต่ำชี้งไม่ขอบน้ำ นอกจากนี้ความคงทนต่อการซักสามารถทำให้สูงขึ้นได้โดยผ่านการปรับปรุงด้วยความร้อนเนื่องจากไม่เลกุลของสารเคลือบบนผ้ามีการจัดเรียงตัวเป็นระเบียบชัดเจน

Daoud และผู้ร่วมงาน [28] ศึกษาวิธีการเตรียมฟิล์มเคลือบชิลิกาบันผ้าฝ้ายที่อุดหนภูมิต่ำ ฟิล์มที่ได้ลักษณะป่องใสและกันน้ำคงทนถาวร การเคลือบโดยใช้ผลิตภัณฑ์ที่ได้มาจากการบวนการโซล-เจล โดยเกิดปฏิกิริยาไฮดรอลิซิสและการควบแน่นระหว่างเอกซะเดคซิลไดรามาโนซิซิเลน เตตระเอทอกซีอิโกร์โซลิเกตและ 3-ไกลซิดออกซีโพพิลไดรามาโนกซิซิเลนมาทำปฏิกิริยาร่วมกันได้สารเคลือบนาโนคอมโพสิตที่ไม่ขอบน้ำ ทราบได้จากการทดสอบมุมสัมผัส พบว่าผ้าที่ผ่านการเคลือบมีมุมสัมผัสของน้ำเท่ากับ 141 องศา ในทางตรงกันข้ามก่อนเคลือบมุมสัมผัสเท่ากับ 0 เพราะปกติธรรมชาติของผ้าฝ้ายขอบน้ำมาก สารเคลือบนาโนคอมโพสิต สามารถนำมาใช้กับวัสดุ โดยเฉพาะอย่างยิ่งกับพลาที่มีความต้านทานความร้อนต่ำ เช่น วัสดุสิ่งทอและพลาสติก ทั้งนี้ยังเป็นมิตรกับสิ่งแวดล้อมสามารถใช้เป็นสารสะท้อนน้ำแทนสารประกอบฟลูออรีน

Han และผู้ร่วมงาน [29] ได้เตรียมพื้นผิวไม่ขอบน้ำสูงโดยอาศัยอนุภาคนาโนที่เตรียมในรูปอิมัลชัน ด้วยการเคลือบอนุภาคนาโนด้วยบิวทิลอะคริเลต-ไดเมทิลซิลอกเซนโคพอลิเมอร์ ชี้งสามารถควบคุมสัณฐานวิทยาของอนุภาคนาโนด้วยการระเหยของตัวทำละลายในพอลิเมอร์ทำให้เกิดพื้นผิวที่ขุ่น化 เป็นการทำหนดด้วยสารอินทรีย์จากการใช้ร่วมกันระหว่างสารอนินทรีย์ที่เคลือบด้วยสารอินทรีย์ทำให้พื้นผิวไม่ขอบน้ำมากขึ้น เมื่อยดันน้ำตกลงบนพื้นผิวสามารถลิ้งได้ลักษณะเหมือนใบบัวโดยมุมสัมผัสของน้ำเพิ่มขึ้น

Hikita และผู้ร่วมงาน [30] ศึกษาหารือการเตรียมพื้นผิวที่สะท้อนของเหลว สามารถทำได้ง่ายด้วยกระบวนการโซล-เจล โดยเกิดปฏิกิริยาไฮดรอลิซิสและการควบแน่นของสารประกอบอัลโคอกซิซิเลน เพื่อเตรียมเป็นฟิล์มหุ้มอนุภาคนาโนที่มีพังงานพื้นผิวต่ำและผิวขุ่น化 ชี้งใช้สารเตตระเอทอกซีอิโกร์โซลิเกตกับสารฟลูออลโคอกซิซิเลนในสัดส่วนที่เหมาะสมได้พื้นผิวที่มีสมบัติสะท้อนน้ำและน้ำมัน ทั้งนี้ฟิล์มที่ได้ป่องใสและความคงทนดี

Mahlting และผู้ร่วมงาน [24] ได้เตรียมวัสดุสิ่งทอสะท้อนน้ำโดยการเคลือบด้วยซิลิกาโซลที่ผ่านการตัดแปร โดยเตรียมอนุภาคซิลิกาบริสุทธิ์จากเตトラเอทอกซิโอลิเกตมาใช้ร่วมกับ 3-ไกลซิดออกซิโพรพิลไตรเอทอกซิซีเลน โดยอาศัยปฏิกิริยาโซล-เจลเพื่อให้เป็นซิลิกาที่มีหมู่ร่องไว้เป็นหมู่ไกลซิดหลังจากนั้นผสมกับสารอนุพันธ์ซีเลนต่างๆ กัน 3 ชนิด คือ อัลคิลไตรอัลโคกซิซีเลน อนุพันธ์ของพอลิซิลอกเซนและสารประกอบซีเลนที่มีฟลูออรีน หลังจากได้ซิลิกาโซลแล้วนำไปเคลือบบนผ้าในลอนและผ้าพอลิเอสเทอร์ผสมผ้าเยื่อเพื่อปรับปรุงให้มีสมบัติไม่ชอบน้ำ ทราบได้จากการวัดมุมสัมผัสพื้นผิวว่าการไม่ชอบน้ำเพิ่มขึ้นเมื่อความเข้มข้นของอัลโคกซิซีเลนที่เติมลงในการเตรียมซิลิกาโซลและความยาวของสายโซ่อัลคิลสูงขึ้น การเคลือบวัสดุสิ่งทอให้มีความไม่ชอบน้ำสูงได้โดยใช้พอลิซิลอกเซนหรือสารประกอบซีเลนที่มีฟลูออรีน เมื่อนำมาเปรียบเทียบความคงทนต่อการซักล้างพบว่าซิลิกาโซลที่มีสารประกอบพลาฟลูออรีนและเติมเอกซ์เดคซิลซีเลนเท่านั้นที่มีความคงทนสูง ซึ่งเห็นได้ว่าสารอัลคิลไตรอัลโคกซิซีเลนที่มีสายโซ่ไม่เลกุลไฮดรคาร์บอนยาวๆ สามารถใช้แทนสารประกอบฟลูออรีนสำหรับการปรับปรุงพื้นผิววัสดุสิ่งทอ

Tshabalala และผู้ร่วมงาน [31] ศึกษาสมบัติการดูดซึมความชื้นและลักษณะพื้นผิวโซล-เจล ซึ่งเกิดจากพอลิซิลอกเซนที่ไม่ชอบน้ำเคลือบอยู่บนเนื้อไม้ โดยการใช้การทดสอบกันระหว่างเมทิลไตรเอทอกซิซีเลนที่มีน้ำหนักไม่เท่ากับเอกซ์เดคซิลไตรเมทิลซีเลนที่มีน้ำหนักไม่เท่ากับเอกซิลสูง ได้มีการพิจารณาการเปลี่ยนแปลงพื้นผิวทางเคมีและสัณฐานวิทยาของชิ้นไม้ตัวอย่างนั้นสามารถวิเคราะห์โดยใช้เทคนิค ATR-FTIR, energy-dispersive X-ray analysis, X-ray photoelectron spectroscopy, SEM และ AFM อธิบายถึงกระบวนการโซล-เจล ทำให้ทราบว่าพอลิซิลอกเซนมีการเชื่อมพันธะทางเคมีกับเนื้อไม้ซึ่งเกิดการควบแน่นบนพื้นผิวที่มีหมู่ไฮดรอฟิล บริเวณพื้นผิวที่มีหมู่ไฮดรอฟิลประกอบด้วยพันธะที่ปราศภูมิโครงสร้างเซลลูโลสของไม้แล้วยังพบว่าการที่โซล-เจลเกิดปฏิกิริยานั้นเนื้อไม้ได้ตัวอ่อนเนื่องจากมีการระเหยออกไประหว่างน้ำจึงต้องทำภายใต้สูญญากาศ การใช้เมทิลไตรเอทอกซิซีเลนที่มีน้ำหนักไม่เท่ากันจะแทรกซึมอยู่บนพื้นผิวชั้นนอกของเนื้อไม้และเกิดปฏิกิริยาควบแน่นระหว่างหมู่ไฮดรอฟิล ส่วนเอกซ์เดคซิลไตรเมทิลซีเลนที่มีน้ำหนักไม่เท่ากับเอกซิลสูงการที่จะแทรกซึมเข้าไปในชั้นผิวนอกนั้นไม่ง่ายในการใช้งาน จึงนำมาเชื่อมกับเมทิลไตรเอทอกซิซีเลน โดยเอกซ์เดคซิลไตรเมทิลซีเลนที่ใช้มีสายโซ่ไม่เลกุลไฮดรคาร์บอนยาวซึ่งจะอยู่ในรูปของพอลิซิลอกเซนที่ไม่ชอบน้ำ

บทที่ 3

วิธีดำเนินการวิจัย

3.1 วัสดุและสารเคมีที่ใช้ในการทดลอง

3.1.1 ผ้าฝ้าย เป็นผ้าทอลายขัด น้ำหนัก 151.5 กรัมต่อตารางเมตร ที่ผ่านการลอกเปeling การกำจัดสิ่งสกปรกและการฟอกขาวเรียบร้อยแล้ว

3.1.2 ผ้าไหม เป็นผ้าทอลายขัด น้ำหนัก 51.6 กรัมต่อตารางเมตร ที่ผ่านการลอกกาขาวแล้ว ได้รับความอนุเคราะห์จากบริษัท ชินวัตรไหมไทย จำกัด

3.1.3 ฟูเมซิลิกา (fumed silica) ชื่อทางการค้าคือ AEROSIL 200 มีพื้นที่ผิว 200 ตารางเมตรต่อกรัม ขนาดอนุภาค 14 นาโนเมตร เกรดอุตสาหกรรมสั่งซื้อจากบริษัท JJ Degussa (Thailand) จำกัด

3.1.4 เอเกซเดคซิลไตรเมทอกซิซิเลน ($C_{16}H_{33}Si(OCH_3)_3$, hexadecyltrimethoxysilane) เกรดสำหรับการทดลอง จาก Fluka ประเทศเยอรมันนี

3.1.5 กรดไฮโดรคลอริก จาก J.T Baker ประเทศสหรัฐอเมริกา

3.1.6 กรดอะซิติก จาก Merck ประเทศเยอรมันนี

3.1.7 สารลดแรงตึงผิวนิดไม่มีประจุ ($C_{34}H_{62}O_{11}$, Triton X-100) จาก Merck ประเทศเยอรมันนี

3.2 เครื่องแก้วที่ใช้ในการทดลอง

3.2.1 ขวดวัดปริมาตร

3.2.2 บีกเกอร์

3.2.3 ปีเปต

3.2.4 กระบอกตวง

3.2.5 แท่งแก้วคน

3.2.6 จานเพาเช็ค

3.2.7 หลอดหยด

3.3 อุปกรณ์และเครื่องมือที่ใช้ในการทดลอง

- 3.3.1 ระบบอุกัย้อมสแตนเลส
- 3.3.2 เครื่องอัลตราโซนิก
- 3.3.3 เครื่องจุ่มอัด (padder mangle)

3.4 เครื่องมือที่ใช้ในการทดสอบ

- 3.4.1 เครื่องวัดสี (spectrophotometer) รุ่น Macbeth Color-Eye 7000
- 3.4.2 เครื่องวัดมุมสัมผัสของน้ำ (contact angle meter) รุ่น CAM-PLUS Tantec
- 3.4.3 เครื่องซักผ้า (gyrowash) รุ่น 415/8 จากบริษัท James H. Heal
- 3.4.4 กล้องจุลทรรศน์อิเล็กตรอนแบบส่องการดู (scanning electron microscope, SEM) รุ่น JSM-5410LV
- 3.4.5 เครื่องวิเคราะห์ทางスペกโตรสโคปีด้วยรังสีอินฟราเรด (attenuated total reflectance-fourier transform infrared spectroscopy, ATR-FTIR) รุ่น Microscope Continuum
- 3.4.6 เครื่องวิเคราะห์ทางความร้อน (thermogravimetric analyzer, TGA) รุ่น Mettler Toledo TGA/SDTA 851[°]

3.5 การเตรียมผ้าสะท้อนน้ำด้วยชิลิกอนไดออกไซด์

3.5.1 การเตรียมตัวอย่างผ้า

ตัดผ้าชิ้นตัวอย่างทั้งผ้าฝ้ายและผ้าไหมขนาด 10 x 20 เซนติเมตร สำหรับใช้ในการทดลองแต่งแต้มท่อน้ำ

3.5.2 การเตรียมชิลิกอนไดออกไซด์ในรูปของสารแขวนลอย

ขั้นตอนพื้มชิลิกาตามต้องการใส่ลงในระบบอุกัย้อมสแตนเลส เติมน้ำจนมีปริมาตร 100 มิลลิลิตร ปิดฝากระบวนการใส่ลงในระบบอุกัย้อมสแตนเลส กระบวนการชิลิกอนไดออกไซด์ให้กระจายตัวในน้ำ โดยนำระบบอุกัย้อมสแตนเลสไปเข้าเครื่องอัลตราโซนิก แล้วทำโซนิกเคชันเป็นเวลา 30 นาที ที่อุณหภูมิห้อง ภายหลังทำโซนิกเคชันจะได้สารแขวนลอยของชิลิกอนไดออกไซด์ที่มีความเสถียรไม่แตกตะกรอก ทั้งนี้ เพราะคลื่นอัลตราโซนิกจะทำให้อุบภาครูปของชิลิกอนไดออกไซด์ที่จับตัวรวมกัน

แยกตัวเป็นอนุภาคที่เล็กลงจนสามารถเข้ากันโดยในน้ำได้ด้วยตัวเองโดยไม่อาศัยสารช่วยกระจายตัว



รูปที่ 3.1 เครื่องอัลตราโซนิก



รูปที่ 3.2 ซิลิกอนไดออกไซด์ในรูปของสารเข้ากันโดย (ซ้าย) ก่อนทำโซนิกเคชั่น และ (ขวา) ภายหลังทำโซนิกเคชั่น

3.5.3 การเตรียมอิมัลชันเอกซ์เดคซิลไตรเมทอกซีซิเลน (preparation of hexadecyltrimethoxysilane emulsion)

เอกซ์เดคซิลไตรเมทอกซีซิเลนเป็นของเหลวที่ไม่ละลายน้ำ ดังนั้นก่อนนำไปใช้เคลือบอนุภาคซิลิกาบนผ้าจึงต้องเตรียมเอกซ์เดคซิลไตรเมทอกซีซิเลนในรูปของอิมัลชันก่อน โดยอาศัยสารลดแรงตึงผิว วิธีการเตรียมอิมัลชันทำโดยเตรียมผสมสารลดแรงตึงผิวที่ไม่มีประจุ (Triton X-100) 0.5 กรัม เอกซ์เดคซิลไตรเมทอกซีซิเลนตามต้องการ และเติมน้ำจนมีปริมาตร 100 มิลลิลิตร ลงในขวดวัดปริมาตรจากนั้นใส่ในเครื่องจุ่มอัดตราโนนิก แล้วทำการซีนิกเดชันเป็นเวลา 30 นาที ที่อุณหภูมิห้องซึ่งได้เป็นของผสมเนื้อดียุคล้านน้ำนม หลังจากนั้นทำการปรับค่าพีเอชให้อยู่ในภาวะเป็นกรดโดยใช้กรดไฮโดรคลอริกหรือกรดอะซิติก ขึ้นอยู่กับระดับความเป็นกรดที่ต้องการ

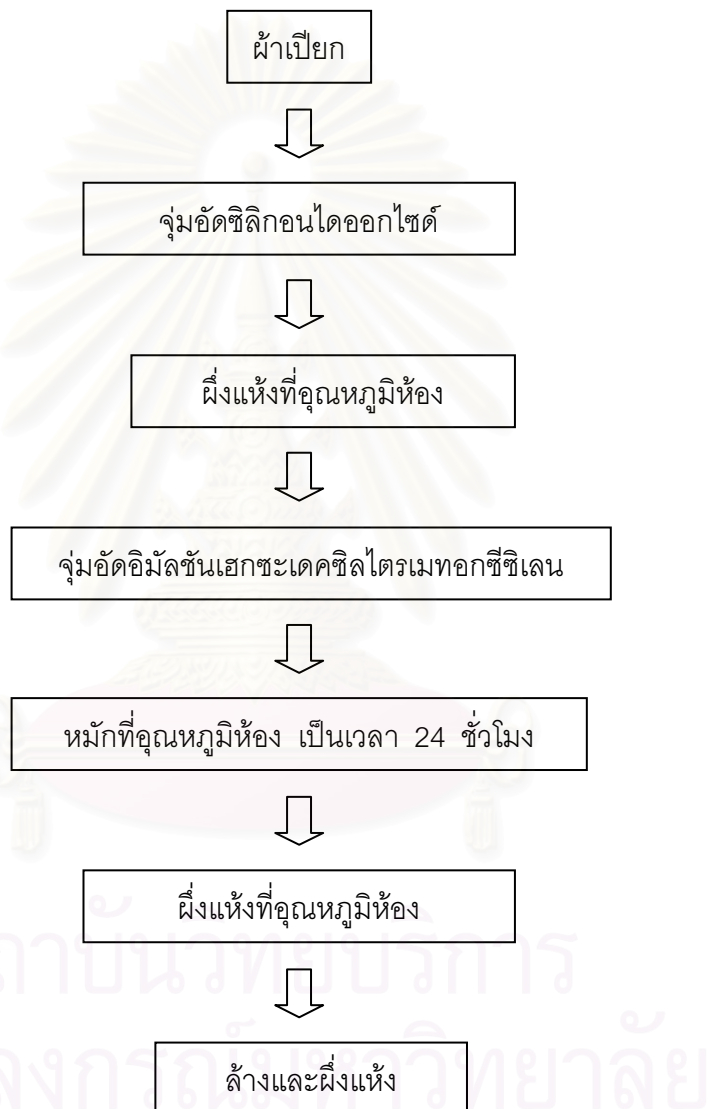
3.5.4 การตกแต่งผ้าสะท้อนน้ำ

นำผ้าฝ้ายและผ้าไหม ที่เตรียมไว้ในหัวข้อ 3.5.1 มาทำให้ผ้าเปลี่ยนน้ำก่อนด้วยเครื่องจุ่มอัด (pad mangle) ดังรูปที่ 3.3 โดยที่ตั้งค่าความดันไว้เพื่อให้ได้ร้อยละของผ้าเปียก ที่ร้อยละ 80 จากนั้นนำผ้าที่ซุ่มด้วยน้ำที่ได้ไปทำการจุ่มอัดด้วยสารเแขวนโลยซิลิกอนไดออกไซด์แล้วผึ่งให้แห้งที่อุณหภูมิห้องเป็นเวลา 30 นาที และทำการจุ่มอัดอีกครั้งในอิมัลชันเอกซ์เดคซิลไตรเมทอกซีซิเลน ต่อจากนั้นทำการหมักไว้ที่อุณหภูมิห้องเป็นเวลา 24 ชั่วโมง เมื่อครบเวลาหมักนำไปปั่นแห้งที่อุณหภูมิห้องอีกครั้งเป็นเวลา 48 ชั่วโมง เพื่อให้เกิดกระบวนการไฮดราเจลเกิดขึ้นที่ผิวของอนุภาคซิลิกา หลังจากนั้นนำไปล้างเอาสารลดแรงตึงผิวออกด้วยน้ำ 10 นาที แล้วผึ่งให้แห้งที่อุณหภูมิห้อง สำหรับการทดลองเตรียมผ้าสะท้อนน้ำได้สรุปไว้ในดังตารางที่ 3.1



รูปที่ 3.3 เครื่องจุ่มอัด (padder mangle)

ในการทดสอบนี้จะศึกษาผลของปริมาณของชิลิกอนไดออกไซด์ที่ความเข้มข้นร้อยละ 1, 3 และ 5 ของน้ำหนัก เอกราชเดคซิลไดรามาทอกซีซิลีโนที่ความเข้มข้นร้อยละ 1, 3 และ 5 ของน้ำหนัก และชนิดของตัวเร่งปฏิกิริยา (กรดไฮโดรคลอริกและกรดอะซิติก ที่ค่าพีเอย 3, 4 และ 5)



ตารางที่ 3.1 การทดลองเพื่อพิสูจน์ว่า

3.6 การทดสอบ

3.6.1 ความขาวของผ้า (whiteness) [32]

ความขาวของผ้านิยมวัดเป็นค่าดัชนีความขาว (whiteness index, WI) ซึ่งจะทดสอบตามมาตรฐาน AATCC 110-2000 เครื่องทดสอบที่ใช้คือเครื่อง spectrophotometer รุ่น Macbeth Color-Eye 7000 ก่อนทำการทดสอบจะต้องทำการตรวจวัดมาตรฐานเครื่องเสียงก่อนด้วย black tile (แผ่นเซรามิกสีดำ) และ white tile (แผ่นเซรามิกสีขาว) หลังจากนั้นพับผ้าที่ทดสอบเป็น 4 ทบ ซึ่งจะต้องมีขนาดใหญ่กว่าช่องที่ใช้สำหรับตรวจวัดการสะท้อนแสงของผ้า โดยจะทำการวัดทั้งด้านหน้าและด้านหลังของผ้า แล้วเครื่องจะบุคคลความขาวได้เป็น whiteness CIE ซึ่งเป็นค่าที่ได้จากการคำนวณของเครื่อง

สำหรับในระบบซีไออี เพื่อใช้วัดความสว่างที่มุ่ง 10 องศา ออกมากเป็นตัวเลข ตามมาตรฐานของแหล่งกำเนิดแสงที่ใช้คือ อิลลูมิแนนต์ D₆₅ ซึ่งเป็นแหล่งกำเนิดแสงที่ใช้แสงแทนแสงเดด โดยคำนวณค่าดัชนีความขาว จากสูตรดังนี้

$$W_{10} = Y_{10} + 800(0.3138 - x_{10}) + 1700(0.3310 - y_{10})$$

เมื่อ

W_{10} = ดัชนีความขาว (whiteness index)

Y_{10} = ค่า Y ซีไออีไตรสติเมิลล์ของตัวอย่าง (CIE tristimulus value)

x_{10}, y_{10} = พิกัดโคลรมิติกซ์ของตัวอย่าง (chromaticity coordinates)



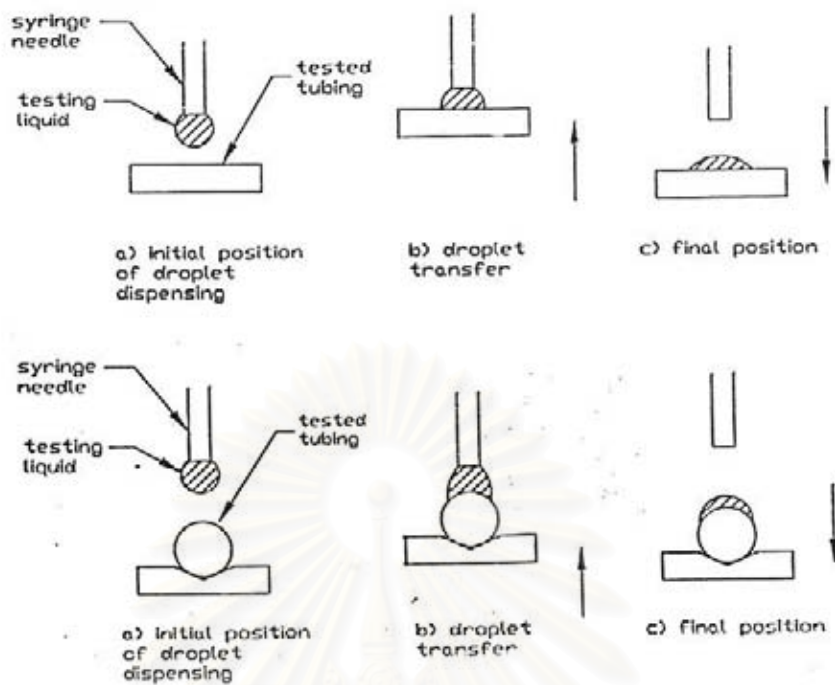
รูปที่ 3.4 เครื่องวัดสี (spectrophotometer)

3.6.2 มุมสัมผัสของน้ำ (contact angle)

มุมสัมผัสของน้ำใช้เครื่องทดสอบคือ contact angle meter (goniometer) รุ่น CAM-PLUS Tantec ดังรูปที่ 3.5 โดยการทดสอบมุมสัมผัสจะใช้วิธีที่เรียกว่า sessile drop ดังรูปที่ 3.6 หยดของเหลวจะถูกหยดออกจากหลอดฉีดยาขนาดเล็ก ที่ใช้ในการทดสอบนี้คือ 1 หยด เท่ากับ 4 ไมโครลิตร ลงบนพื้นผิวผ้าที่ต้องการทดสอบ โดยการนำเข้าพื้นผิวนั้นไปสัมผัสถกับหยดที่แขวนอยู่ที่ปลายเข็มฉีดยา เพื่อให้ได้ของเหลวเพียงหยดเดียวที่สัมผัสกับผิวผ้า จากนั้นแสดงจะถูกส่องผ่านด้านหน้าของเหลวและภาพของหยดของเหลวจะถูกลงบนจักษุรับภาพชี้ของด้านหลังหยดของเหลว มุมสัมผัสจะถูกวัดโดยใช้ชากวัดมุม (protractor) ที่ติดอยู่กับจักษุรับภาพ ดังแสดงในรูปที่ 3.7 โดยการวัดบนวัสดุสิ่งทอ จะวัดหลังจากหยดของเหลวบนผิวผ้าไปแล้ว 20 วินาที แต่ถ้าหยดของเหลวจมภายใน 20 วินาที ถือว่าพื้นผิวนั้นไม่สามารถวัดมุมสัมผัสได้



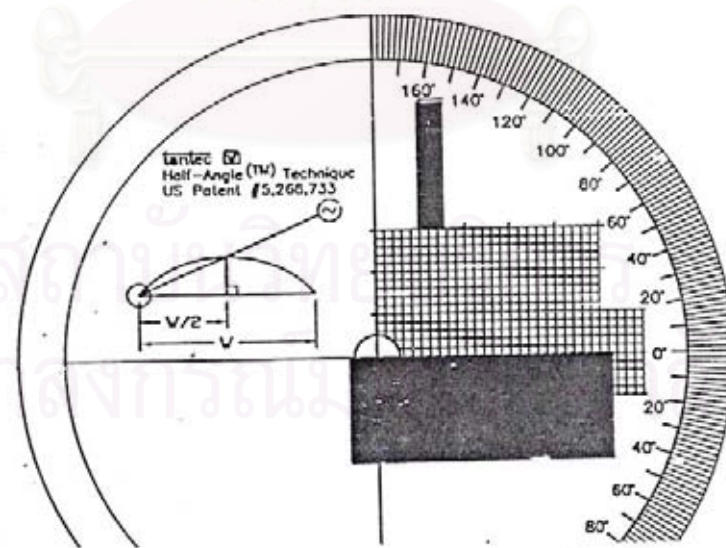
รูปที่ 3.5 เครื่องวัดมุมสัมผัสของน้ำ (contact angle meter)



รูปที่ 3.6 ไดอะแกรมแสดงวิธีการวัดมุมสัมผัสแบบ sessile drop

(ภาพบน) ชิ้นทดสอบที่เป็นแผ่น

(ภาพล่าง) ชิ้นทดสอบที่เป็นทรงกลม



รูปที่ 3.7 การวัดมุมสัมผัสโดยใช้ protractor

3.6.3 ความคงทนต่อการซักล้าง (wash fastness) [33]

เป็นการทดสอบมุมสัมผัสของน้ำบนผ้าที่ผ่านการซัก-อบแห้ง 5 ครั้ง โดยเทียบกับมาตรฐาน AATCC 61-2001 เครื่องทดสอบที่ใช้คือ gyrowash รุ่น 415/8 จากบริษัท James H. Heal ประเทศอังกฤษ ตัดชิ้นทดสอบขนาด 2×4 นิ้ว ทดสอบการซักที่อุณหภูมิ 40 องศาเซลเซียส โดยใช้ผงซักฟอกมาตรฐาน (WOB) 0.37 % หรือ 0.74 กรัม น้ำ 200 มิลลิลิตร และถุงป้องกันผลลัพธ์ 10 ถุง เป็นเวลา 45 นาที (ซัก 1 ครั้ง เท่ากับซักด้วยมือ 5 ครั้ง) จากนั้นนำผ้าที่ทำการทดสอบล้างน้ำ 3 ครั้ง ครั้งละ 1 นาที จากนั้นผึ่งให้แห้งที่อุณหภูมิห้องหรืออบไม่เกิน 70 องศาเซลเซียส เป็นเวลา 10 นาที เมื่อผ้าแห้งนำไปทดสอบมุมสัมผัสของน้ำ



รูปที่ 3.8 เครื่องซักผ้า (gyrowash)

3.6.4 ลักษณะทางสัณฐานวิทยาบนพื้นผิวฝ้า

จะใช้กล้องจุลทรรศน์อิเล็กตรอนแบบส่องกราด (scanning electron microscope, SEM) รุ่น JSM-5410LV จากบริษัท JEOL ประเทศญี่ปุ่น เพื่อศึกษาลักษณะทางสัณฐานวิทยาของพื้นผิวฝ้าฝ่ายและฝ้าใหม่ สามารถหาได้โดยนำตัวอย่างที่แห้งสนิทขนาดระดับมิลลิเมตรมาชابทองด้วยเครื่องชابทอง แล้วจึงนำมาใส่เก็บที่ช่องตัวอย่างในคอลัมน์ สร้างสัญญาการภายในคอลัมน์จากนั้นสำแดงอิเล็กตรอนปั๊มน้ำมีจัลูกไฟกัสให้ตกลงบนผิวตัวอย่างและถูกผลักดันให้เคลื่อนไปบนผิวตัวอย่างนั้น ปฏิกิริยาระหว่างอิเล็กตรอนกับผิวตัวอย่างทำให้มีอิเล็กตรอนทุติยภูมิซึ่งมีพลังงานต่ำหลุดออกมายากจากบริเวณชั้นบนของผิวตัวอย่าง ซึ่งจะถูกจับและรวมเป็นสัญญาณในที่สุดจะถูกประมวลผลเป็นภาพขาวดำปรากฏบนจอโทรทัศน์

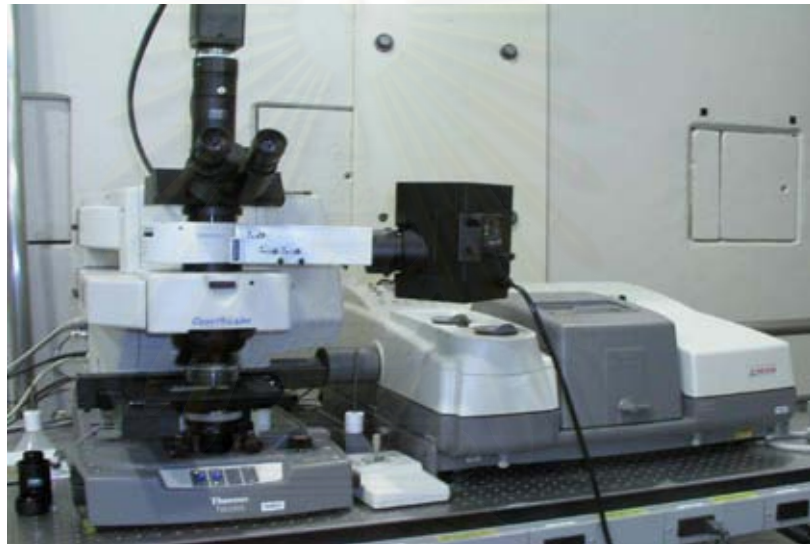


รูปที่ 3.9 กล้องจุลทรรศน์อิเล็กตรอนแบบส่องกราด (SEM)

3.6.5 การศึกษาลักษณะเฉพาะของสารเคลือบบนพื้นผิวฝ้าที่ผ่านการตกแต่งสะท้อนน้ำด้วยเทคนิค ATR-FTIR

เอทีอาร์-เอฟทีไออาร์ (attenuated total reflectance-fourier transform infrared spectroscopy, ATR-FTIR) เป็นเทคนิคที่ใช้หลักขัณฑ์เฉพาะของสารตัวอย่าง โดยอาศัยหลักการที่โมเลกุลแต่ละโมเลกุลจะมีการดูดกลืนแสงอินฟราเรดที่แตกต่างกัน โดยเมื่อโมเลกุลดูดกลืนรังสีอินฟราเรด โมเลกุลจะถูกกระตุ้นเป็นโมเลกุลที่มีพลังงานสูงกว่าอยู่ในสถานะพื้น ทำ

ให้โมเลกุลเกิดการสั่น (vibration) หรือเกิดการหมุน (rotation) เข้าสู่ดีเทกเตอร์เพื่อตรวจวัดและแสดงผลออกมาเป็นค่าความยาวคลื่นที่สัมพันธ์กับร้อยละของการดูดกลืนแสง จุดที่ ATR-FTIR แตกต่างจาก FTIR ที่รีปีคิอ ATR นั้นในการตรวจวัดบริเวณพื้นผิวเท่านั้น งานวิจัยนี้เลือกใช้เทคนิค ATR เพราะต้องการตรวจสารที่เคลือบอยู่บนพื้นผิวผ้าที่ผ่านการตกแต่งสะท้อนน้ำ โดยใช้เครื่องรุ่น Microscope Continuum จากบริษัท Thermo Electron Corporation ประเทศสหรัฐอเมริกา โดยกำหนดความยาวคลื่นของスペกตรัมที่ได้ระหว่าง $4000 - 750\text{ cm}^{-1}$ และใช้ scan time เท่ากับ 32 resolution เท่ากับ 8



รูปที่ 3.10 เครื่องวิเคราะห์ทางสเปกโทรสโคปีด้วยรังสีอินฟราเรด (ATR-FTIR)

3.6.6 การวิเคราะห์หาปริมาณซิลิกอนไดออกไซด์บนผ้าที่ผ่านการตกแต่งสะท้อนน้ำด้วยเทคนิคเทอร์โมกราวิเมทริกอะนาลิซิส (TGA)

สำหรับงานวิจัยนี้จะนำผ้าที่ผ่านการตกแต่งสะท้อนน้ำด้วยซิลิกอนไดออกไซด์ที่เคลือบสารออร์แกโนซิเลน มาทดสอบสมบัติทางความร้อนโดยใช้เครื่อง TGA รุ่น Mettler Toledo TGA/SDTA 851[°] ดังรูปที่ 3.11 เพื่อหาปริมาณของซิลิกอนไดออกไซด์ที่เหลือบนผ้าภายหลังจากการเผาไหม้ ตัวอย่างทดสอบที่ใช้น้ำหนักระหว่าง 3-4 มิลลิกรัม ใส่ในถาดอะลูминيا (alumina pan) กำหนดภาวะทดสอบโดยอุณหภูมิเริ่มต้น 30 องศาเซลเซียส และเพิ่มอุณหภูมิตัวอย่าง 20 องศาเซลเซียสต่อนาที จนถึงอุณหภูมิ 1,000 องศาเซลเซียส ภายใต้บรรยากาศของแก๊สออกซิเจน



รูปที่ 3.11 เครื่องวิเคราะห์ทางความร้อน (TGA)

สถาบันวิทยบริการ
จุฬาลงกรณ์มหาวิทยาลัย

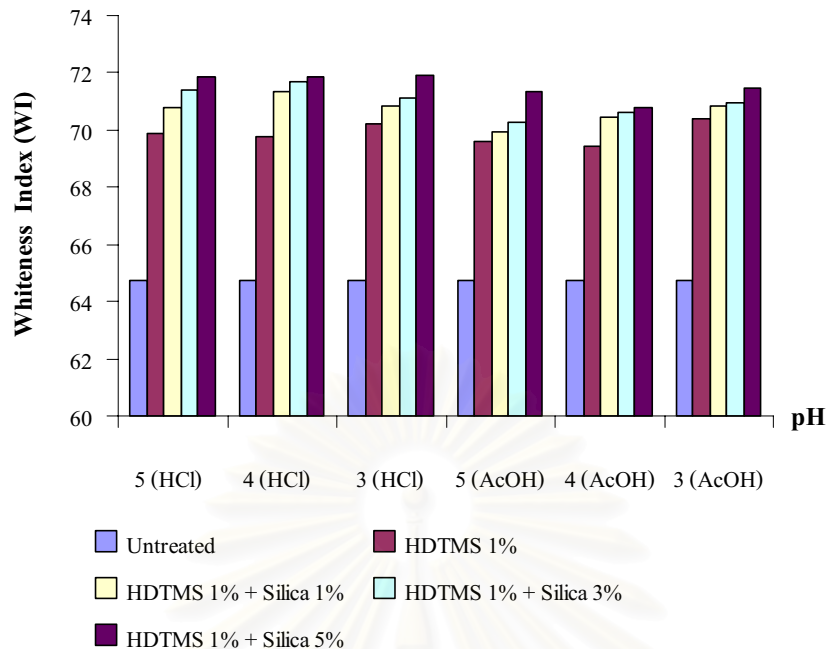
บทที่ 4

ผลการทดลองและวิเคราะห์ผลการทดลอง

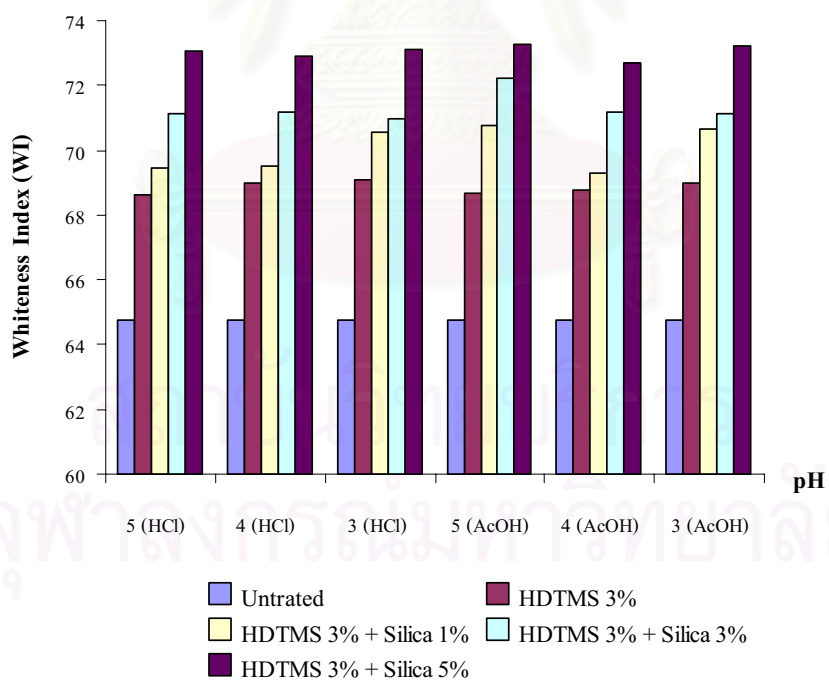
4.1 ดัชนีความขาวของผ้า

ผ้าฝ้ายที่ผ่านการตกแต่งจะท่อน้ำด้วยอนุภาคซิลิกอนไดออกไซด์ โดยทำการเคลือบซิลิกอนไดออกไซด์บนผ้าหลังจากนั้นทำการหุ่มอนุภาคซิลิกอนไดออกไซด์บนผ้าด้วยเอกสารเดคซิลไตรเมทอกซิซิเลน ซึ่งสารตัวนี้จะเกิดปฏิกิริยาโซล-เจลล้อมรอบอนุภาคซิลิกาทำให้อนุภาคซิลิกามีสมบัติสระท่อน้ำ จากการสังเกตเบื้องต้นพบว่าผ้ามีความขาวเพิ่มขึ้นภายหลังการตกแต่งจะท่อน้ำ ซึ่งยืนยันด้วยเครื่อง Spectrophotometer เพื่อวัดหาความขาวของผ้า ผลการทดลองได้แสดงไว้ในรูปที่ 4.1-4.3 เป็นที่ทราบกันว่าซิลิกอนไดออกไซด์ที่ใช้ในการทดลองนี้ เป็นฟูมซิลิกามีลักษณะอนุภาคเป็นผละละเอียดมากขนาด 14 นาโนเมตร มีลักษณะ สีขาว ผลงานให้ตัวมันเองสามารถสะท้อนแสงได้ดี ดังนั้นมือใช้ซิลิกอนไดออกไซด์ปริมาณมากขึ้นทำให้ความขาวของผ้าเพิ่มขึ้น ดังแสดงรูปที่ 4.1-4.3 ค่าดัชนีความขาวของผ้าที่ยังไม่ผ่านการตกแต่งจะท่อน้ำจะอยู่ที่ 64.75 ส่วนผ้าฝ้ายที่ผ่านการตกแต่งด้วยซิลิกอนไดออกไซด์ที่ความเข้มข้นร้อยละ 1, 3 และ 5 ของน้ำหนัก โดยการหุ่มด้วยเอกสารเดคซิลไตรเมทอกซิซิเลนร้อยละ 1 ของน้ำหนัก ปรับค่าพีเอชเท่ากับ 5 ด้วยกรดไฮโดรคลอริกเป็นตัวเร่งปฏิกิริยา มีค่าดัชนีความขาวเพิ่มขึ้นเป็น 70.81, 71.39 และ 71.83 ตามลำดับ เมื่อประพันความเข้มข้นของเอกสารเดคซิลไตรเมทอกซิซิเลนหรือประพันความเป็นกรดตามชนิดของกรดที่ใช้ พบว่าทั้งเอกสารเดคซิลไตรเมทอกซิซิเลนและกรดไม่มีผลต่อกลางของผ้าแต่อย่างใด ดังนั้นจึงสรุปได้ว่าความขาวที่เพิ่มขึ้นของผ้านั้นเนื่องมาจากการเติมอนุภาคซิลิกา สาเหตุที่เป็นเช่นนี้ก็เพราะว่าอนุภาคซิลิกามีความสามารถในการสะท้อนแสงได้ดีกว่าพื้นผิวสิ่งทอที่ไม่ผ่านการตกแต่งจะท่อน้ำ

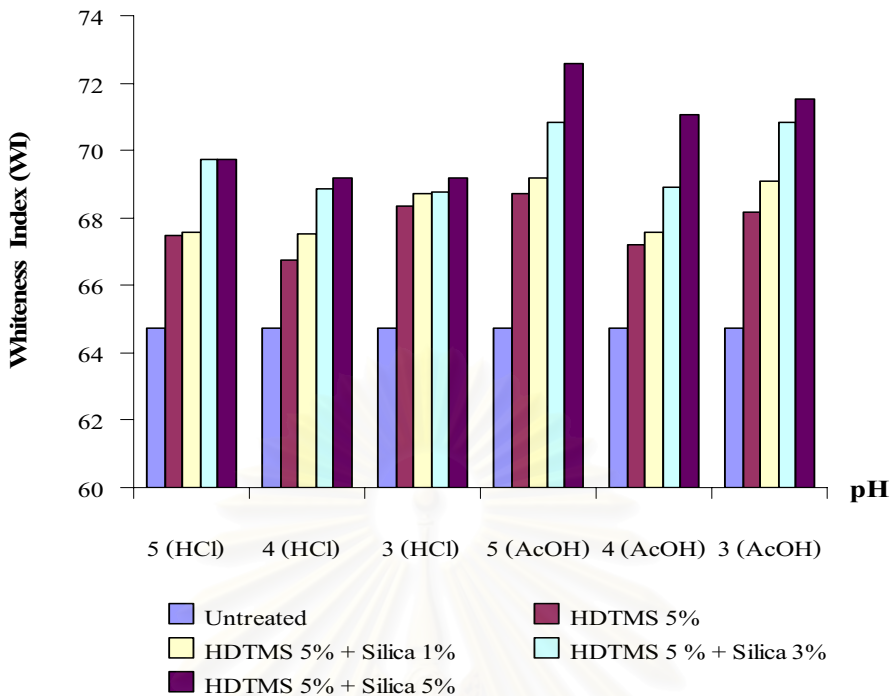
ผลการทดสอบบริการ
จุฬาลงกรณ์มหาวิทยาลัย



รูปที่ 4.1 ดัชนีความขาวของผ้าฝ้ายที่ผ่านการตกแต่งสะท้อนน้ำโดยการเคลือบอนุภาคชิลิกอนไดออกไซด์ที่ความเข้มข้นต่างๆ กับเอกซะเดคซิลไตรเมทอกซิซิเลนร้อยละ 1 ของน้ำหนักที่ภาชนะจารดต่างกัน

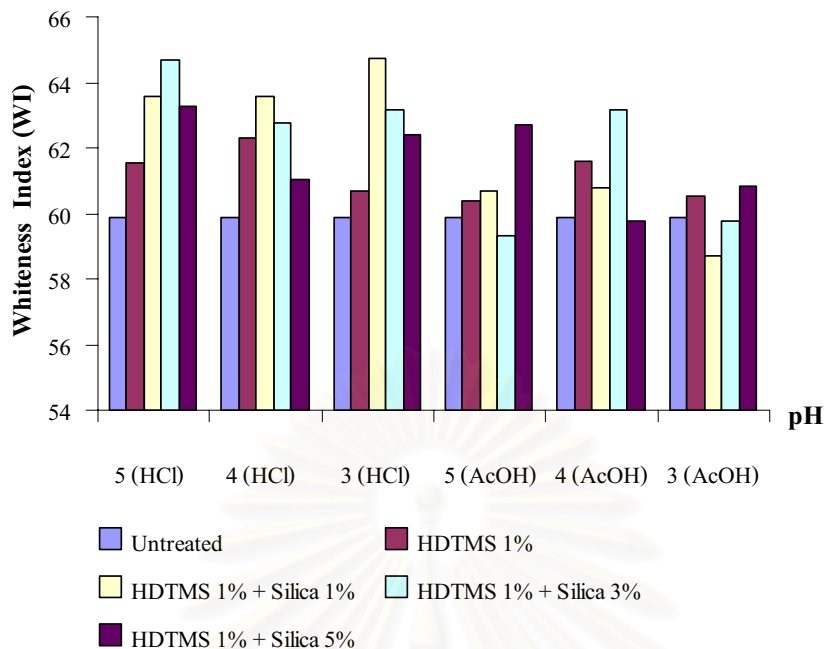


รูปที่ 4.2 ดัชนีความขาวของผ้าฝ้ายที่ผ่านการตกแต่งสะท้อนน้ำโดยการเคลือบอนุภาคชิลิกอนไดออกไซด์ที่ความเข้มข้นต่างๆ กับเอกซะเดคซิลไตรเมทอกซิซิเลนร้อยละ 3 ของน้ำหนักที่ภาชนะจารดต่างกัน

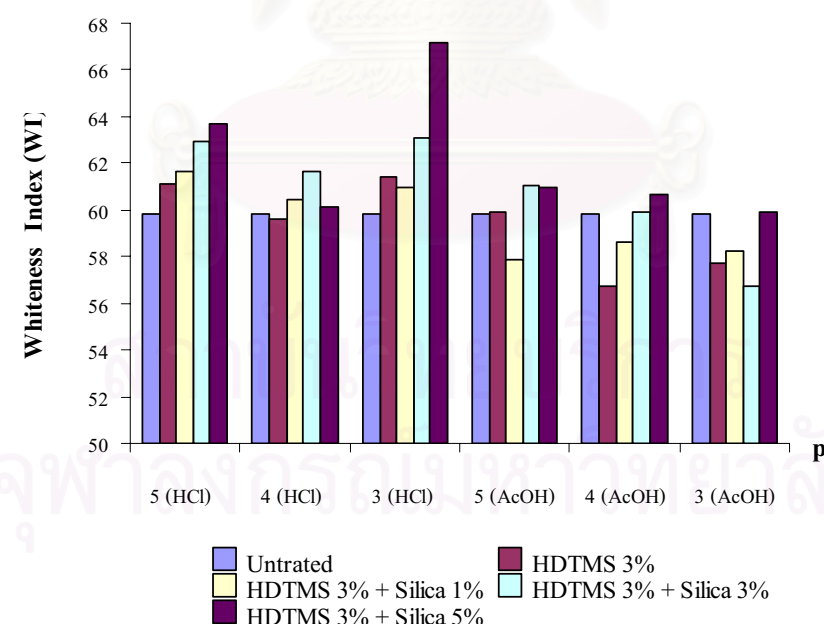


รูปที่ 4.3 ดัชนีความขาวของผ้า白衣ที่ผ่านการตกแต่งสะท้อนน้ำโดยการเคลือบอนุภาคชิลิกอนไดออกไซด์ที่ความเข้มข้นต่างๆ กับเอกซ์เดคซิลไตรเมทอกซิซิเลนร้อยละ 5 ของน้ำหนักที่ภายนอกต่างกัน

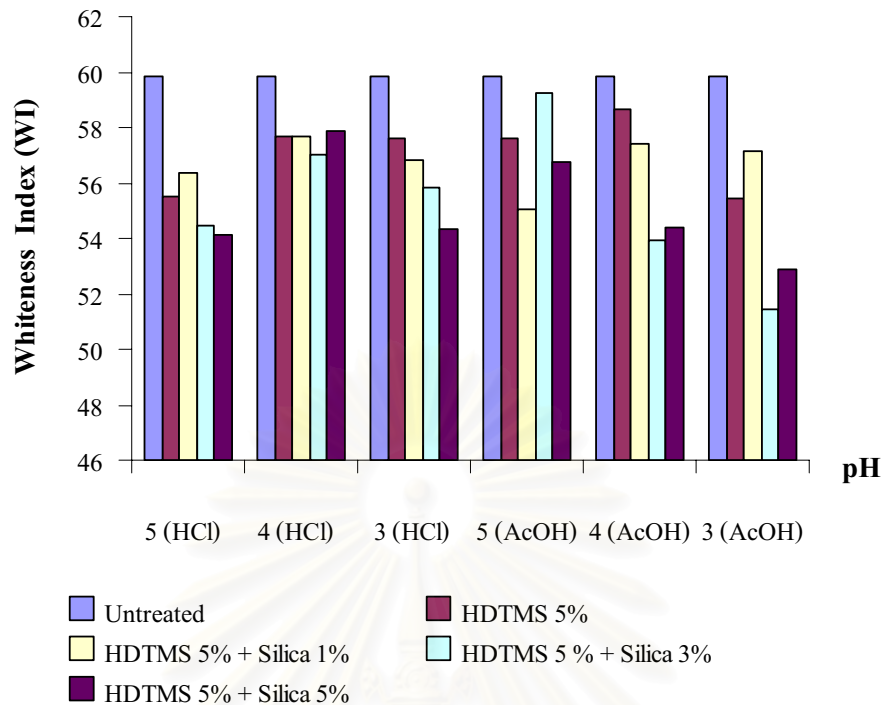
ส่วนผ้า白衣จะเห็นได้ว่าจากรูปที่ 4.4-4.6 ค่าดัชนีความขาวของผ้า白衣ที่ยังไม่ได้ตกแต่งสะท้อนน้ำอยู่ที่ 59.86 สำหรับความขาวของผ้า白衣ที่ตกแต่งสะท้อนน้ำด้วยวิธีการโซลเจลนีค่อนข้างแปรปรวน ดังตัวอย่างการทดลองเช่น การตกแต่งด้วยชิลิกอนไดออกไซด์ที่ความเข้มข้นร้อยละ 1, 3 และ 5 ของน้ำหนัก โดยการหุ้มด้วยเอกซ์เดคซิลไตรเมทอกซิซิเลนร้อยละ 1 ของน้ำหนัก ปรับค่าพีเอชเท่ากับ 5 ด้วยกรดไฮโดรคลอริกเป็นตัวเร่งปฏิกิริยา มีค่าดัชนีความขาวเพิ่มขึ้นเป็น 63.56, 64.66 และ 63.29 ตามลำดับ นอกจากนี้บางการทดลองยังทำให้ความขาวของผ้าลดลง เช่น การตกแต่งด้วยชิลิกอนไดออกไซด์ที่ความเข้มข้นร้อยละ 1, 3 และ 5 ของน้ำหนัก โดยการหุ้มด้วยเอกซ์เดคซิลไตรเมทอกซิซิเลนร้อยละ 5 ของน้ำหนัก ปรับค่าพีเอชเท่ากับ 5 ด้วยกรดไฮโดรคลอริกเป็นตัวเร่งปฏิกิริยา มีค่าดัชนีความขาวลดลงเป็น 56.34, 54.47 และ 54.13 ตามลำดับ จึงสรุปได้ว่าถึงแม้จะเพิ่มปริมาณชิลิกอนไดออกไซด์ไม่ทำให้ผ้าขาวขึ้นเท่าที่ควร อันเนื่องจากอิทธิพลความชุ纪律ที่พื้นผิวผ้า白衣ที่เพิ่มขึ้นซึ่งเดิมนั้นก่อนนำไปตกแต่งใหม่มีผิวเรียบมัน และเมื่อนำผ้า白衣ไปเคลือบด้วยนาโนชิลิกอนไดออกไซด์ทำให้พื้นผิวชุ纪律ส่งผลให้แสงที่ตกกระทบแล้วสะท้อนน้ำไม่สม่ำเสมอ ไม่เป็นระเบียบ บางส่วนเกิดการหักเหแสงทำให้ความเงา漫ลดลงและความขาวลดลงไปด้วย



รูปที่ 4.4 ดัชนีความขาวของผ้าไหมที่ผ่านการตกแต่งสะท้อนน้ำโดยการเคลือบอนุภาคชิลิกอนไดออกไซด์ที่ความเข้มข้นต่างๆ กับเอกซะเดคซิลไตรเมทอกซิซิเลนร้อยละ 1 ของน้ำหนักที่ภาชนะกรดต่างกัน



รูปที่ 4.5 ดัชนีความขาวของผ้าไหมที่ผ่านการตกแต่งสะท้อนน้ำโดยการเคลือบอนุภาคชิลิกอนไดออกไซด์ที่ความเข้มข้นต่างๆ กับเอกซะเดคซิลไตรเมทอกซิซิเลนร้อยละ 3 ของน้ำหนักที่ภาชนะกรดต่างกัน



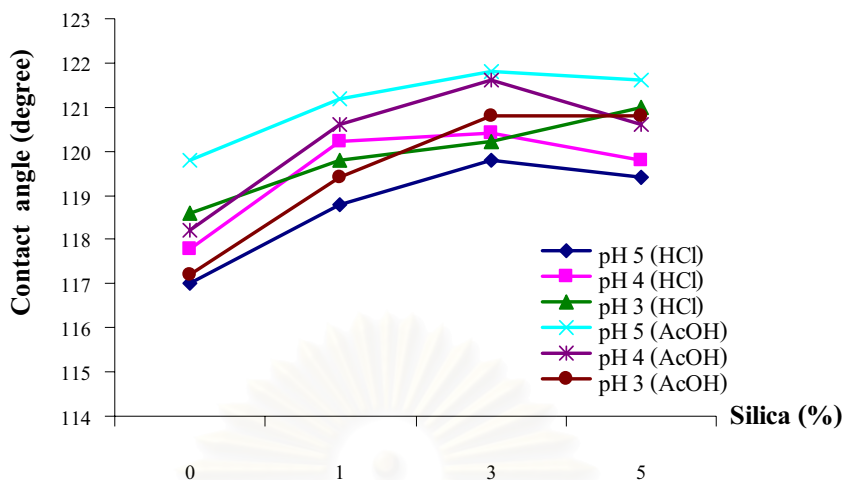
รูปที่ 4.6 ดัชนีความขาวของผ้าไหมที่ผ่านการตกแต่งสีท้อน้ำโดยการเคลือบอนุภาคซิลิกอนไดออกไซด์ที่ความเข้มข้นต่างๆ กับเอกซะเดคซิลไตรเมทอกซิซิเลนร้อยละ 5 ของน้ำหนักที่ภาชนะกดต่างกัน

4.2 มุ่งสัมผัสของน้ำหนักผ้า

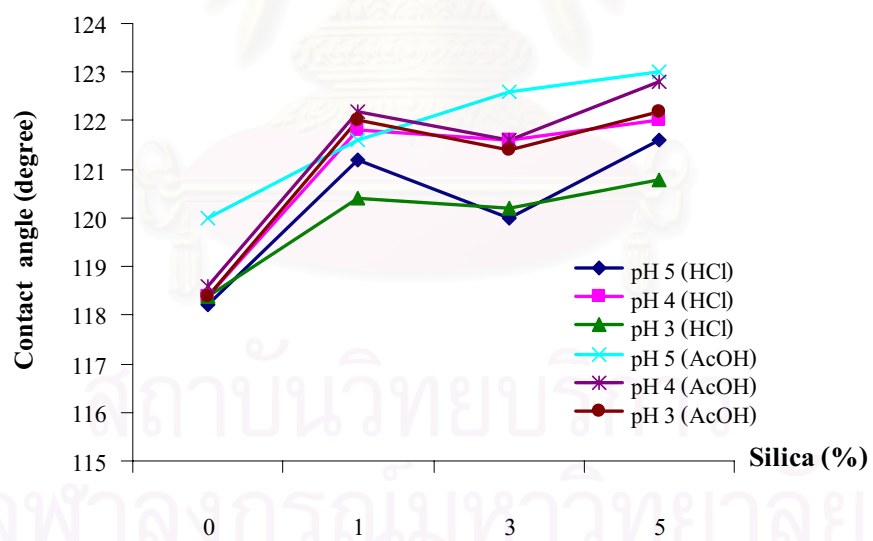
การตกแต่งสีท้อน้ำบนวัสดุสิ่งทอทำได้ด้วยเทคนิคโซล-เจลโดยเตรียมจากการจุ่มอัดอนุภาคนาโนซิลิกอนไดออกไซด์ลงบนพื้นผิวเส้นใย หลังจากนั้นทำการหุ้มอนุภาคเหล่านี้ด้วยสารไม่ชอบน้ำเอกซะเดคซิลไตรเมทอกซิซิเลนซึ่งมีสายโซ่โมเลกุลเป็นไฮดรคาร์บอน 16 อะตอมเอกซะเดคซิลไตรเมทอกซิซิเลนจะเกิดปฏิกิริยาโซล-เจลที่ผิวของอนุภาคซิลิกา ซึ่งภายหลังเสร็จสิ้นปฏิกิริยาเอกซะเดคซิลไตรเมทอกซิซิเลนจะเกาะติดกับอนุภาคซิลิกาด้วยพันธะซิลอกเซน (siloxane bond) ทำให้ได้ออนุภาคมีผิวไม่ชอบน้ำ เมื่ออนุภาคนี้ตอกแต่งอยู่บนผิวของผ้าจึงทำให้ผ้า (ผ้าฝ้ายและไหม) มีสมบัติไม่เปียกน้ำ ดังแสดงในรูปที่ 4.7-4.12 ยกตัวอย่างเช่น เมื่อใช้ปริมาณเอกซะเดคซิลไตรเมทอกซิซิเลนร้อยละ 1 ของน้ำหนัก ปรับค่าพีเอชเท่ากับ 5 ด้วยกรดไฮโดรคลอริกเป็นตัวเร่งปฏิกิริยา ได้ผ้าสีท้อน้ำที่มุ่งสัมผัสของน้ำหนักผ้าฝ้ายอยู่ที่ 117 องศา และผ้าไหมอยู่ที่ 118.2 องศา ซึ่งผลการทดลองที่ได้กล่าวข้างต้นนี้ไม่ได้เคลือบอนุภาคซิลิกอนไดออกไซด์บนพื้นผิวผ้าเพียงแต่เป็นการเคลือบด้วยเอกซะเดคซิลไตรเมทอกซิซิเลนอย่างเดียว

นอกจากนี้การใช้ชิลิกอนไดออกไซด์ในปริมาณสูงขึ้น (แต่ไม่เกินร้อยละ 5 ของน้ำหนักเนื่องจากถ้าใช้ในปริมาณมากกว่านี้ชิลิกอนไดออกไซด์จะไม่เสียริโนคุปสารhexanediol เกิดการตกตะกอนได้) ทำให้พื้นผิวผ้าเกิดความชุ่มชื้น ส่วนมุนสัมผัสของน้ำบนผ้าฝ้ายและผ้าไหมสูงขึ้น ทำให้พื้นผิวผ้าสะอาดท่อน้ำได้ดี ผลจากแรงยืดเทาบานที่ติดอยู่บนพื้นผิวผ้าน้ำอย่าง เนื่องจากมีพื้นที่เพียงเล็กน้อยบนอนุภาคนาโนชิลิกอนไดออกไซด์เท่านั้นที่สัมผัสกับหยดน้ำ ทำให้หยดน้ำสามารถกลิ้งออกจากพื้นผิวผ้าได้ ลักษณะเหมือนพิวไบบ์ ดังตัวอย่างการทดลองการตากแต่งตัวโดยชิลิกอนไดออกไซด์ที่ความเข้มข้นร้อยละ 1, 3 และ 5 ของน้ำหนัก โดยการหุ่มด้วยเอกสารเดคชิล ไดรเมทอกซ์ซิลีเคนร้อยละ 1 ของน้ำหนัก ปรับค่าพีเอชเท่ากับ 5 ด้วยกรดไฮโดรคลอริกเป็นตัวเร่งปฏิกิริยา ได้ผ้าสะอาดท่อน้ำที่มีมุนสัมผัสของน้ำบนผ้าฝ้ายอยู่ที่ 118.8, 119.8 และ 119.4 องศา ตามลำดับ ส่วนมุนสัมผัสของน้ำบนผ้าไหมอยู่ที่ 118.6, 121.2 และ 120.4 องศา ตามลำดับ จากการสังเกตผลการทดลองโดยรวมพบว่า ภาวะที่เหมาะสมในการเตรียมผ้า (ผ้าฝ้ายและไหม) สะท้อนน้ำด้วยอนุภาคนาโนชิลิกอนไดออกไซด์ในการทดลองนี้คือ ชิลิกอนไดออกไซด์ร้อยละ 5 ของน้ำหนัก และเอกสารเดคชิล ไดรเมทอกซ์ซิลีเคนร้อยละ 3 ของน้ำหนัก ปรับค่าเท่ากับพีเอช 5 ด้วยกรดอะซิติกเป็นตัวเร่งปฏิกิริยา ได้มุนสัมผัสของน้ำบนผิวผ้าทั้งผ้าฝ้ายและผ้าไหมเท่ากับ 123 องศา เป็นค่าที่ดีที่สุดเมื่อเทียบกับผ้าที่ไม่ผ่านการตากแต่งสะท้อนน้ำมีมุนสัมผัสของน้ำเท่ากับ 0 องศา เพราะได้ทำการทดลองหยดน้ำลงบนพื้นผ้าน้ำซึ่งผ่านอย่างรวดเร็ว อันเนื่องจากฝ้ายเป็นเส้นใยเซลลูโลสและไหมเป็นเส้นใยโปรตีนซึ่งเป็นเส้นใยธรรมชาติที่มีสมบัติชอบน้ำสูง ต่างจากผ้าที่ผ่านการตากแต่งสะท้อนน้ำเมื่อหยดน้ำลงบนพื้นผิวผ้า ทั้งผ้าฝ้ายและผ้าไหมไม่เปียกน้ำ หยดน้ำไม่สามารถซึมผ่านบนพื้นผิวผ้าได้ ในการทดลองนี้กล่าวได้ว่าการเตรียมผ้าสะอาดท่อน้ำ (ผ้าฝ้ายและไหม) ทำได้โดยปรับปรุงพื้นผิวผ้าให้มีพลังงานพื้นผิวต่ำและเกิดความชุ่มชื้นมากขึ้น

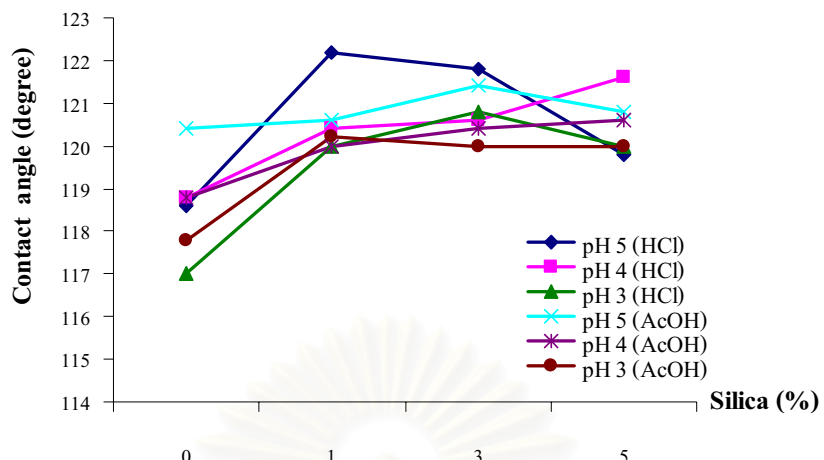
สถาบันวิทยบริการ จุฬาลงกรณ์มหาวิทยาลัย



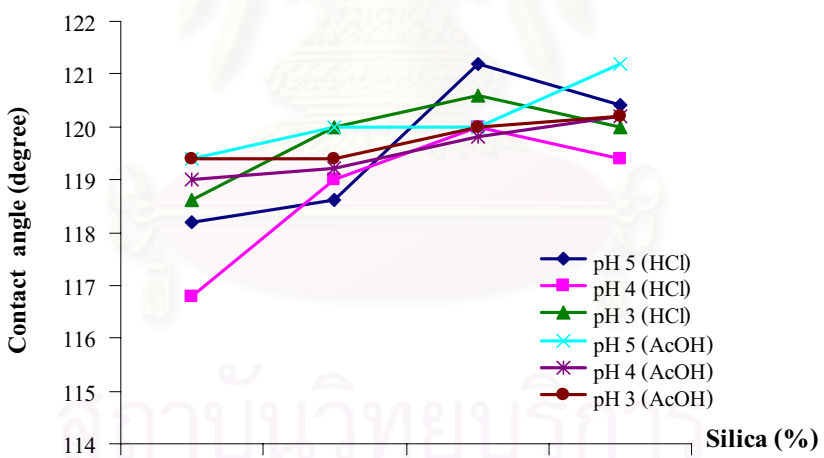
รูปที่ 4.7 มุมสัมผัสของน้ำบนผ้าฝ้ายที่ผ่านการตกแต่งสะท้อนน้ำโดยการเคลือบอนุภาคชิลิกอนไดออกไซด์ที่ความเข้มข้นต่างๆ กับเยกซะเดคซิลไตรเมทอกซิซิเลนร้อยละ 1 ของน้ำหนักที่ภาชนะกดต่างกัน



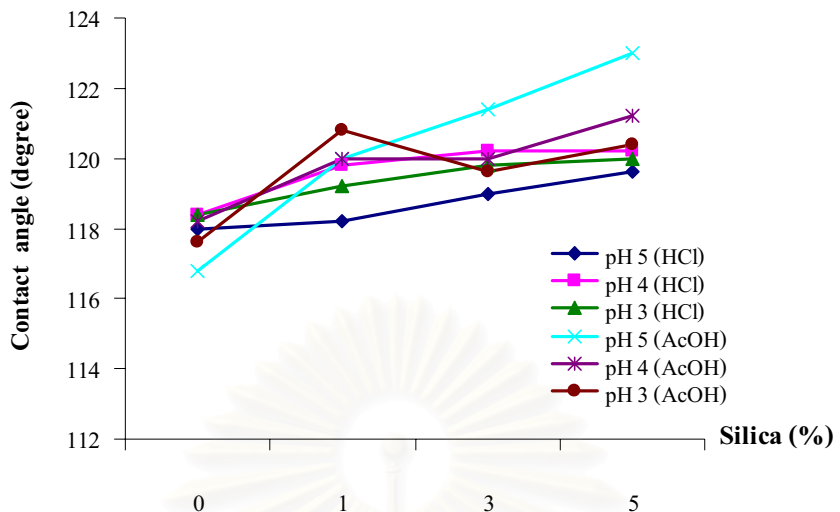
รูปที่ 4.8 มุมสัมผัสของน้ำบนผ้าฝ้ายที่ผ่านการตกแต่งสะท้อนน้ำโดยการเคลือบอนุภาคชิลิกอนไดออกไซด์ที่ความเข้มข้นต่างๆ กับเยกซะเดคซิลไตรเมทอกซิซิเลนร้อยละ 3 ของน้ำหนักที่ภาชนะกดต่างกัน



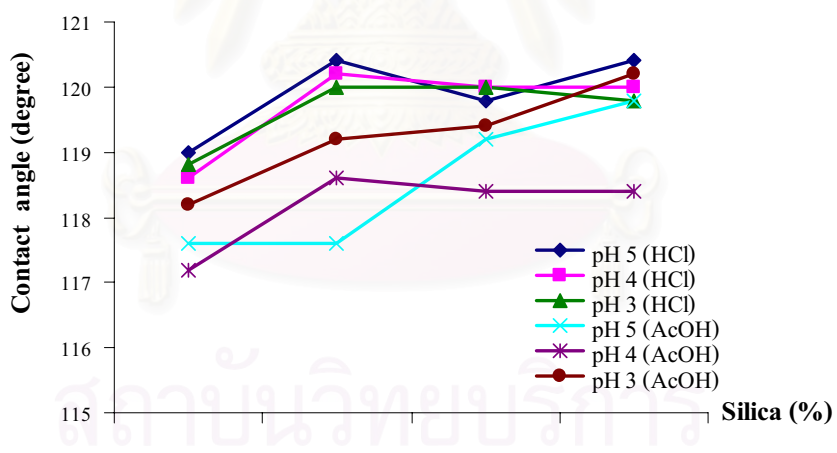
รูปที่ 4.9 มุมสัมผัสของน้ำบนผ้าฝ้ายที่ผ่านการตกแต่งสะท้อนน้ำโดยการเคลือบอนุภาคซิลิกอนไดออกไซด์ที่ความเข้มข้นต่างๆ กับเอกซะเดคซิลไตรเมทอกซิซิเลนร้อยละ 5 ของน้ำหนักที่ภาชนะกรดต่างกัน



รูปที่ 4.10 มุมสัมผัสของน้ำบนผ้าไหมที่ผ่านการตกแต่งสะท้อนน้ำโดยการเคลือบอนุภาคซิลิกอนไดออกไซด์ที่ความเข้มข้นต่างๆ กับเอกซะเดคซิลไตรเมทอกซิซิเลนร้อยละ 1 ของน้ำหนักที่ภาชนะกรดต่างกัน



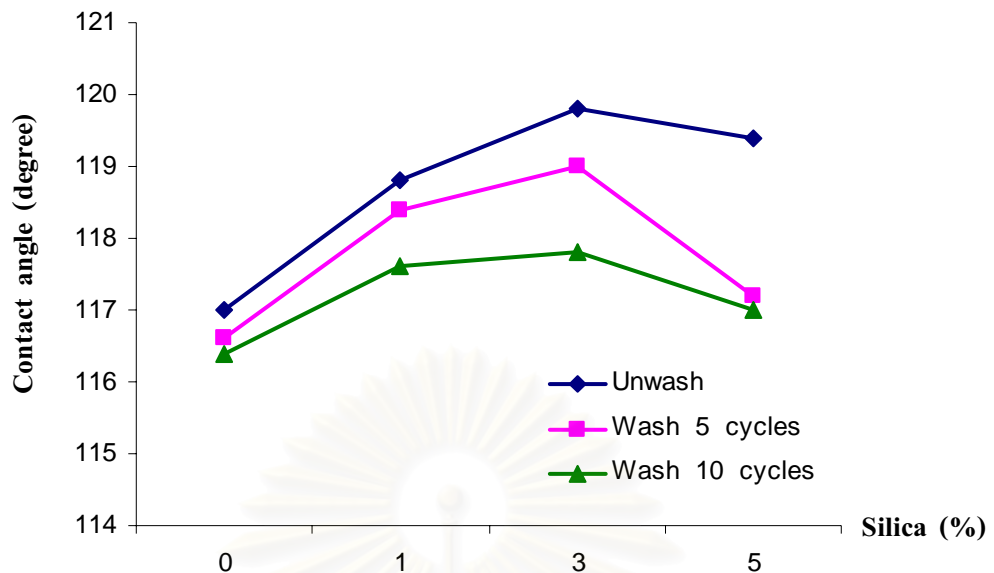
รูปที่ 4.11 มุมสัมผัสของน้ำบนผ้าไหมที่ผ่านการตกแต่งสะท้อนน้ำโดยการเคลือบอนุภาคชิลิกอนไดออกไซด์ที่ความเข้มข้นต่างๆ กับเอกซะเดคซิลไตรเมทอกซิซีเลนร้อยละ 3 ของน้ำหนักที่ภาชนะจัดต่างกัน



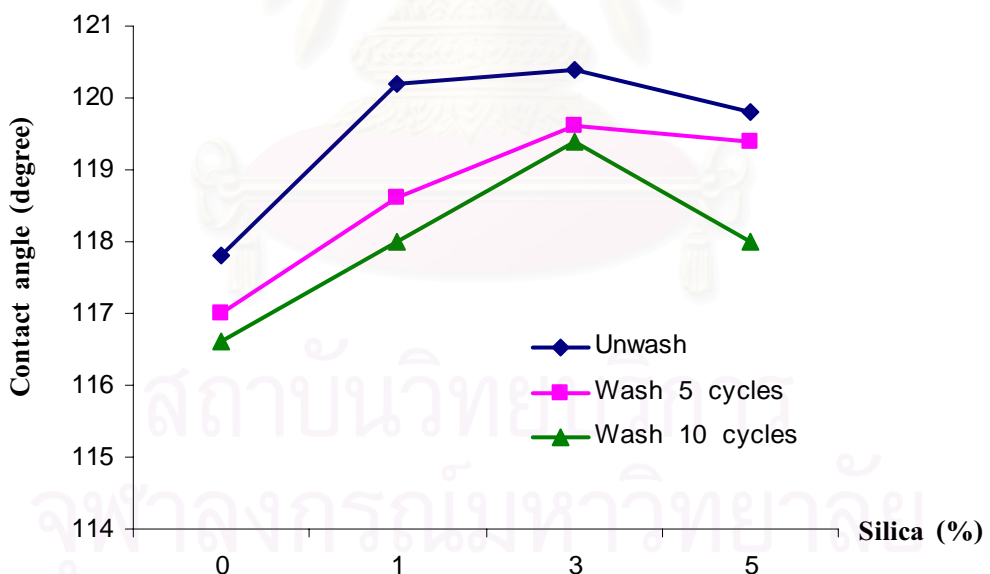
รูปที่ 4.12 มุมสัมผัสของน้ำบนผ้าไหมที่ผ่านการตกแต่งสะท้อนน้ำโดยการเคลือบอนุภาคชิลิกอนไดออกไซด์ที่ความเข้มข้นต่างๆ กับเอกซะเดคซิลไตรเมทอกซิซีเลนร้อยละ 5 ของน้ำหนักที่ภาชนะจัดต่างกัน

4.3 ความคงทนต่อการซักล้าง

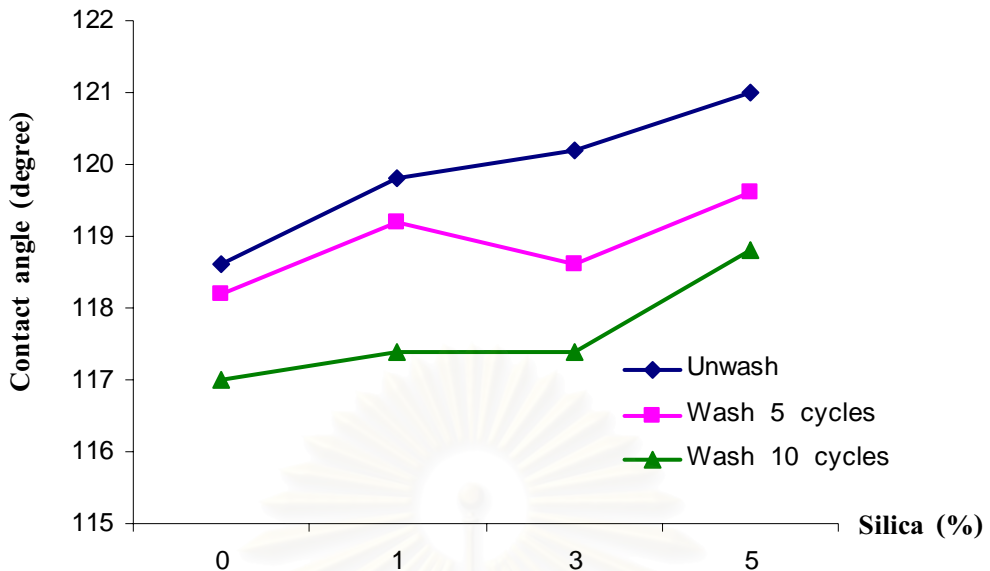
จากผลการทดลองความคงทนต่อการซักล้างแสดงดังรูปที่ 4.13-4.48 พบว่าผ้า (ผ้าฝ้ายและผ้าไหม) สะท้อนน้ำที่เตรียมได้จากการจุ่มอัดอนุภาคชิลิกอนโดยออกไซด์ที่เคลือบด้วยเอกซะเดคซิลไตรเมทอกซิซิเลนเมื่อนำไปทดสอบความคงทนต่อการซักล้าง 10 ครั้ง ผลที่ได้คือ มุ่มส้มผัสดของน้ำลดลงแต่อย่างไรก็ตามมุ่มส้มผัสดของน้ำก็สูงกว่า 90 องศา ยืนยันได้ว่าพื้นผิวน้ำยังมีสมบัติไม่ชอบน้ำอยู่ ตัวอย่างเช่น ภาระการทดลองที่ใช้ชิลิกอนโดยออกไซด์ร้อยละ 5 ของน้ำหนัก และเอกซะเดคซิลไตรเมทอกซิซิเลนร้อยละ 3 ของน้ำหนัก ปรับค่าพีเอชเท่ากับ 5 ด้วยกรดอะซิติกเป็นตัวเร่งปฏิกิริยา ก่อนทำการทดสอบการซักล้างทั้งผ้าฝ้ายและผ้าไหม มีมุ่มส้มผัสดของน้ำเท่ากับ 123 องศา ภายนหลังการซักล้าง 5 และ 10 ครั้ง พบว่ามุ่มส้มผัสดของน้ำบนผ้าฝ้ายลดลงเป็น 120.4 และ 119.6 องศา ตามลำดับ ส่วนผ้าไหมมุ่มส้มผัสดของน้ำลดลงเป็น 118.8 และ 115.2 องศา ตามลำดับ จึงกล่าวได้ว่าพื้นผิวผ้าฝ้ายมีสมบัติไม่ชอบน้ำและมีความคงทนต่อการซักล้าง เนื่องจากอนุภาคชิลิกอนโดยออกไซด์มีขนาดอนุภาคเล็กมาก ทำให้สามารถเกาะแนบติดอยู่กับเส้นใยจนดูเหมือนเป็นเนื้อดียวกัน นอกจากนี้ยังพบว่าผ้าที่เคลือบด้วยเอกซะเดคซิลไตรเมทอกซิซิเลนเพียงอย่างเดียวมีความคงทนต่อการซักล้างน้อยกว่าการเคลือบด้วยชิลิกอนโดยออกไซด์และเอกซะเดคซิลไตรเมทอกซิซิเลน ดังเช่นการเคลือบบนพื้นผิวผ้าด้วยเอกซะเดคซิลไตรเมทอกซิซิเลนร้อยละ 3 ของน้ำหนัก ปรับค่าพีเอชเท่ากับ 5 ด้วยกรดอะซิติกเป็นตัวเร่งปฏิกิริยา มุ่มส้มผัสดของน้ำบนผ้าฝ้ายเท่ากับ 120 องศา เมื่อนำไปทดสอบการซักล้างมีมุ่มส้มผัสดของน้ำเท่ากับ 118.9 และ 117.4 ตามลำดับ ส่วนผ้าไหมก่อนซักมีมุ่มส้มผัสดของน้ำ 116.8 องศา ภายนหลังการซักล้าง 5 และ 10 ครั้งลดลงเป็น 114.6 และ 113.2 ตามลำดับ โดยที่ภาระการทดลองดียวกันผ้าฝ้ายมีความคงทนต่อการซักดีกว่าผ้าไหม เพราะลักษณะพื้นผิวเส้นใยไหมเรียบมันและภาพตัดขวางของเส้นใยสามเหลี่ยมมุมมนจึงทำให้ออนุภาคนาโนชิลิกอนโดยออกไซด์หลุดลอกระหว่างการซักได้ง่ายกว่า เนื่องจากอนุภาคนาโนชิลิกอนโดยออกไซด์ที่เคลือบอยู่บนผ้าไม่ได้สร้างพันธะเคมีกับเส้นใย เพียงแต่เกาะแนบติดอยู่กับเส้นใยเท่านั้น ดังนั้นในการนำไปใช้งานจริง การตกแต่งจะห่อน้ำไว้ก่อนจะนำมาซักกับการตกแต่งสิ่งทอที่ไม่จำเป็นต้องผ่านการซักกับอย



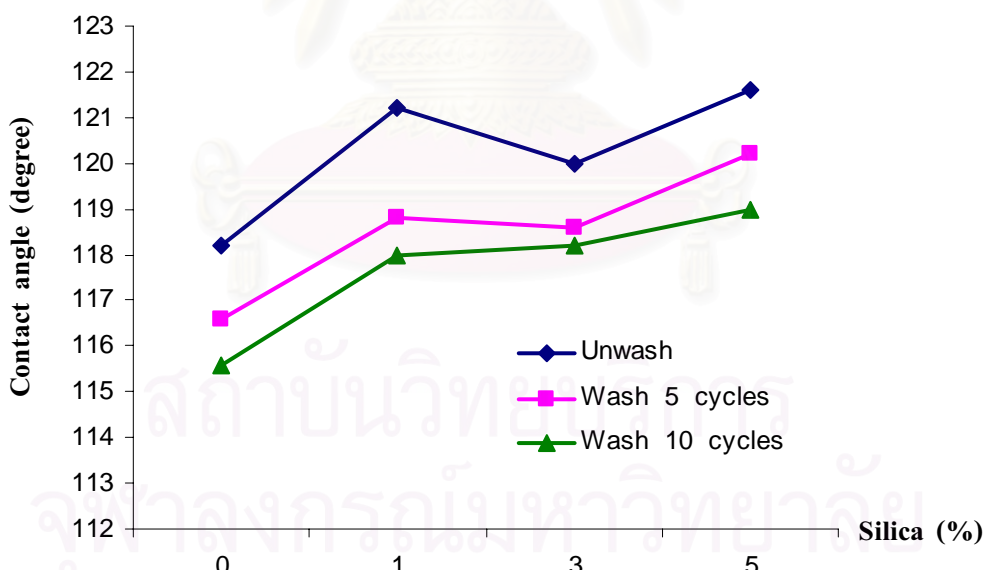
รูปที่ 4.13 มุมสัมผัสของน้ำบนผ้าฝ้ายภายหลังการซักล้างของผ้าที่ผ่านการตากแต่งสะท้อนน้ำโดยการเคลือบอนุภาคซิลิกอนไดออกไซด์ที่ความเข้มข้นต่างๆ กับเยกซะเดคซิลไตรเมทอกซีซิลีเคนร้อยละ 1 ของน้ำหนัก ปรับค่าพีเอช 5 ด้วยกรดไฮโดรคลอริก



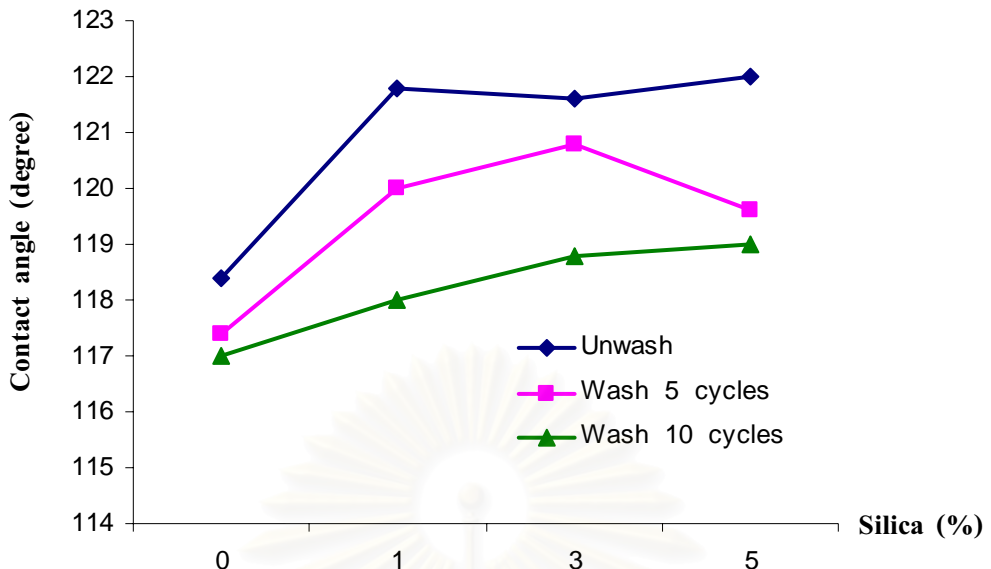
รูปที่ 4.14 มุมสัมผัสของน้ำบนผ้าฝ้ายภายหลังการซักล้างของผ้าที่ผ่านการตากแต่งสะท้อนน้ำโดยการเคลือบอนุภาคซิลิกอนไดออกไซด์ที่ความเข้มข้นต่างๆ กับเยกซะเดคซิลไตรเมทอกซีซิลีเคนร้อยละ 1 ของน้ำหนัก ปรับค่าพีเอช 4 ด้วยกรดไฮโดรคลอริก



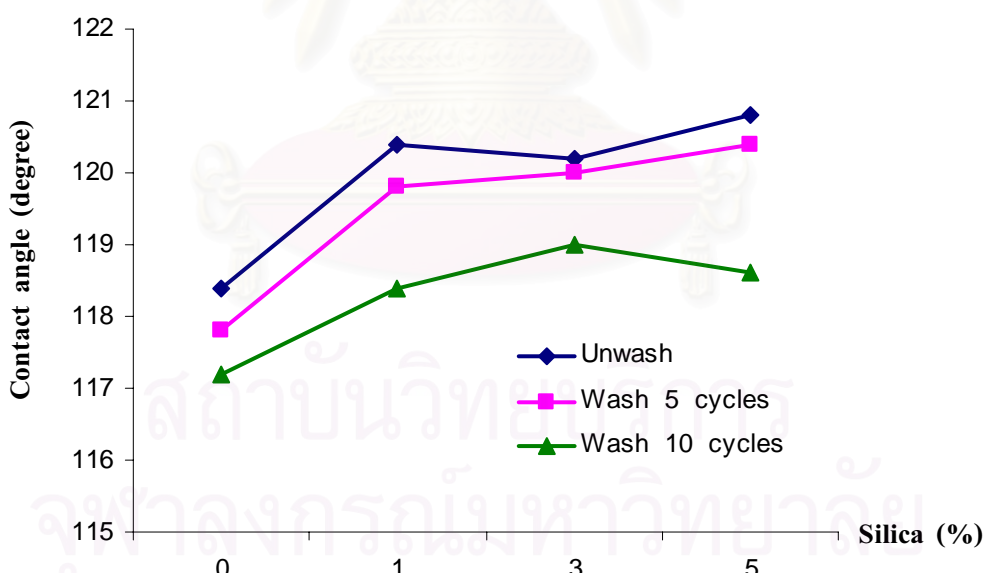
รูปที่ 4.15 มุมสัมผัสของน้ำบนผ้าฝ้ายภายหลังการซักล้างของผ้าที่ผ่านการตากแต่งสะท้อนน้ำโดยการเคลือบอนุภาคซิลิกอนไดออกไซด์ที่ความเข้มข้นต่างๆ กับเอกซ์เดคซิลไตรามทอกซีซิลีเคนร้อยละ 1 ของน้ำหนัก ปรับค่าพีเอช 3 ด้วยกรดไฮโดรคลอริก



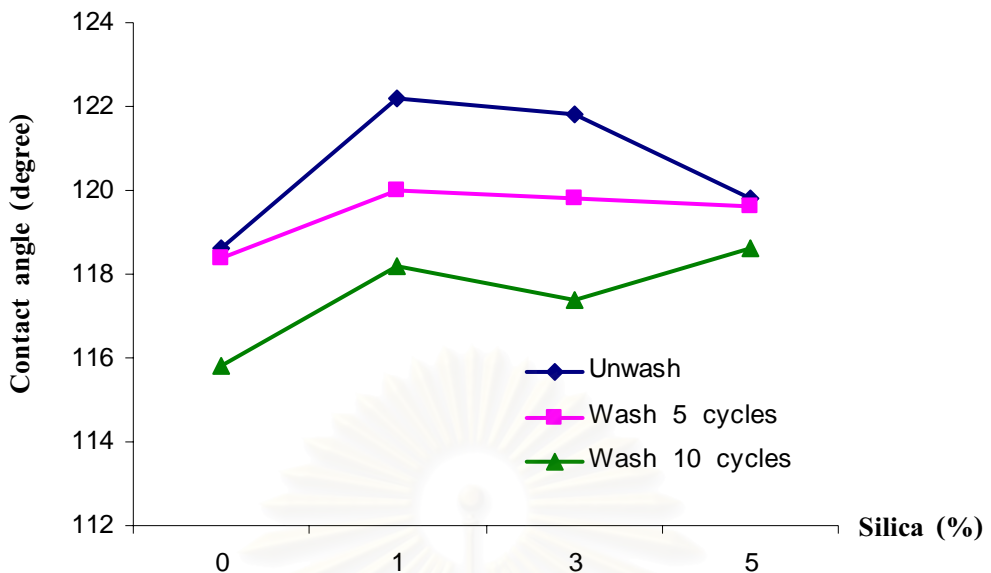
รูปที่ 4.16 มุมสัมผัสของน้ำบนผ้าฝ้ายภายหลังการซักล้างของผ้าที่ผ่านการตากแต่งสะท้อนน้ำโดยการเคลือบอนุภาคซิลิกอนไดออกไซด์ที่ความเข้มข้นต่างๆ กับเอกซ์เดคซิลไตรามทอกซีซิลีเคนร้อยละ 3 ของน้ำหนัก ปรับค่าพีเอช 5 ด้วยกรดไฮโดรคลอริก



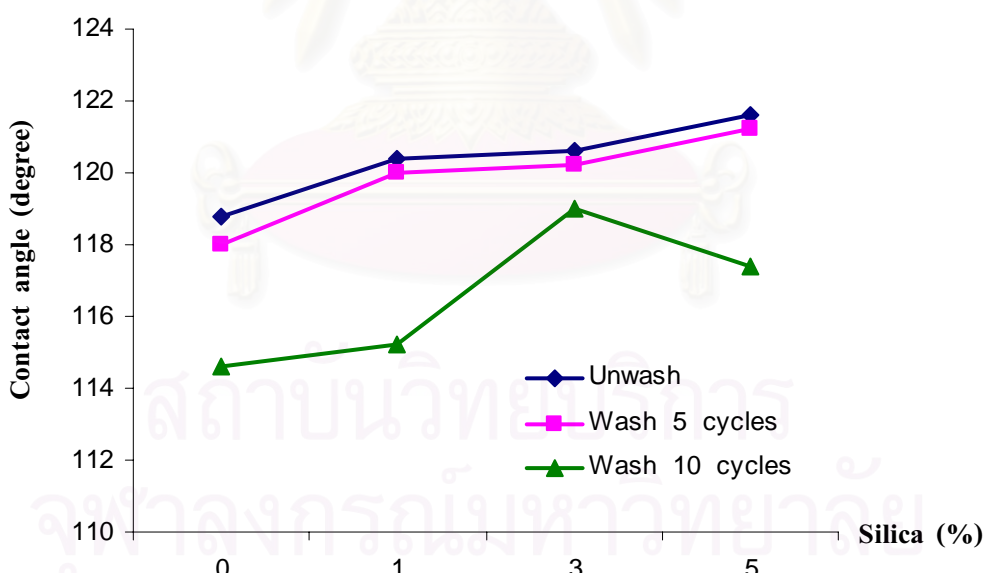
รูปที่ 4.17 มุมสัมผัสของน้ำบนผ้าฝ้ายภายหลังการซักล้างของผ้าที่ผ่านการตากแต่งสะท้อนน้ำโดยการเคลือบอนุภาคซิลิกอนไดออกไซด์ที่ความเข้มข้นต่างๆ กับเอกซ์เดคซิลไตรเมทอกซีซิลีเคนร้อยละ 3 ของน้ำหนัก ปรับค่าพีเอช 4 ด้วยกรดไฮโดรคลอริก



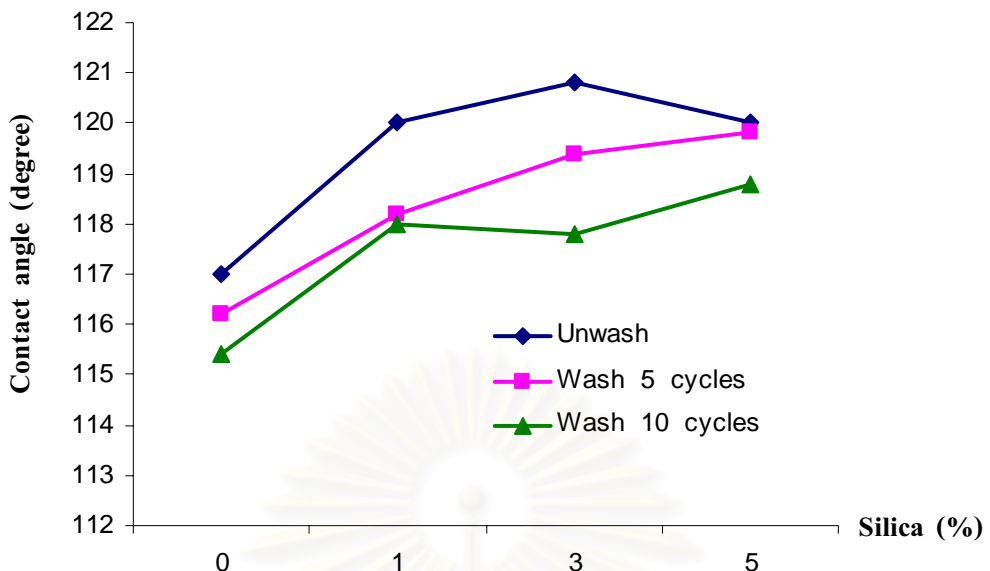
รูปที่ 4.18 มุมสัมผัสของน้ำบนผ้าฝ้ายภายหลังการซักล้างของผ้าที่ผ่านการตากแต่งสะท้อนน้ำโดยการเคลือบอนุภาคซิลิกอนไดออกไซด์ที่ความเข้มข้นต่างๆ กับเอกซ์เดคซิลไตรเมทอกซีซิลีเคนร้อยละ 3 ของน้ำหนัก ปรับค่าพีเอช 3 ด้วยกรดไฮโดรคลอริก



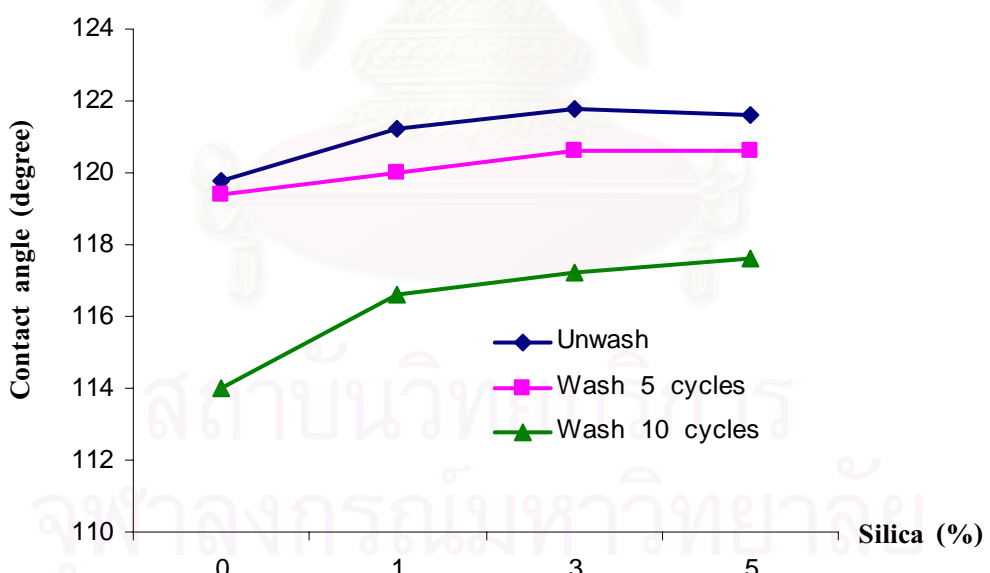
รูปที่ 4.19 มุมสัมผัสของน้ำบนผ้าฝ้ายภายหลังการซักล้างของผ้าที่ผ่านการตากแต่งสะท้อนน้ำโดยการเคลือบอนุภาคซิลิกอนไดออกไซด์ที่ความเข้มข้นต่างๆ กับเอกซ์เดคซิลไตรเมทอกซีซิลิเคนร้อยละ 5 ของน้ำหนัก ปรับค่าพีเอช 5 ด้วยกรดไฮโดรคลอริก



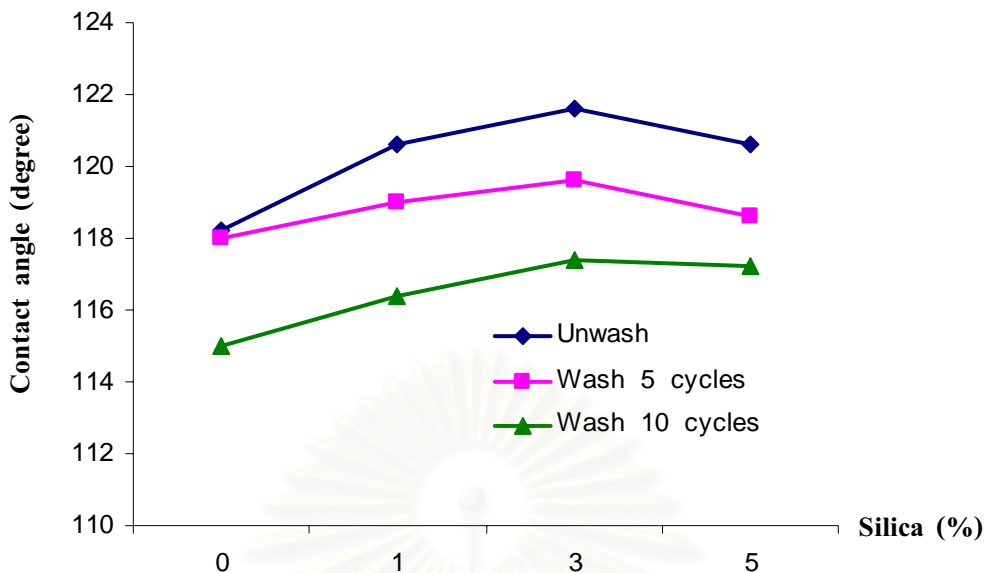
รูปที่ 4.20 มุมสัมผัสของน้ำบนผ้าฝ้ายภายหลังการซักล้างของผ้าที่ผ่านการตากแต่งสะท้อนน้ำโดยการเคลือบอนุภาคซิลิกอนไดออกไซด์ที่ความเข้มข้นต่างๆ กับเอกซ์เดคซิลไตรเมทอกซีซิลิเคนร้อยละ 5 ของน้ำหนัก ปรับค่าพีเอช 4 ด้วยกรดไฮโดรคลอริก



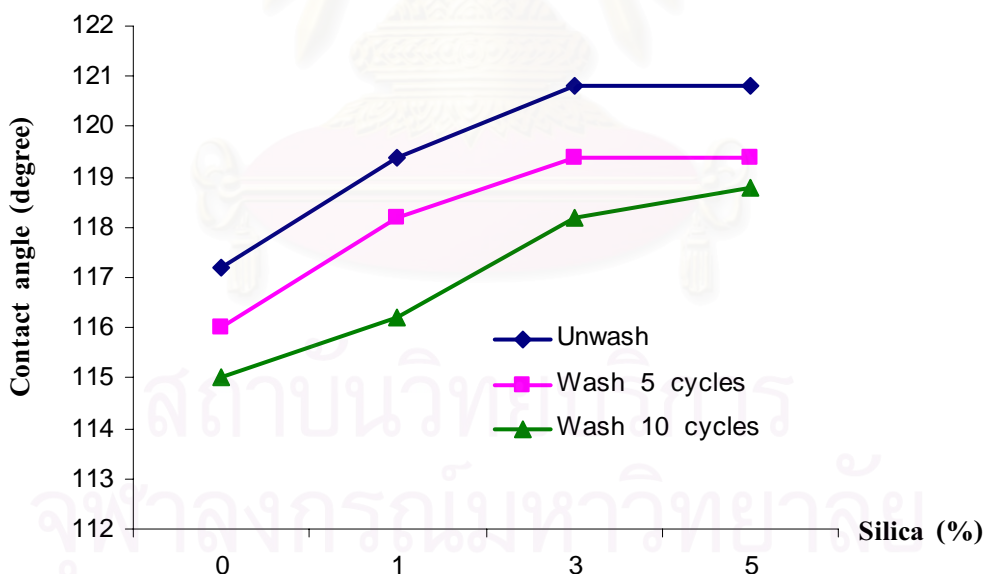
รูปที่ 4.21 มุมสัมผัสของน้ำบนผ้าฝ้ายภายหลังการซักล้างของผ้าที่ผ่านการตากแต่งสะท้อนน้ำโดยการเคลือบอนุภาคซิลิกอนไดออกไซด์ที่ความเข้มข้นต่างๆ กับเอกซ์เดคซิลไตรามทอกซีซิลเคนร้อยละ 5 ของน้ำหนัก ปรับค่าพีเอช 3 ด้วยกรดไฮโดรคลอริก



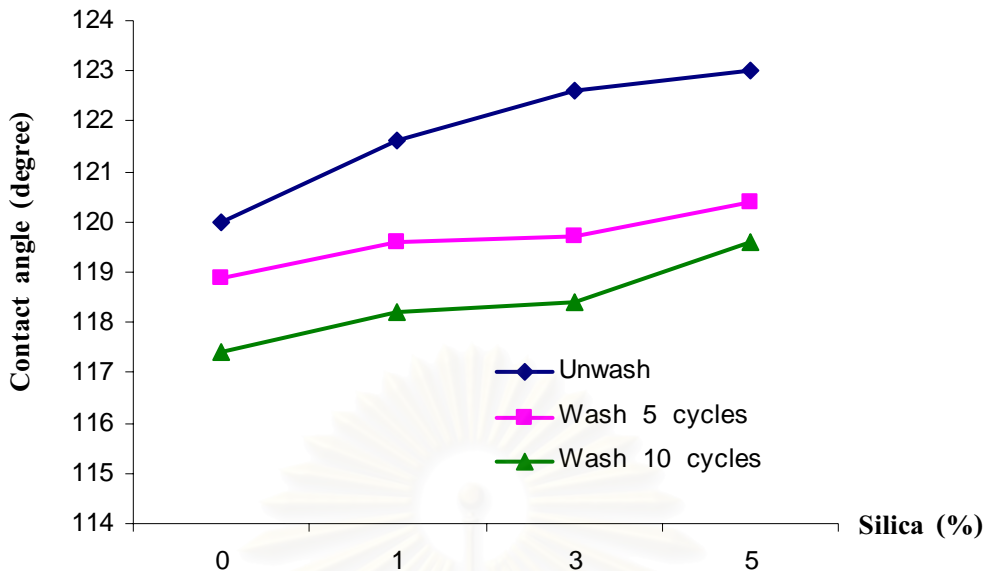
รูปที่ 4.22 มุมสัมผัสของน้ำบนผ้าฝ้ายภายหลังการซักล้างของผ้าที่ผ่านการตากแต่งสะท้อนน้ำโดยการเคลือบอนุภาคซิลิกอนไดออกไซด์ที่ความเข้มข้นต่างๆ กับเอกซ์เดคซิลไตรามทอกซีซิลเ肯ร้อยละ 1 ของน้ำหนัก ปรับค่าพีเอช 5 ด้วยกรดอะซิติก



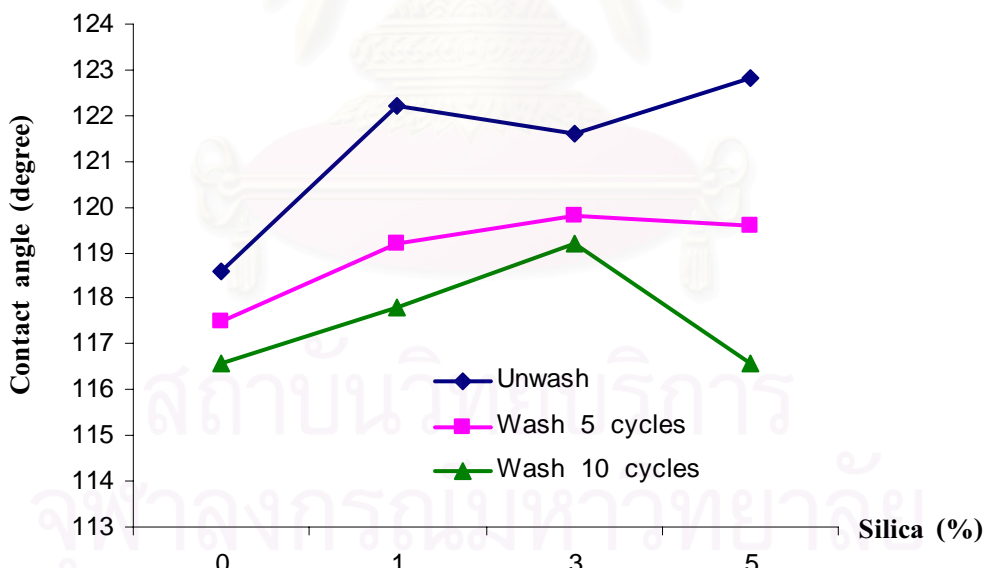
รูปที่ 4.23 มุมสัมผัสของน้ำบนผ้าฝ้ายภายหลังการซักล้างของผ้าที่ผ่านการตากแต่งสะท้อนน้ำโดยการเคลือบอนุภาคซิลิกอนไดออกไซด์ที่ความเข้มข้นต่างๆ กับเอกซ์เดคซิลไตรเมทอกซีซิลีเคนร้อยละ 1 ของน้ำหนัก ปรับค่าพีเอช 4 ด้วยกรดอะซิติก



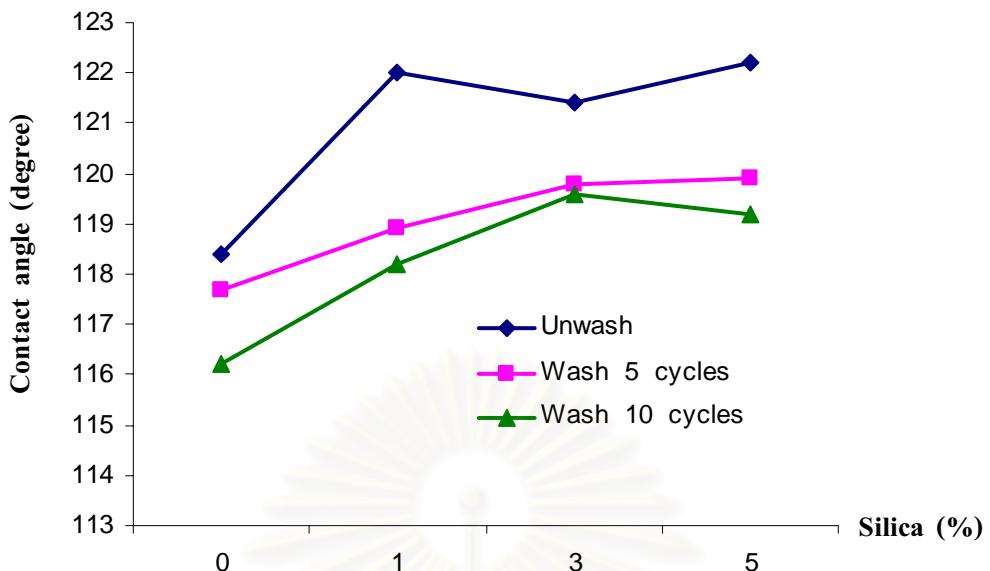
รูปที่ 4.24 มุมสัมผัสของน้ำบนผ้าฝ้ายภายหลังการซักล้างของผ้าที่ผ่านการตากแต่งสะท้อนน้ำโดยการเคลือบอนุภาคซิลิกอนไดออกไซด์ที่ความเข้มข้นต่างๆ กับเอกซ์เดคซิลไตรเมทอกซีซิลีเคนร้อยละ 1 ของน้ำหนัก ปรับค่าพีเอช 3 ด้วยกรดอะซิติก



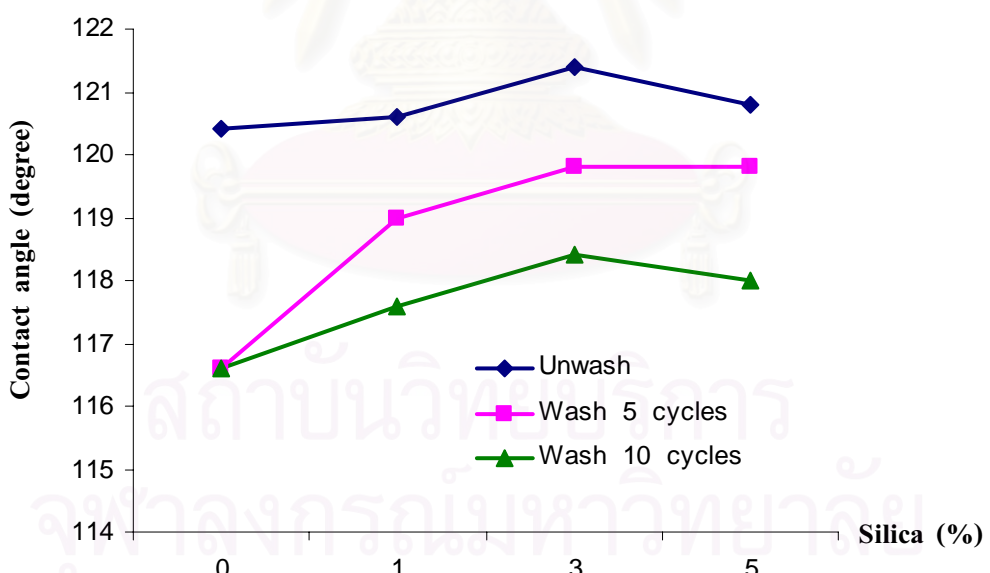
รูปที่ 4.25 มุมสัมผัสของน้ำบนผ้าฝ้ายภายหลังการซักล้างของผ้าที่ผ่านการตากแต่งสะท้อนน้ำโดยการเคลือบอนุภาคซิลิกอนไดออกไซด์ที่ความเข้มข้นต่างๆ กับเอกซ์เดคซิลไตรเมทอกซีซิลีเคนร้อยละ 3 ของน้ำหนัก ปรับค่าพีเอช 5 ด้วยกรดอะซิติก



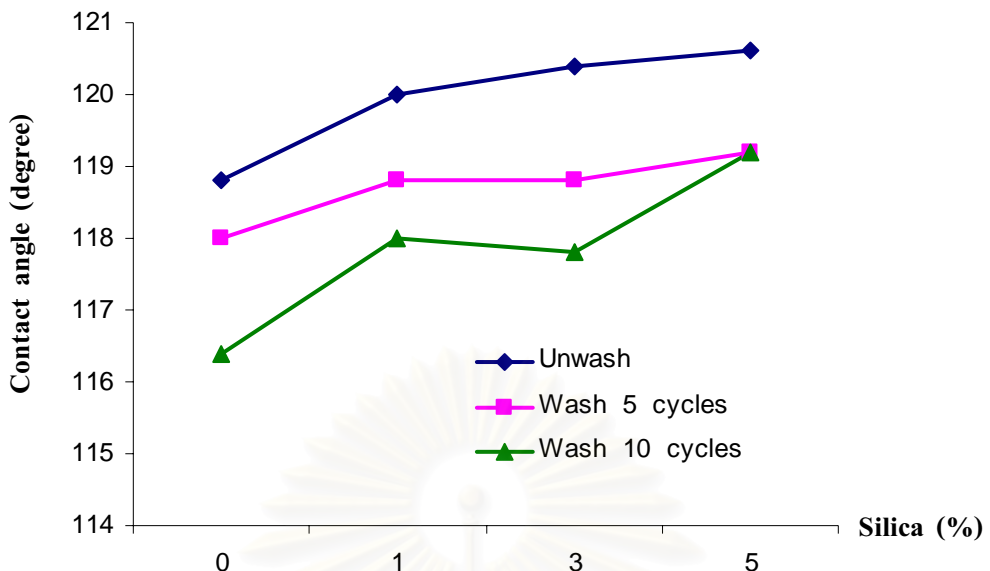
รูปที่ 4.26 มุมสัมผัสของน้ำบนผ้าฝ้ายภายหลังการซักล้างของผ้าที่ผ่านการตากแต่งสะท้อนน้ำโดยการเคลือบอนุภาคซิลิกอนไดออกไซด์ที่ความเข้มข้นต่างๆ กับเอกซ์เดคซิลไตรเมทอกซีซิลีเคนร้อยละ 3 ของน้ำหนัก ปรับค่าพีเอช 4 ด้วยกรดอะซิติก



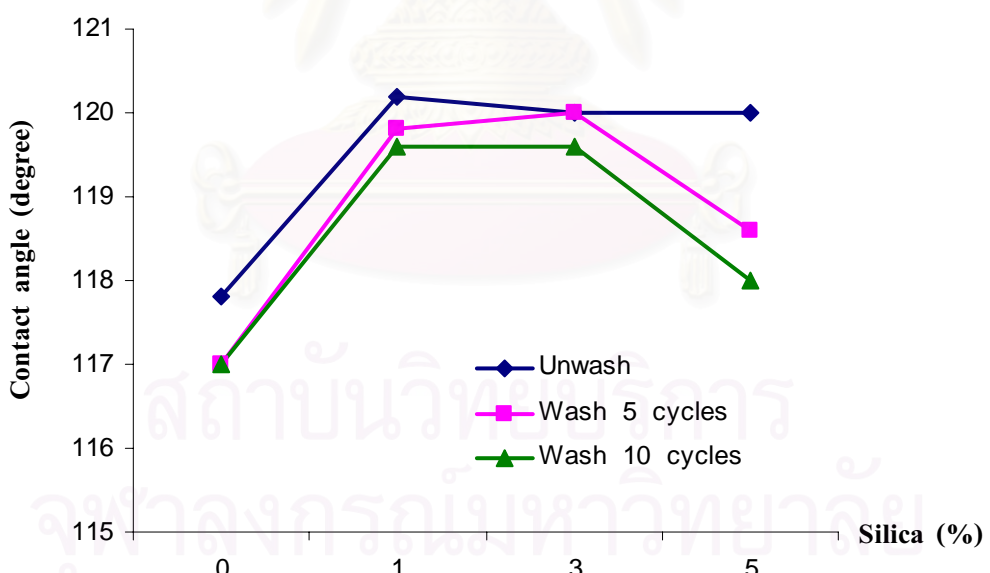
รูปที่ 4.27 มุมสัมผัสของน้ำบนผ้าฝ้ายภายหลังการซักล้างของผ้าที่ผ่านการตากแต่งสะท้อนน้ำโดยการเคลือบอนุภาคซิลิกอนไดออกไซด์ที่ความเข้มข้นต่างๆ กับเอกซ์เดคซิลไตรเมทอกซีซิลีเคนร้อยละ 3 ของน้ำหนัก ปรับค่าพีเอช 3 ด้วยกรดอะซิติก



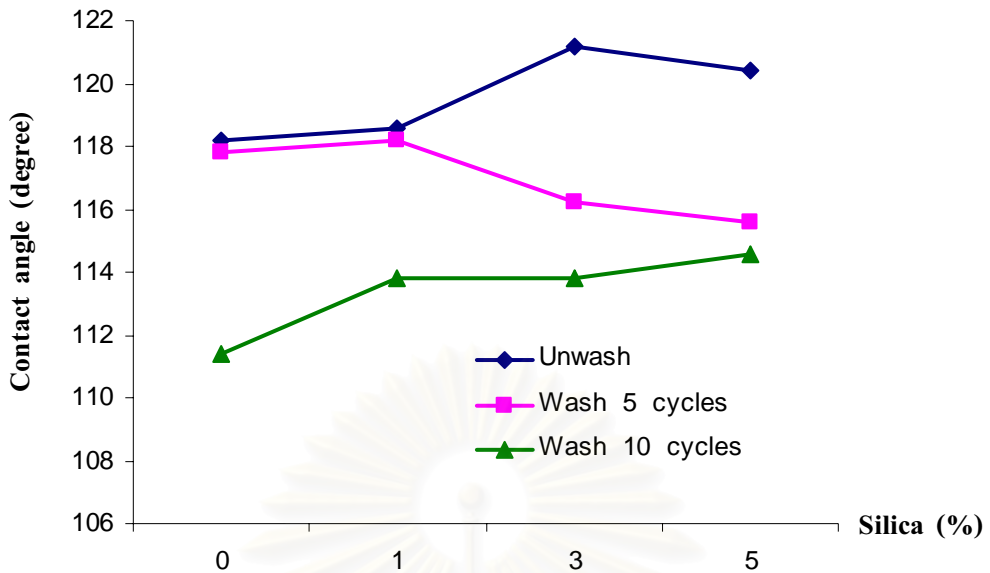
รูปที่ 4.28 มุมสัมผัสของน้ำบนผ้าฝ้ายภายหลังการซักล้างของผ้าที่ผ่านการตากแต่งสะท้อนน้ำโดยการเคลือบอนุภาคซิลิกอนไดออกไซด์ที่ความเข้มข้นต่างๆ กับเอกซ์เดคซิลไตรเมทอกซีซิลีเคนร้อยละ 5 ของน้ำหนัก ปรับค่าพีเอช 5 ด้วยกรดอะซิติก



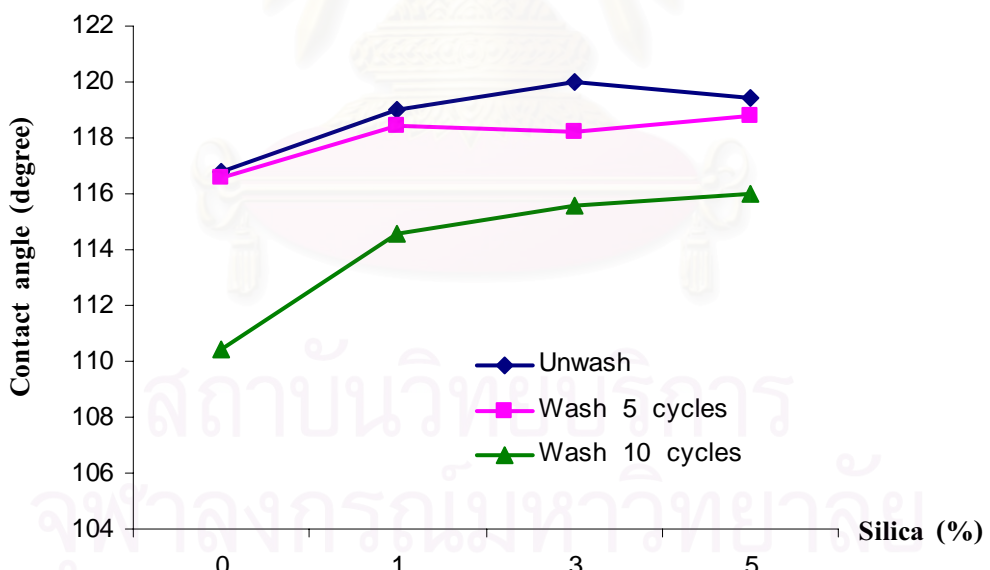
รูปที่ 4.29 มุมสัมผัสของน้ำบนผ้าฝ้ายภายหลังการซักล้างของผ้าที่ผ่านการตากแต่งสะท้อนน้ำโดยการเคลือบอนุภาคซิลิกอนไดออกไซด์ที่ความเข้มข้นต่างๆ กับเอกซ์เดคซิลไตรามทอกซีซิลีนร้อยละ 5 ของน้ำหนัก ปรับค่าพีเอช 4 ด้วยกรดอะซิติก



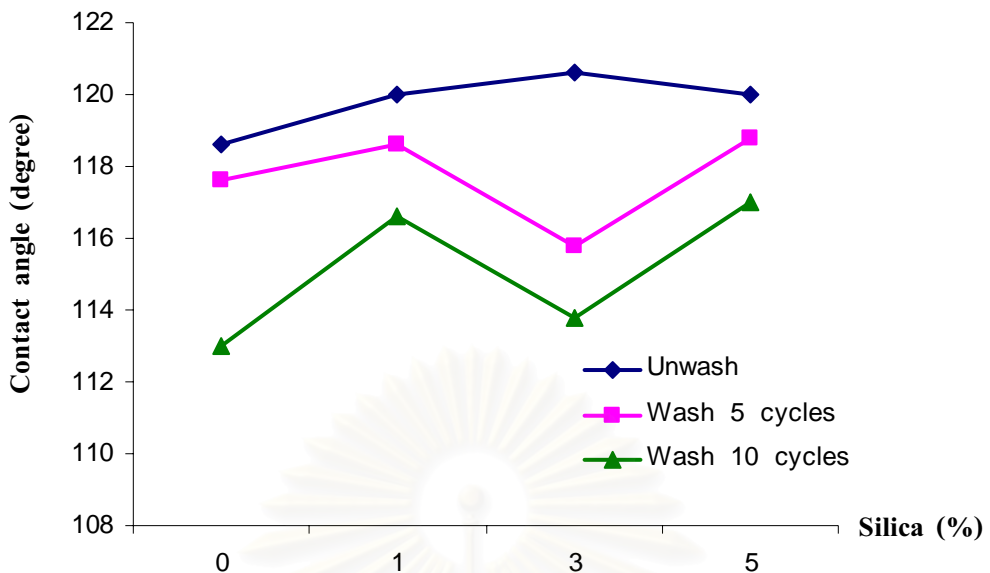
รูปที่ 4.30 มุมสัมผัสของน้ำบนผ้าฝ้ายภายหลังการซักล้างของผ้าที่ผ่านการตากแต่งสะท้อนน้ำโดยการเคลือบอนุภาคซิลิกอนไดออกไซด์ที่ความเข้มข้นต่างๆ กับเอกซ์เดคซิลไตรามทอกซีซิลีนร้อยละ 5 ของน้ำหนัก ปรับค่าพีเอช 3 ด้วยกรดอะซิติก



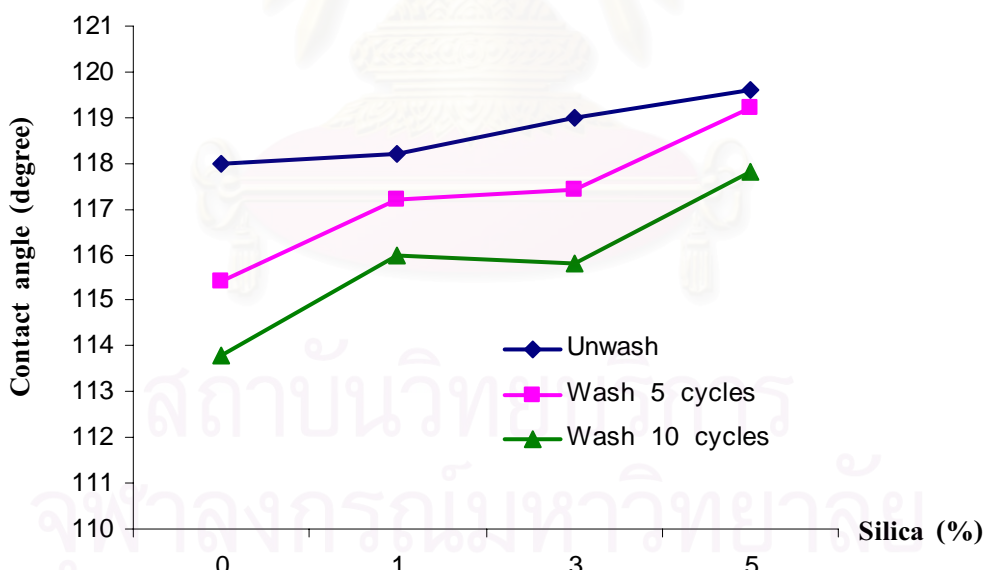
รูปที่ 4.31 มุมสัมผัสของน้ำบนผ้าไนลอนภายหลังการซักล้างของผ้าที่ผ่านการตากแต่งสะท้อนน้ำโดยการเคลือบอนุภาคซิลิกอนไดออกไซด์ที่ความเข้มข้นต่างๆ กับเยกซะเดคซิลไตรเมทธอกซีซิลเคนร้อยละ 1 ของน้ำหนัก ปรับค่าพีเอช 5 ด้วยกรดไฮโดรคลอริก



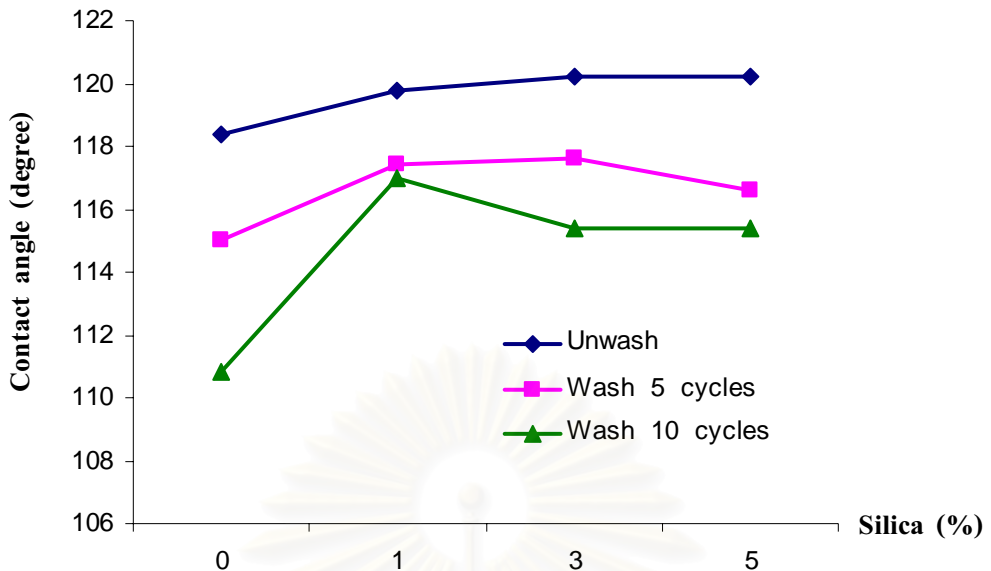
รูปที่ 4.32 มุมสัมผัสของน้ำบนผ้าไนลอนภายหลังการซักล้างของผ้าที่ผ่านการตากแต่งสะท้อนน้ำโดยการเคลือบอนุภาคซิลิกอนไดออกไซด์ที่ความเข้มข้นต่างๆ กับเยกซะเดคซิลไตรเมทธอกซีซิลเ肯ร้อยละ 1 ของน้ำหนัก ปรับค่าพีเอช 4 ด้วยกรดไฮโดรคลอริก



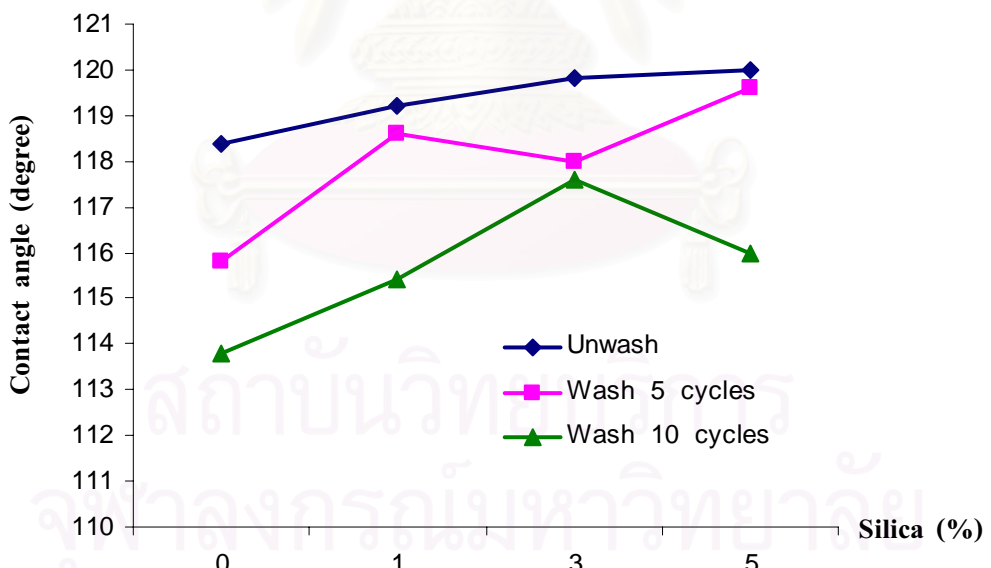
รูปที่ 4.33 มุมสัมผัสของน้ำบนผ้าไนลอนภายหลังการซักล้างของผ้าที่ผ่านการตากแต่งสะท้อนน้ำโดยการเคลือบอนุภาคซิลิกอนไดออกไซด์ที่ความเข้มข้นต่างๆ กับเอกซ์เดคซิลไตรเมทธอกซีซิลเคนร้อยละ 1 ของน้ำหนัก ปรับค่าพีเอช 3 ด้วยกรดไฮโดรคลอริก



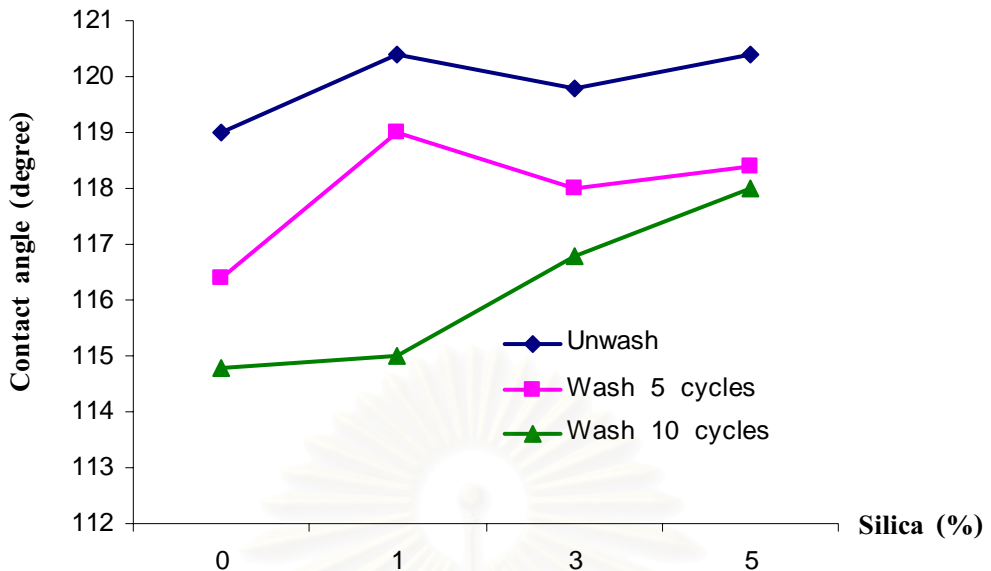
รูปที่ 4.34 มุมสัมผัสของน้ำบนผ้าไนลอนภายหลังการซักล้างของผ้าที่ผ่านการตากแต่งสะท้อนน้ำโดยการเคลือบอนุภาคซิลิกอนไดออกไซด์ที่ความเข้มข้นต่างๆ กับเอกซ์เดคซิลไตรเมทธอกซีซิลเ肯ร้อยละ 3 ของน้ำหนัก ปรับค่าพีเอช 5 ด้วยกรดไฮโดรคลอริก



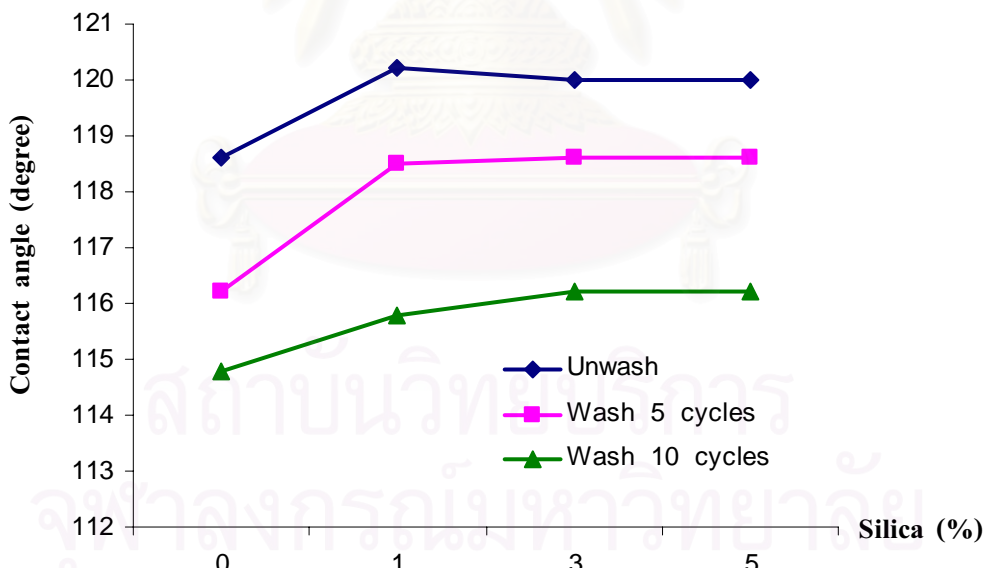
รูปที่ 4.35 มุมสัมผัสของน้ำบนผ้าไนลอนภายหลังการซักล้างของผ้าที่ผ่านการตากแต่งสะท้อนน้ำโดยการเคลือบอนุภาคซิลิกอนไดออกไซด์ที่ความเข้มข้นต่างๆ กับเอกซ์เดคซิลไตรเมทธอกซีซิลเคนร้อยละ 3 ของน้ำหนัก ปรับค่าพีเอช 4 ด้วยกรดไฮโดรคลอริก



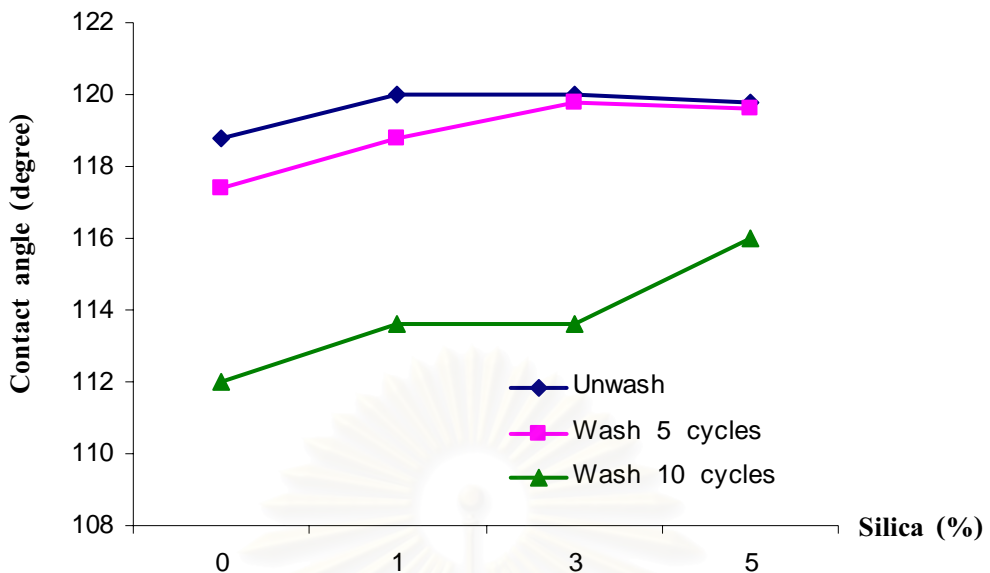
รูปที่ 4.36 มุมสัมผัสของน้ำบนผ้าไนลอนภายหลังการซักล้างของผ้าที่ผ่านการตากแต่งสะท้อนน้ำโดยการเคลือบอนุภาคซิลิกอนไดออกไซด์ที่ความเข้มข้นต่างๆ กับเอกซ์เดคซิลไตรเมทธอกซีซิลเ肯ร้อยละ 3 ของน้ำหนัก ปรับค่าพีเอช 3 ด้วยกรดไฮโดรคลอริก



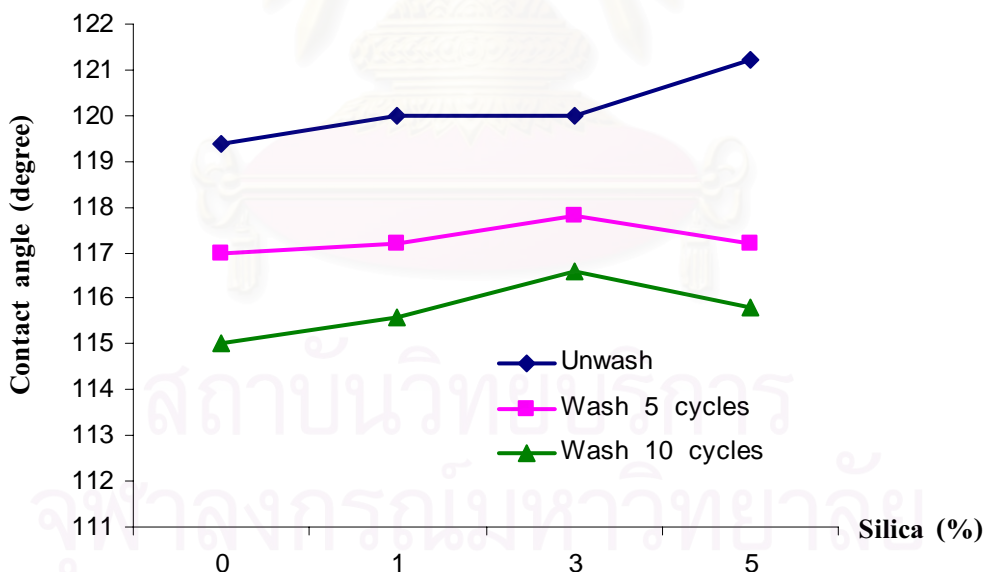
รูปที่ 4.37 มุมสัมผัสของน้ำบนผ้าไนลอนภายหลังการซักล้างของผ้าที่ผ่านการตากแต่งสะท้อนน้ำโดยการเคลือบอนุภาคซิลิกอนไดออกไซด์ที่ความเข้มข้นต่างๆ กับเอกซ์เดคซิลไตรเมทอกซีซิลีเคนร้อยละ 5 ของน้ำหนัก ปรับค่าพีเอช 5 ด้วยกรดไฮโดรคลอริก



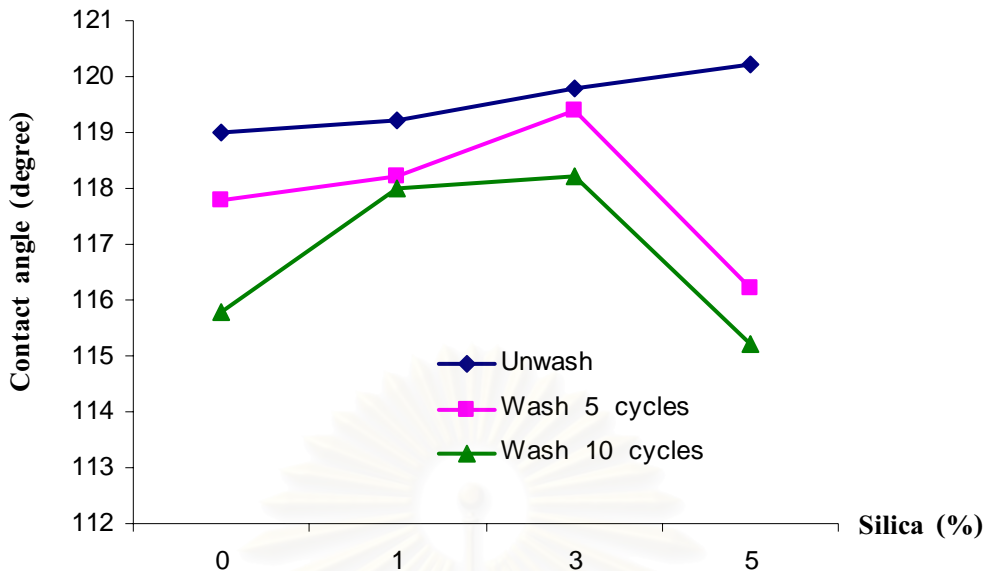
รูปที่ 4.38 มุมสัมผัสของน้ำบนผ้าไนลอนภายหลังการซักล้างของผ้าที่ผ่านการตากแต่งสะท้อนน้ำโดยการเคลือบอนุภาคซิลิกอนไดออกไซด์ที่ความเข้มข้นต่างๆ กับเอกซ์เดคซิลไตรเมทอกซีซิลีเคนร้อยละ 5 ของน้ำหนัก ปรับค่าพีเอช 4 ด้วยกรดไฮโดรคลอริก



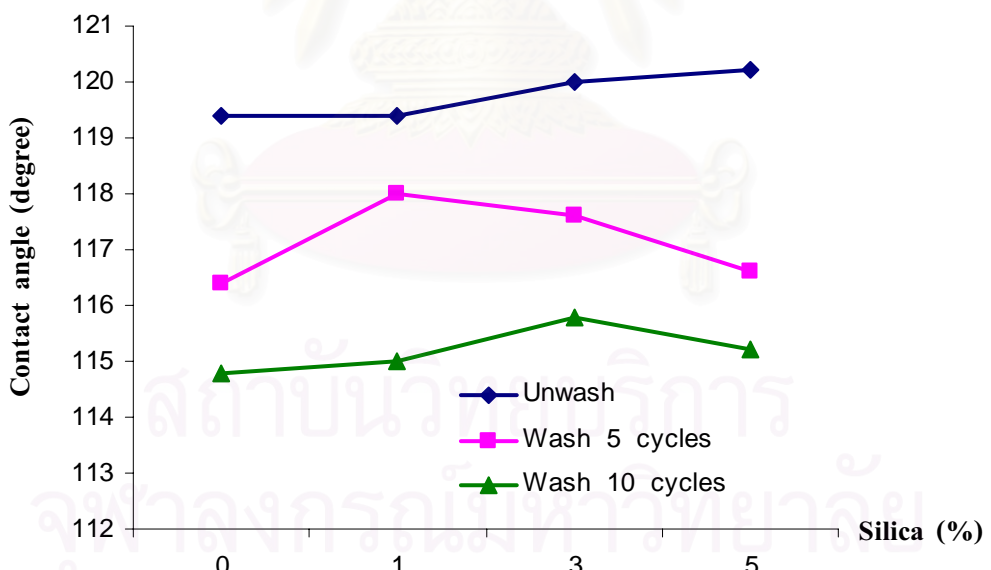
รูปที่ 4.39 มุมสัมผัสของน้ำบนผ้าไนลอนภายหลังการซักล้างของผ้าที่ผ่านการตากแต่งสะท้อนน้ำโดยการเคลือบอนุภาคซิลิกอนไดออกไซด์ที่ความเข้มข้นต่างๆ กับเอกซ์เดคซิลไตรเมทธอกซีซิลเคนร้อยละ 5 ของน้ำหนัก ปรับค่าพีเอช 3 ด้วยกรดไฮโดรคลอริก



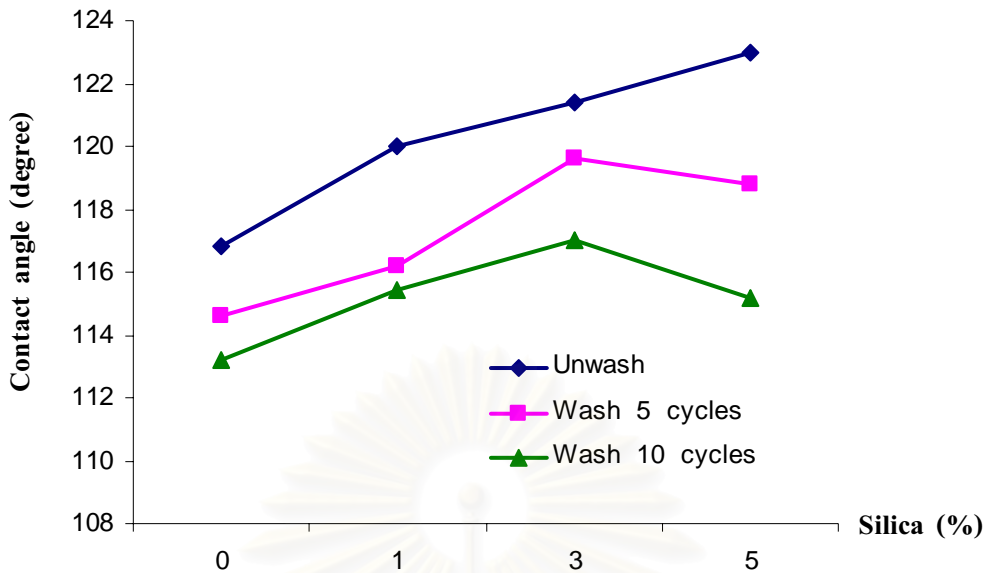
รูปที่ 4.40 มุมสัมผัสของน้ำบนผ้าไนลอนภายหลังการซักล้างของผ้าที่ผ่านการตากแต่งสะท้อนน้ำโดยการเคลือบอนุภาคซิลิกอนไดออกไซด์ที่ความเข้มข้นต่างๆ กับเอกซ์เดคซิลไตรเมทธอกซีซิลเ肯ร้อยละ 1 ของน้ำหนัก ปรับค่าพีเอช 5 ด้วยกรดอะซิติก



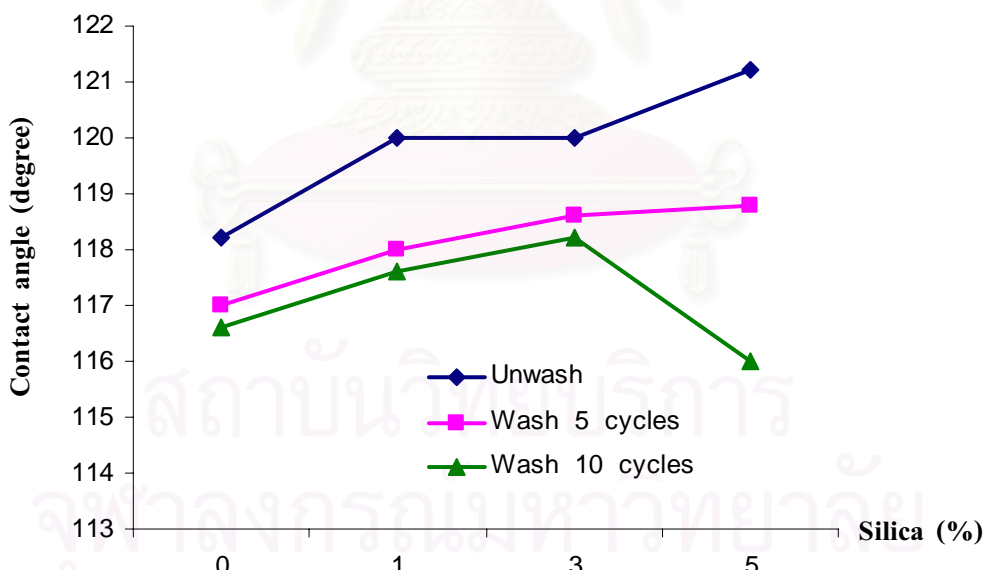
รูปที่ 4.41 มุมสัมผัสของน้ำบนผ้าไนลอนภายหลังการซักล้างของผ้าที่ผ่านการตากแต่งสะท้อนน้ำโดยการเคลือบอนุภาคซิลิกอนไดออกไซด์ที่ความเข้มข้นต่างๆ กับเอกซ์เดคซิลไตรเมทอกซีซิลีเคนร้อยละ 1 ของน้ำหนัก ปรับค่าพีเอช 4 ด้วยกรดอะซิติก



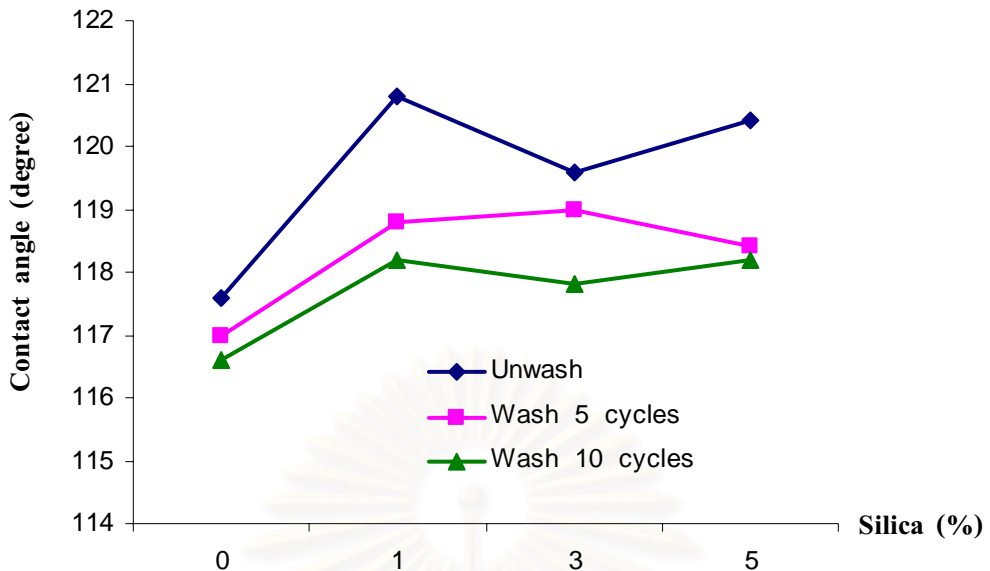
รูปที่ 4.42 มุมสัมผัสของน้ำบนผ้าไนลอนภายหลังการซักล้างของผ้าที่ผ่านการตากแต่งสะท้อนน้ำโดยการเคลือบอนุภาคซิลิกอนไดออกไซด์ที่ความเข้มข้นต่างๆ กับเอกซ์เดคซิลไตรเมทอกซีซิลีเคนร้อยละ 1 ของน้ำหนัก ปรับค่าพีเอช 3 ด้วยกรดอะซิติก



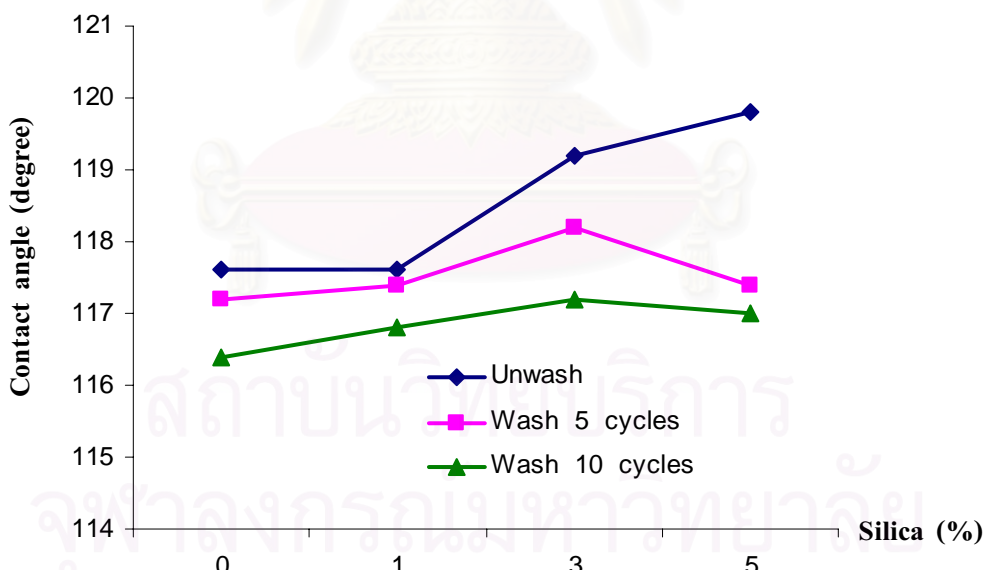
รูปที่ 4.43 มุมสัมผัสของน้ำบนผ้าไนลอนภายหลังการซักล้างของผ้าที่ผ่านการตากแต่งสะท้อนน้ำโดยการเคลือบอนุภาคซิลิกอนไดออกไซด์ที่ความเข้มข้นต่างๆ กับเอกซ์เดคซิลไตรเมทธอกซีซิลีเคนร้อยละ 3 ของน้ำหนัก ปรับค่าพีเอช 5 ด้วยกรดอะซิติก



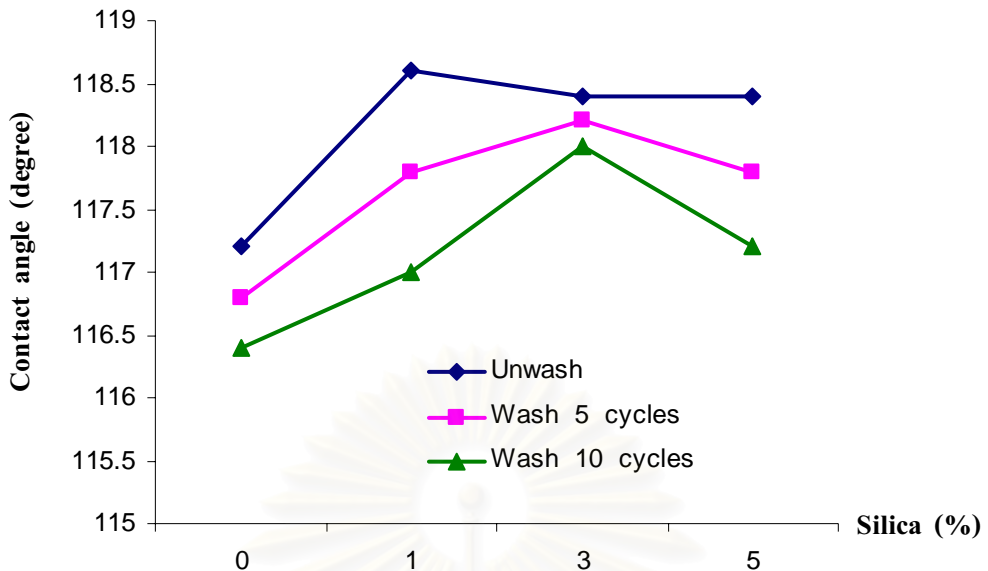
รูปที่ 4.44 มุมสัมผัสของน้ำบนผ้าไนลอนภายหลังการซักล้างของผ้าที่ผ่านการตากแต่งสะท้อนน้ำโดยการเคลือบอนุภาคซิลิกอนไดออกไซด์ที่ความเข้มข้นต่างๆ กับเอกซ์เดคซิลไตรเมทธอกซีซิลีเคนร้อยละ 3 ของน้ำหนัก ปรับค่าพีเอช 4 ด้วยกรดอะซิติก



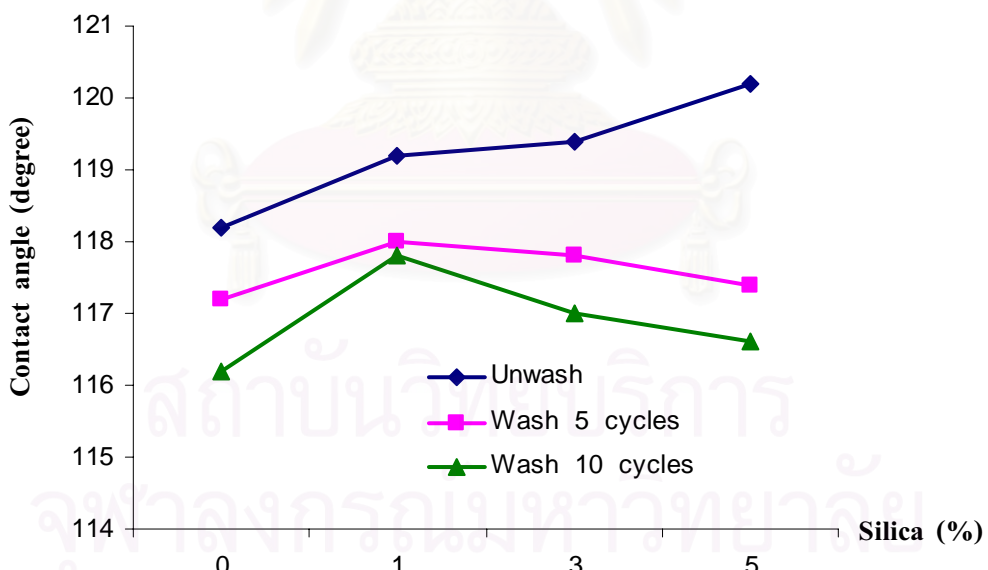
รูปที่ 4.45 มุมสัมผัสของน้ำบนผ้าไนลอนภายหลังการซักล้างของผ้าที่ผ่านการตากแต่งสะท้อนน้ำโดยการเคลือบอนุภาคซิลิกอนไดออกไซด์ที่ความเข้มข้นต่างๆ กับเอกซ์เดคซิลไตรเมทธอกซีซิลเคนร้อยละ 3 ของน้ำหนัก ปรับค่าพีเอช 3 ด้วยกรดอะซิติก



รูปที่ 4.46 มุมสัมผัสของน้ำบนผ้าไนลอนภายหลังการซักล้างของผ้าที่ผ่านการตากแต่งสะท้อนน้ำโดยการเคลือบอนุภาคซิลิกอนไดออกไซด์ที่ความเข้มข้นต่างๆ กับเอกซ์เดคซิลไตรเมทธอกซีซิลเ肯ร้อยละ 5 ของน้ำหนัก ปรับค่าพีเอช 5 ด้วยกรดอะซิติก



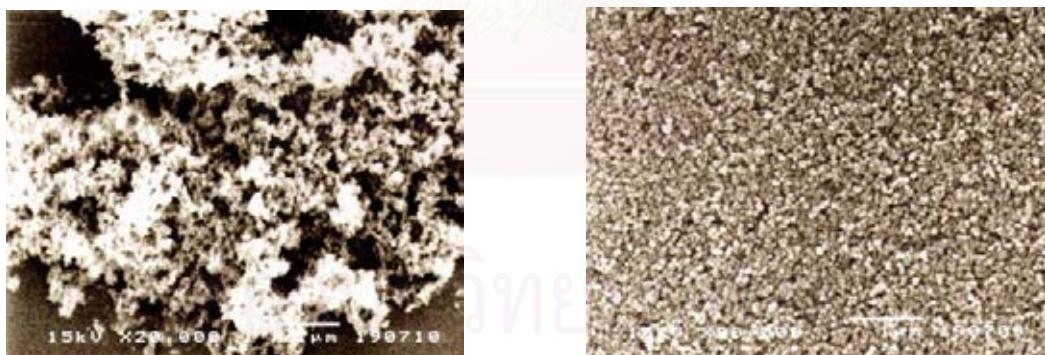
รูปที่ 4.47 มุมสัมผัสของน้ำบนผ้าไหมภายในหลังการซักล้างของผ้าที่ผ่านการตากแต่งสะท้อนน้ำโดยการเคลือบอนุภาคซิลิกอนไดออกไซด์ที่ความเข้มข้นต่างๆ กับเอกซ์เดคซิลไตรเมทธอกซีซิลีนร้อยละ 5 ของน้ำหนัก ปรับค่าพีเอช 4 ด้วยกรดอะซิติก



รูปที่ 4.48 มุมสัมผัสของน้ำบนผ้าไหมภายในหลังการซักล้างของผ้าที่ผ่านการตากแต่งสะท้อนน้ำโดยการเคลือบอนุภาคซิลิกอนไดออกไซด์ที่ความเข้มข้นต่างๆ กับเอกซ์เดคซิลไตรเมทธอกซีซิลีนร้อยละ 5 ของน้ำหนัก ปรับค่าพีเอช 3 ด้วยกรดอะซิติก

4.4 ลักษณะทางสัณฐานวิทยาพื้นผิวของผ้า

จากการทดลองทำการจุ่มอัดอนุภาคซิลิกอนไดออกไซด์ลงบนผ้า (ผ้าฝ้ายและผ้าไหม) หลังจากนั้นทำการเคลือบด้วยสารเอกซะเดคซิลไตรเมทอกซีซิเลนโดยอาศัยปฏิกิริยาโซลเจล ทำให้ผ้ามีความชุกรามากขึ้นและเนื่องจากอนุภาคเหล่านี้ถูกเคลือบด้วยสารไม่ชอบน้ำจึงทำให้ผ้ามีสมบัติและลักษณะพื้นผิวคล้ายกับผ้าใบปัว ข้อดีของการดัดแปลงด้วยเทคนิคนี้อย่างหนึ่งคือจะไม่เกิดฟิล์มเคลือบเหมือนการตกแต่งด้วยวิธีการเคลือบผิว (coating) ซึ่งจะเกิดฟิล์มเคลือบผิวปกคลุมซึ่งว่างระหว่างเส้นใย ทำให้ลดการถ่ายเทของอากาศ (breathable) อันเป็นข้อเสียอย่างหนึ่งของเทคนิคนี้ ในขณะที่การตกแต่งด้วยอนุภาคนาโนจะไม่ปรากฏเป็นฟิล์มเคลือบให้เห็นดังแสดงในภาพถ่าย SEM นอกจากนี้สังเกตเห็นได้ว่า ผ้าที่เคลือบด้วยซิลิกอนไดออกไซด์และหุ้มด้วยเอกซะเดคซิลไตรเมทอกซีซิเลน ผ้าฝ้ายจะมีพื้นผิวชุรุ่มมากกว่าผ้าไหมสาเหตุจากผ้าไหมมีพื้นผิวนานและลื่นเป็นรายๆ กันที่อนุภาคซิลิกอนไดออกไซด์จะยึดติดได้ ซึ่งในระหว่างกระบวนการตกแต่งผ้าจะหักห้ามหุ้มที่อนุภาคซิลิกอนไดออกไซด์ได้หลุดออกໄไป ทำให้ผ้าไหมที่ผ่านการตกแต่งมีพื้นผิวไม่ชุรุ่มมากเท่าที่ควร ต่างจากผ้าฝ้ายก่อนการตกแต่งจะหักห้ามพื้นผิวชุรุ่มเป็นหลุมทำให้อนุภาคนาโนซิลิกอนไดออกไซด์สามารถเกาะแนบติดบนพื้นผิวเส้นใยได้ดีกว่า ดังแสดงรูปที่ 4.49-4.57



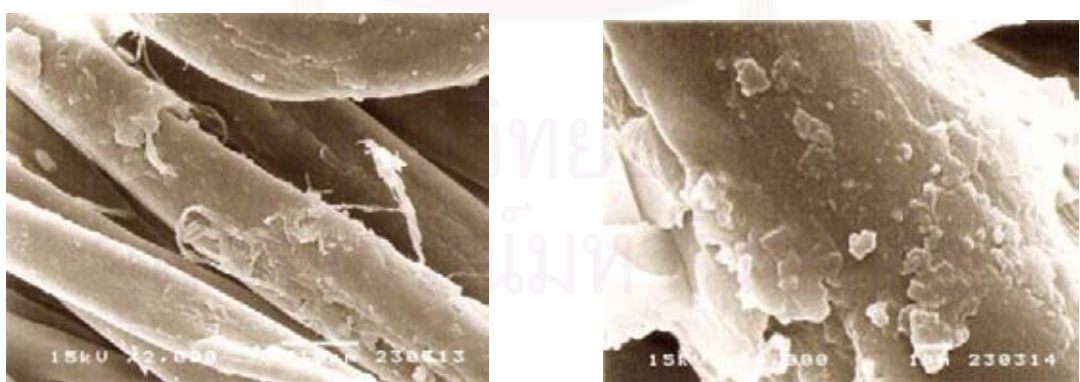
รูปที่ 4.49 แสดงพื้นผิวของอนุภาคซิลิกอนไดออกไซด์และอนุภาคซิลิกอนไดออกไซด์ในรูปแบบกล้องรุ่ยละเอียด 5 ของน้ำหนัก จากกล้อง SEM ที่กำลังขยาย 20,000 เท่า



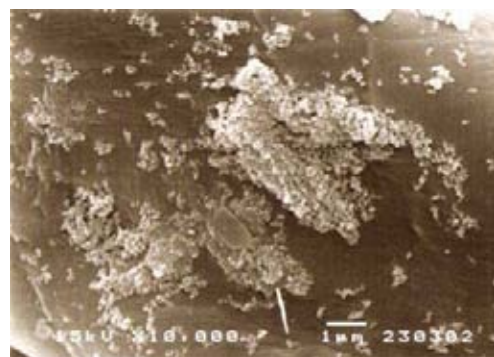
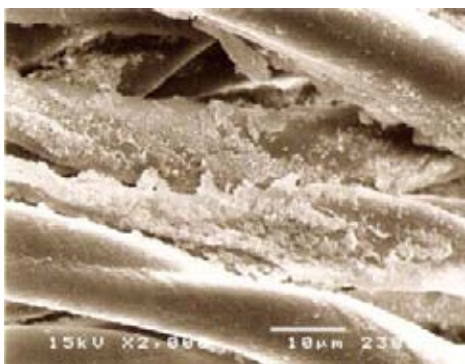
รูปที่ 4.50 แสดงพื้นผิวของผ้าฝ้ายที่ไม่ผ่านการตอกแต่งสะท้อนน้ำ จากกล้อง SEM ที่กำลังขยาย 2,000 และ 10,000 เท่า



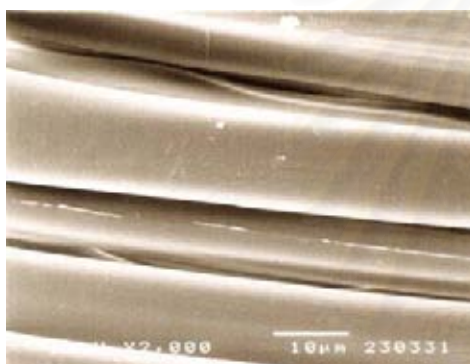
รูปที่ 4.51 แสดงพื้นผิวของผ้าฝ้ายที่ผ่านเคลือบด้วยซิลิกอนไดออกไซด์ร้อยละ 5 ของน้ำหนัก จากกล้อง SEM ที่กำลังขยาย 2,000 และ 10,000 เท่า



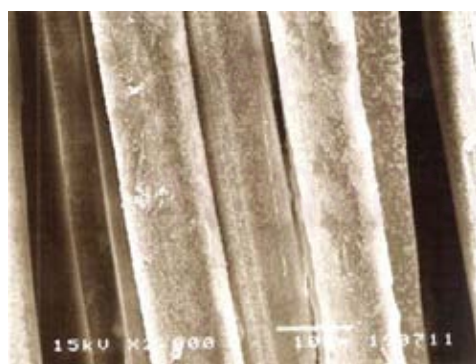
รูปที่ 4.52 แสดงพื้นผิวของผ้าฝ้ายที่เคลือบด้วยเยกซ์เดคซิลไตรเมทอกซีซิเลนร้อยละ 3 ของน้ำหนัก ปรับค่าพีเอชเท่ากับ 5 ด้วยกรดอะซิติก จากกล้อง SEM ที่กำลังขยาย 2,000 และ 10,000 เท่า



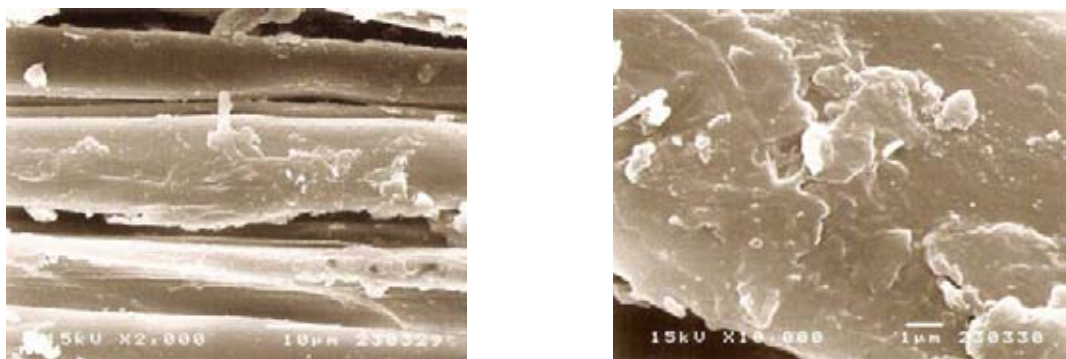
รูปที่ 4.53 แสดงพื้นผิวของผ้าฝ้ายที่ผ่านเคลือบด้วยซิลิกอนไดออกไซด์ร้อยละ 5 ของน้ำหนัก และเชกชีดเดคซิลิเตรเมทอกซิซิเลนร้อยละ 3 ของน้ำหนัก ปรับค่าพีเอชเท่ากับ 5 ด้วยกรดอะซิติก จากกล้อง SEM ที่กำลังขยาย 2,000 และ 10,000 เท่า



รูปที่ 4.54 แสดงพื้นผิวของผ้าไหมที่ไม่ผ่านการตกแต่งสะท้อนน้ำ จากกล้อง SEM ที่กำลังขยาย 2,000 และ 10,000 เท่า



รูปที่ 4.55 แสดงพื้นผิวของผ้าไหมที่ผ่านเคลือบด้วยซิลิกอนไดออกไซด์ร้อยละ 5 ของน้ำหนัก จากกล้อง SEM ที่กำลังขยาย 2,000 และ 10,000 เท่า



รูปที่ 4.56 แสดงพื้นผิวของผ้าไหมที่เคลือบด้วยเยกซะเดคซิลไตรเมทอกซีซิเลนร้อยละ 3 ของน้ำหนัก ปรับค่าไฟเช่ากับ 5 ด้วยกรดอะซิติก จากกล้อง SEM ที่กำลังขยาย 2,000 และ 10,000 เท่า

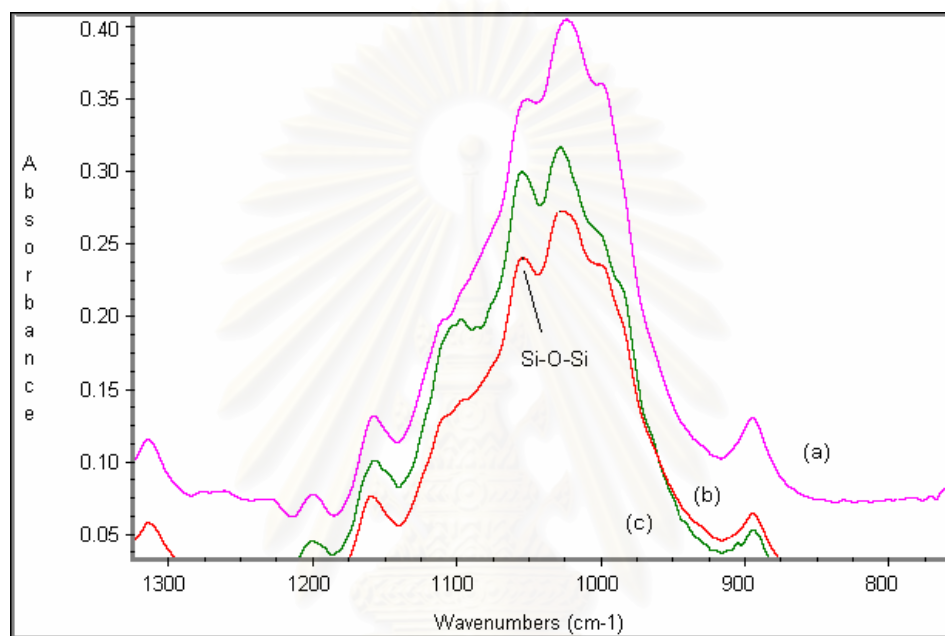


รูปที่ 4.57 แสดงพื้นผิวของผ้าไหมที่ผ่านเคลือบด้วยซิลิกอนไดออกไซด์ร้อยละ 5 ของน้ำหนัก และเยกซะเดคซิลไตรเมทอกซีซิเลนร้อยละ 3 ของน้ำหนัก ปรับค่าไฟเช่ากับ 5 ด้วยกรดอะซิติก จากกล้อง SEM ที่กำลังขยาย 2,000 และ 10,000 เท่า

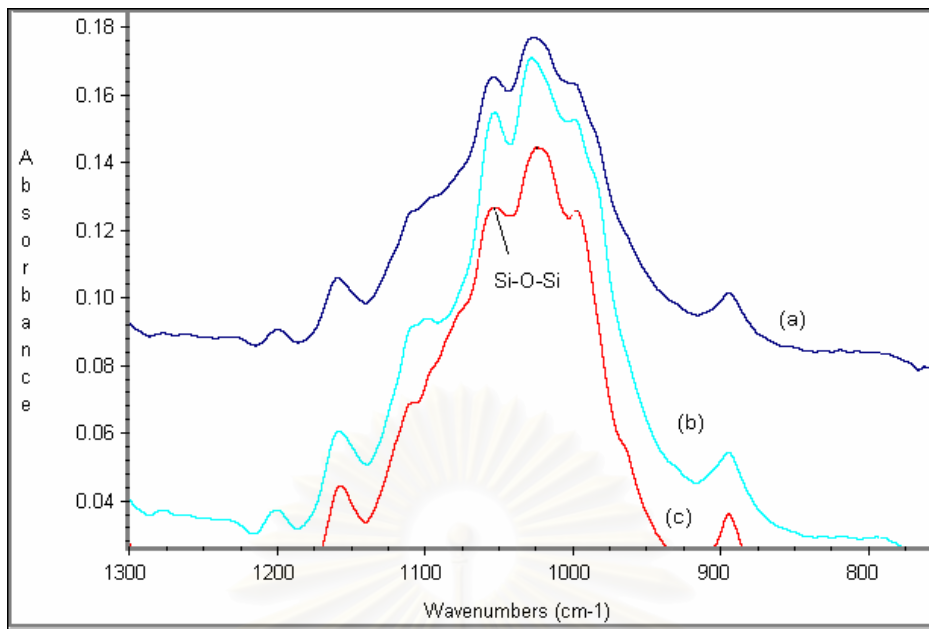
สถาบันวิทยบริการ
จุฬาลงกรณ์มหาวิทยาลัย

4.6 การตรวจหาลักษณะเฉพาะของสารเคลือบบนพื้นผิวผ้าที่ผ่านการตกแต่งสะท้อนน้ำด้วยเทคนิค ATR-FTIR

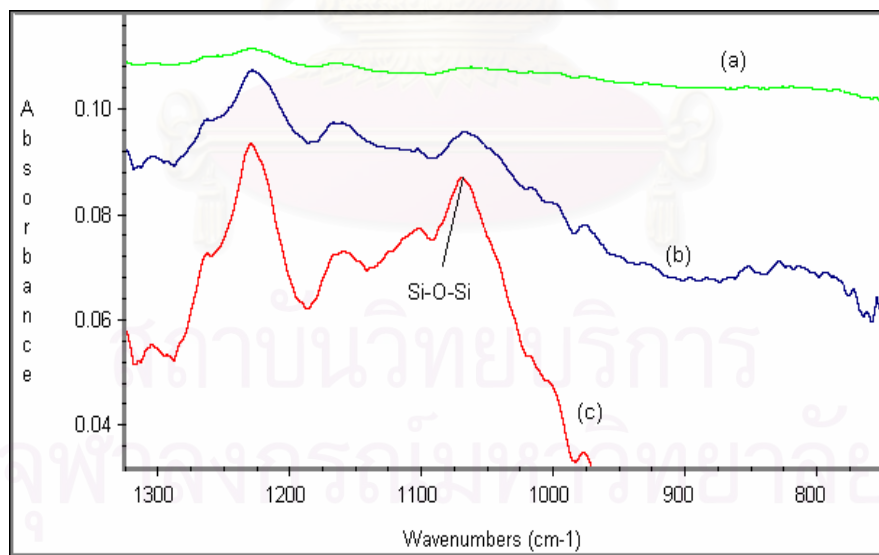
ได้อาศัยเทคนิค ATR-FTIR เพื่อทำการวิเคราะห์หลักณะเฉพาะของหมุฟังก์ชันของสารที่ใช้คือ ซิลิกอนไดออกไซด์และເກະສະເດຄີ່ລໄຕຣມທອກໜີ້ຊີເລັນທີ່ຕາກແຕ່ງລົງບົນຜໍາ ສປັກຕົວມີທີ່ໄດ້ແສດງໄວ້ໃນຮູບທີ່ 4.58-4.61



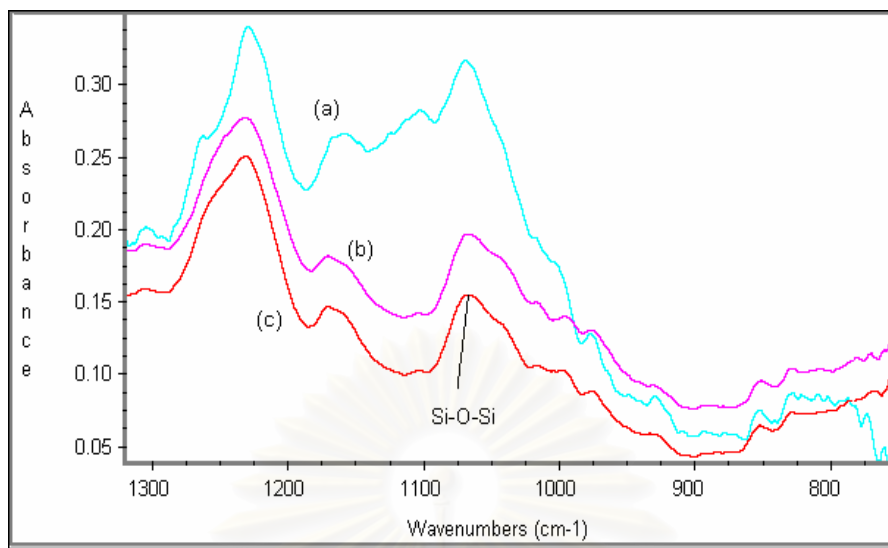
ຮູບທີ່ 4.58 ເປົ້າຍບໍ່ເປົ້າຍພົບພາເວດສປັກຕົວມີທີ່ໄດ້ຜໍາໄໝ (a) ໄນຜໍາໄໝທີ່ຜໍາໄໝ (b) ເຄລືອບດ້ວຍຊີລິກອນໄດ້ອອກໄ້ໂຊດ້ຮ້ອຍລະ 5 ຂອງນໍ້າຫັນກ ແລະ (c) ເຄລືອບດ້ວຍຊີລິກອນໄດ້ອອກໄ້ໂຊດ້ຮ້ອຍລະ 5 ຂອງນໍ້າຫັນກ ແລະເກະສະເດຄີ່ລໄຕຣມທອກໜີ້ຊີເລັນຮ້ອຍລະ 3 ຂອງນໍ້າຫັນກ ປັບປ່າປີເອົາເຖິງກັບ 5 ດ້ວຍກຽດຂະຊິຕິກ



รูปที่ 4.59 เปรียบเทียบค่าอินฟราเรดสเปกตรัมของผ้าฝ้ายที่ผ่านการเคลือบด้วยซิลิกอนไดออกไซด์ร้อยละ 5 ของน้ำหนัก และเอกซะเดคซิลไตรเมทอกซีซิเลนร้อยละ 3 ของน้ำหนัก ปรับค่าพีเอชเท่ากับ 5 ด้วยกรดอะซิติก (a) ก่อนซัก (b) หลังซัก 5 ครั้ง และ (c) หลังซัก 10 ครั้ง



รูปที่ 4.60 เปรียบเทียบค่าอินฟราเรดสเปกตรัมของผ้าใหม่ (a) ไม่ผ่านการตกแต่งสะท้อนน้ำ (b) เคลือบด้วยซิลิกอนไดออกไซด์ร้อยละ 5 ของน้ำหนัก และ (c) เคลือบด้วยซิลิกอนไดออกไซด์ร้อยละ 5 ของน้ำหนัก และเอกซะเดคซิลไตรเมทอกซีซิเลนร้อยละ 3 ของน้ำหนัก ปรับค่าพีเอชเท่ากับ 5 ด้วยกรดอะซิติก



รูปที่ 4.61 เปรียบเทียบอินฟราเรดสเปกตรัมของผ้าใบมีที่ผ่านการเคลือบด้วยซิลิกอนไดออกไซด์ร้อยละ 5 ของน้ำหนัก และเอกซะเดคซิลไตรเมทอกซิซิเลนร้อยละ 3 ของน้ำหนัก ปรับค่าพีเอชเท่ากับ 5 ด้วยกรดอะซิติก (a) ก่อนซัก (b) หลังซัก 5 ครั้ง และ (c) หลังซัก 10 ครั้ง

แสดงดังรูปที่ 4.58-4.61 สังเกตเห็นว่าผ้าที่ผ่านการตกแต่งด้วยซิลิกอนไดออกไซด์จะปรากฏสเปกตรัมของพันธะ Si-O-Si ที่ตำแหน่งความถี่ประมาณ $1050-1070\text{ cm}^{-1}$ แสดงว่ามีอนุภาคซิลิกอนไดออกไซด์อยู่บนพื้นผิวผ้าซึ่งไม่พบสเปกตรัมดังกล่าวในผ้าที่ไม่ผ่านการตกแต่งสะท้อนน้ำ ส่วนผ้าที่ผ่านการเคลือบด้วยซิลิกอนไดออกไซด์ร้อยละ 5 ของน้ำหนัก และเอกซะเดคซิลไตรเมทอกซิซิเลนร้อยละ 3 ของน้ำหนัก ปรับค่าพีเอชเท่ากับ 5 ด้วยกรดอะซิติก จะปรากฏสเปกตรัมของพันธะ Si-O-Si ที่ตำแหน่งความถี่ประมาณ $1050-1070\text{ cm}^{-1}$ เช่นกัน อันเนื่องจากพื้นผิวของผ้าปกคลุมไปด้วยเอกซะเดคซิลไตรเมทอกซิซิเลน ยืนยันการเกิดปฏิกิริยาซิลเจลที่เริ่มจากไฮโดroxิลิกซของหมู่อัลกอกาซีถูกไฮโดรไลซ์เป็นหมู่ซิลานอล (Si-OH) ต่อจากนั้นหมู่ซิลานอลเข้าทำปฏิกิริยาควบแน่นกันเองและเกิดปฏิกิริยาโพลิเมอเรชันแล้วหลังจากนั้นทำการระเหยด้วยความร้อนก็จะเกิดเป็นพันธะโคเวเลนต์คือ พันธะซิลอกเซน (Si-O-Si) และเมื่อนำผ้าสะท้อนน้ำที่เตรียมได้ไปผ่านการซักล้าง 5 และ 10 ครั้ง ยังคงปรากฏสเปกตรัมการยึดของพันธะ Si-O-Si ที่ตำแหน่งความถี่ประมาณ $1050-1070\text{ cm}^{-1}$ เป็นการยืนยันว่าภายหลังการซักล้าง 10 ครั้ง ยังคงมีอนุภาคซิลิกอนไดออกไซด์ที่ผ่านการดัดแปลงด้วยเอกซะเดคซิลไตรเมทอกซิซิเลนอยู่บนพื้นผิวผ้า ซึ่งสรุปได้ว่าทั้งผ้าฝ้ายและผ้าใบมีสมบัติสะท้อนน้ำอยู่

4.7 การวิเคราะห์หาปริมาณซิลิกอนไดออกไซด์บนผ้าที่ผ่านการตกรแต่งสะท้อนน้ำด้วยเทคนิคเทอร์โมกราวิเมทริกอะนาลิชิส (TGA)

จากการศึกษาสมบัติทางความร้อนของผ้าที่ผ่านและไม่ผ่านการตกรแต่งสะท้อนน้ำด้วยเทคนิคเทอร์โมกราวิเมทริกอะนาลิชิส ภายใต้บรรยายกาศออกซิเจน เพื่อหาร้อยละที่เหลือจากการเผาไหม้ แสดงดังตารางที่ 4.1

ตารางที่ 4.1 ร้อยละที่เหลือจากการเผาไหม้ของผ้าฝ้ายและผ้าไหมด้วยเทคนิค TGA

ตัวอย่าง	น้ำหนักก่อนเผา (มิลลิกรัม)	น้ำหนักหลังเผา (มิลลิกรัม)	ร้อยละที่เหลือ จากการเผาไหม้
ผ้าฝ้ายที่ไม่ผ่านการตกรแต่ง สะท้อนน้ำ	3.2279	0	0
ผ้าฝ้ายที่เคลือบซิลิกอนไดออกไซด์ ร้อยละ 5 ของน้ำหนัก	3.2689	0.0987	3.02
ผ้าฝ้ายที่ตกรแต่งสะท้อนน้ำ	3.1067	0.0844	2.72
ผ้าฝ้ายที่ตกรแต่งสะท้อนน้ำ โดย ผ่านการซัก 5 ครั้ง	3.2485	0.0415	1.28
ผ้าฝ้ายที่ตกรแต่งสะท้อนน้ำ โดย ผ่านการซัก 10 ครั้ง	3.2010	0.0100	0.31
ผ้าไหมที่ไม่ผ่านการตกรแต่ง สะท้อนน้ำ	3.2073	0	0
ผ้าไหมที่เคลือบด้วย ซิลิกอนไดออกไซด์	3.1140	0.0917	2.94
ผ้าไหมที่ตกรแต่งสะท้อนน้ำ	3.1642	0.0858	2.71
ผ้าไหมที่ตกรแต่งสะท้อนน้ำ โดยผ่านการซัก 5 ครั้ง	3.2293	0.0322	1.00
ผ้าไหมที่ตกรแต่งสะท้อนน้ำ โดยผ่านการซัก 10 ครั้ง	3.2582	0	0

จากตารางที่ 4.1 แสดงร้อยละที่เหลือจากการเพาไหม์ของผ้า (ผ้าฝ้ายและผ้าไหม) ที่ผ่านการตกแต่งสะท้อนน้ำด้วยด้ายซิลิกอนไดออกไซด์ ร้อยละ 5 ของน้ำหนัก และเอกสารเดคซิล ไตรเมทอกซิซิเลนร้อยละ 3 ของน้ำหนัก ปรับค่าพีอีซอเท่ากับ 5 ด้วยกรดอะซิติก และไม่ผ่านการตกแต่งสะท้อนน้ำ พบว่าผ้าฝ้ายและผ้าไหมที่ไม่ผ่านการตกแต่งสะท้อนน้ำ เมื่อเพาจนถึง อุณหภูมิ 1,000 องศาเซลเซียส ปรากฏว่าผ้าหั้งสองชนิดสลายตัวหมด ร้อยละที่เหลือจากการเพาไหมเป็น 0 ส่วนผ้าที่ผ่านการเคลือบด้วยซิลิกอนไดออกไซด์ร้อยละ 5 ของน้ำหนัก ผลที่ได้ ผ้าฝ้ายมีร้อยละที่เหลือจากการเพาไหมเท่ากับ 3.02 และผ้าไหมมีร้อยละที่เหลือจากการเพาไหม เท่ากับ 2.94 สำหรับผ้าที่ตกแต่งสะท้อนน้ำด้วยซิลิกอนไดออกไซด์ร้อยละ 5 ของน้ำหนัก และ เอกสารเดคซิล ไตรเมทอกซิซิเลนร้อยละ 3 ของน้ำหนัก ปรับค่าพีอีซอเท่ากับ 5 ด้วยกรดอะซิติก เป็นตัวเร่งปฏิกิริยา ผ้าฝ้ายมีร้อยละที่เหลือจากการเพาไหมเท่ากับ 2.72 และผ้าไหมมีร้อยละที่เหลือจากการเพาไหมเท่ากับ 2.71 โดยส่วนที่เหลือจากการเพาไหมลักษณะเป็นผงสีขาว ซึ่งนั้น คือ ซิลิกอนไดออกไซด์ที่ใช้ในการตกแต่งสะท้อนน้ำบนผิวผ้า ทั้งนี้ซิลิกอนไดออกไซด์ทนความร้อนได้ดีในภาวะเพาไหมที่อุณหภูมิ 1,000 องศาเซลเซียส อนุภาคซิลิกอนไดออกไซด์จะไม่ สลายตัว

หลังจากเตรียมผ้าสะท้อนน้ำได้แล้ว ไปทดสอบการซักล้าง 5 และ 10 ครั้ง พบว่า ภายหลังการซักล้างอนุภาคซิลิกอนไดออกไซด์หลุดออกไประดับสูง โดยส่วนที่เหลืออยู่นั้นหายใจจากร้อยละ ที่เหลือจากการเพาไหมภายในได้บรรยายกาศก้าวออกซิเจน พบว่าผ้าฝ้ายก่อนซักล้างร้อยละที่เหลือ จากการเพาไหมเท่ากับ 2.72 ภายหลังการซักล้างผ้าฝ้าย 5 และ 10 ครั้ง มีร้อยละที่เหลือจากการเพาไหม 1.28 และ 0.31 ตามลำดับ ส่วนผ้าไหมก่อนซักร้อยละที่เหลือจากการเพาไหม เท่ากับ 2.71 ภายหลังการซักล้าง 5 และ 10 ครั้ง ร้อยละที่เหลือจากการเพาไหมเท่ากับ 1.00 และ 0 ตามลำดับ จะเห็นได้ว่าภายหลังการซักล้างมีร้อยละที่เหลือจากการเพาไหมลดลงเมื่อ เทียบกับก่อนซักล้าง สาเหตุจากการซักล้างทำให้อนุภาคซิลิกอนไดออกไซด์ที่เคลือบอยู่บนผิวผ้า ไม่ทนต่อการขัดถู ทำให้หลุดลอกออกไประดับสูง แต่อย่างไรก็ตามการที่อนุภาคซิลิกอนไดออกไซด์ที่ติด ประหะมีสมบัติไม่ชอบน้ำหลุดออกไประดับสูง สงผลให้ผ้ามีพื้นผิวขรุขระลดลงและสมบัติสีสะท้อนน้ำลดลง นอกจากนี้พบว่าการตกแต่งสะท้อนน้ำด้วยวิธีนี้ผ้าฝ้ายมีร้อยละที่เหลือจากการเพาไหมสูงกว่าผ้าไหม ก็ เพราะผ้าไหมมีผิวเรียบมัน เป็นภารายกที่อนุภาคซิลิกอนไดออกไซด์จะสามารถยึดติดทน ทานบนผิวผ้า ต่างจากผ้าฝ้ายที่มีพื้นผิวเป็นหลุมเป็นปุ่มทำให้อนุภาคซิลิกอนไดออกไซด์สามารถ แทรกเข้าไปอยู่บนพื้นผิวผ้าได้ดีกว่า แสดงว่าผ้าฝ้ายสะท้อนน้ำที่เตรียมได้มีความคงทนต่อการซักล้างดีกว่าผ้าไหม

บทที่ 5

สรุปผลการวิจัยและข้อเสนอแนะ

5.1 สรุปผลการวิจัย

งานวิจัยนี้มีจุดประสงค์เพื่อศึกษาวิธีการที่เหมาะสมในการเตรียมผ้าฝ้ายและผ้าไหม สะท้อนน้ำด้วยออกซิเจนร่วมกับนาโนชิลิกอนไดออกไซด์ พร้อมทั้งศึกษาภาวะที่เหมาะสมในการพ่นกอน้ำภาชนะ nano-chillikon ไดออกไซด์ลงบนพื้นผิวสิ่งทอโดยอาศัยเทคนิคชีล-เจล และศึกษาสมบัติการสะท้อนน้ำบนพื้นผิวผ้าที่ผ่านการตกแต่งสำเร็จด้วยอนุภาชนะ nano-chillikon ไดออกไซด์ที่หุ้มด้วยเยกซะเดคซิล ไตรเมทอกซิซิเจน และลักษณะทางสัณฐานวิทยาของผ้าที่ผ่านการตกแต่ง สะท้อนน้ำ จากผลการทดลองสามารถสรุปได้ดังนี้

1. การเตรียมผ้าสะท้อนน้ำโดยการตกแต่งด้วยอนุภาชนะ nano-chillikon ไดออกไซด์และเยกซะเดคซิล ไตรเมทอกซิซิเจน พบร่วมกัน พบว่าผ้าฝ้ายมีความขาวเพิ่มขึ้น เมื่อเพิ่มปริมาณของชิลิกอนไดออกไซด์ แต่สำหรับผ้าไหมนั้นความขาวของผ้าค่อนข้างแปรปรวนถึงแม้จะเพิ่มปริมาณชิลิกอนไดออกไซด์มากขึ้น
2. ผ้าสะท้อนน้ำที่เตรียมได้มีมุนสัมผัสของน้ำประมาณ 120 องศา ถึงแม้จะใช้ปริมาณเยกซะเดคซิล ไตรเมทอกซิซิเจนเพียงร้อยละ 1 ของน้ำหนัก นอกจากนี้การใช้ชิลิกอนไดออกไซด์ในปริมาณสูงขึ้นทำให้มีมุนสัมผัสของน้ำบนผ้าฝ้ายและไหมสูงขึ้น ภาวะที่เหมาะสมในการเตรียมผ้า (ผ้าฝ้ายและไหม) สะท้อนน้ำด้วยอนุภาชนะ nano-chillikon ไดออกไซด์ในการทดลองนี้คือชิลิกอนไดออกไซด์ร้อยละ 5 ของน้ำหนัก และเยกซะเดคซิล ไตรเมทอกซิซิเจนร้อยละ 3 ของน้ำหนัก ปรับค่าพีเอชเท่ากับ 5 ด้วยกรดอะซิติกเป็นตัวเร่งปฏิกิริยา ได้มุนสัมผัสของน้ำบนผิวผ้าทั้งผ้าฝ้ายและผ้าไหมเท่ากับ 123 องศา เป็นค่าที่ดีที่สุดเมื่อเทียบกับผ้าที่ไม่ผ่านการตกแต่ง สะท้อนน้ำมีมุนสัมผัสของน้ำเท่ากับ 0 องศา
3. ทั้งผ้าฝ้ายและผ้าไหมที่ทำการเตรียมผ้าสะท้อนน้ำเดียวกัน จะให้มุนสัมผัสของน้ำใกล้เคียงกัน แต่เมื่อนำไปทดสอบความคงทนต่อการซัก 10 ครั้ง พบว่ามุนสัมผัสของน้ำบนผ้าไหมต่ำกว่าผ้าฝ้ายพอสมควร อันเนื่องมาจากการน้ำในผ้ามีลักษณะพื้นผิวเรียบมันทำให้ออนุภาชนะ nano-chillikon ไดออกไซด์ที่ยึดเกาะบนเส้นใยน้ำหลุดออกได้ง่ายกว่า

4. การทดสอบความคงทนของอนุภาคนาโนชิลิกอนไดออกไซด์บนผ้าภายในหลังการซักล้าง 10 ครั้ง ผลที่ได้นั้นมีสัมผัสของน้ำลดลง อันเนื่องมาจากการหลุดลอกของอนุภาคนาโนชิลิกอนไดออกไซด์ การทดสอบต่อจะทำให้ริบบิ้นจึงเหมาะสมกับการทดสอบต่อสิ่งทอที่ไม่จำเป็นต้องผ่านการซักปဲอย
5. อนุภาคนาโนชิลิกอนไดออกไซด์ทำให้พื้นผิวผ้า (ผ้าฝ้ายและผ้าไหม) มีความขาวประมาณมากขึ้น และเมื่อมีการเคลือบอนุภาคนาโนชิลิกอนไดออกไซด์สำหรับทดสอบน้ำสัดสิงห์ ไม่มีผลให้พื้นผิวผ้ามีพลังงานพื้นผิวต่ำลงกว่าเดิมมากคล้ายกับผิวใบบัว จึงทำให้ผ้ามีสมบัติสะท้อนน้ำและสามารถทำความสะอาดดูดซึมน้ำได้

5.2 ข้อเสนอแนะ

1. ควรศึกษาการเตรียมผ้าสำหรับทดสอบน้ำ โดยใช้สารที่ไม่ชอบน้ำชนิดอื่นแทนเชกชีดีคิล ได้แก่ เมทอกซิซิเลนมาเคลือบอนุภาคนาโนชิลิกอนไดออกไซด์สำหรับทดสอบน้ำสัดสิงห์ เนื่องจากสารเคมีชนิดนี้มีราคาแพง ไม่เหมาะสมนำมาใช้ในอุตสาหกรรม
2. ใน การทดลองนี้ควรปรับปรุงความคงทนต่อการซัก โดยใช้สาร 3-ไกลซิດอกซิไพรพิล ได้แก่ เอทอกซิซิเลน (3-glycidoxypropyl triethoxysilane) เป็นตัวประสานระหว่างเส้นใยที่มีหมู่ไฮดรอกซิล (-OH) กับอนุภาคนาโนชิลิกอนไดออกไซด์ เพื่อให้เกิดการเชื่อมโยงด้วยพันธะโคเวเลนต์ยึดเกาะดีขึ้นซึ่งช่วยเพิ่มความคงทนต่อการซักล้าง
3. เทคนิคโซล-เจล ที่ใช้ในการเตรียมผ้าสำหรับทดสอบน้ำในขั้นตอนภายหลังการหมัก ควรมีการศึกษาเปรียบเทียบการให้ความร้อนในการระเหยตัวทำละลายแทนการผึ้งแห้งที่อุณหภูมิห้อง
4. การทดสอบผิวสัมผัส ความกระด้างของผ้า และผลต่อสีบนผ้าที่ผ่านการทดสอบต่อจะทดสอบน้ำหลังการย้อมหรือพิมพ์ผ้า

รายการอ้างอิง

1. สิรีรัตน์ จากรุจินดา. สารช่วยล้างหอย. คัลเลอร์เวิร์ค 47 (2003): 46-50.
2. มนษา จันทร์เกตุเดียว. วิทยาศาสตร์ล้างหอยเบื้องต้น. พิมพ์ครั้งที่ 1. กรุงเทพมหานคร: สำนักพิมพ์สมาคมเครื่องสูดอากาศร่วมแห่งประเทศไทยในพระบรมราชูปถัมภ์, 2541.
3. Schindler, W.D., and Hauser, P.J. Chemical Finishing of Textiles. Cambridge: Woodhead Publishing Limited, 2004.
4. Luzinov, I. Ultrahydrophobic Fiber: Lotus Approach. Project No.C04-CL06. Chemistry. Surface Modification of Materials. Clemson University, 2004.
5. Heywood, D. Textile Finishing. Hampshire: Society of Dyers and Colourists, 2003.
6. ภาวี ศรีกุลกิจ. นาโนเทคโนโลยี. คัลเลอร์เวิร์ค 55 (2004): 18-20.
7. วีระศักดิ์ อุดมกิจเดชา. วิทยาศาสตร์เส้นใย. พิมพ์ครั้งที่ 2. กรุงเทพมหานคร: สำนักพิมพ์ จุฬาลงกรณ์มหาวิทยาลัย, 2543.
8. Karmaker, S.R Chemical Technology in the Pre-Treatment Processes of Textile. Netherland: Elsevier, 1999.
9. Routte, H.K. Encyclopedia Textile Finishing. New York: Springer, 2001
10. Sonthisombat, A., and Speakman, P.T. Silk: Queen of Fibres-The Cocise Story. Doctoral dissertation, Department of Textile Engineering, Faculty of Engineering, RIT University, 2004.
11. Hau, Y. Water Repellent Textile Finishes and Method of Making. US Patent, 6756077, June 29, 2004.
12. Holme, I. New Development in the Chemical Finishing of Textiles. Journal of the Textile Institute. 84,4 (1993): 520-533.
13. Sodono, C.S. Water and Soil Repellent for Fabric. New Jersey: Noyes Data Corporation, 1979.
14. Baumann, M., Sakoske, H., Poth, L., and Tunker, G. Learning from the Lotus Flower-Selfcleaning Coating on Glass. Glass Processing Days 15 (2003): 330-333.
15. Herminghaus, S., Gau, H., and Monch, W. Element with Extremely Strong Water-Repellent Dry Zones on the Surface Thereof. Worldpatent 01/23437, 1999.

16. Blossey, R. Self-Cleaning Surface-Virtual Realities. Natural Materials. 2 (2003): 301-306.
17. Wright, R., Park, H., and Blitshteyn, M. Method and Apparatus for Measuring Contact Angles of Liquid Droplets on Substrate Surfaces. US Patent, 5268733, December 7, 1993.
18. Gould, P. Smart Clean Surfaces. Material Today (November 2003): 44-48.
19. Pierre, A.C., and Pajonk, G.M. Chemistry of Aerogel and Their Application. American Chemical Society. 102 (2002): 4243-4265.
20. Brinker, C.J., and Scherer, G.W. Sol-Gel Science/The Physics and Chemistry of Sol-Gel Processing. Boston: Academic Press, 1990.
21. Katz, H.S., and Milewski, J.V. Handbook of Fillers for Plastics. New York: Van Nostrand Reinhold, 1987.
22. Rao, A.V. and Haranath, D. Effect of Methyltrimethoxysilane as a Synthesis Component on the Hydrophobicity and some Physical Properties of Silica Aerogel, Microporous and Mesoporous Materials. 20 (1999): 267-273.
23. Seach, U. Improve Nano-Layer Silicate Thermal Stability via Silylation. Bachelor's Thesis, Department of Engineering, Queensland University, 2003.
24. Mahlting, B., and Bttcher, H. Modified Silica Sol Coatings for Water- Repellent Textiles. Journal of Sol-Gel Science and Technology 27 (2003): 43- 52.
25. Wituck, G.L. The Silane Primer: Chemistry and Applications of Alkoxy Silanes. Journal of Coatings Technology. 65, 822 (1993): 57-60.
26. Tshabalala, M.A., and Gangstand, J.E. Accelerated Weathering of Wood Surfaces Coated with Multifunctional Alkoxy silane by Sol-Gel Deposition. Journal of Coatings Technology 75, 943 (2003): 37-43.
27. Cerne, L., and Siminic, B. Influence of Finishing on the Surface Free Energy of Cellulosic Textile Substrates. Textile Research Journal 74, 5 (2004): 426-432.
28. Daoud, W.A., Xin, J.H., and Tao, X. Superhydrophobic Silica Nanocomposite Coating by a Low-Temperature Process. Journal of American Ceramic Society 89, 9 (2004) : 1782-1784.

29. Han, J.T., Xu, X., and Cho, K. Diverse Access to Artificial Superhydrophobic Surfaces Using Block Copolymers. Langmuir 21 (2005): 6662-6665.
30. Hikita, M., Tanaka, K., Nakamura, T., Kajiyama, T., and Takahara, A. Super-Liquid-Repellent Surfaces Prepared by Colloidal Silica Nanoparticles Covered with Fluoroalkyl Groups. Langmuir 21 (2005): 7299-7302.
31. Tshabalala, M.A., Kingshott, P., Vanlandingham, M.R., and Plackett, D. Surface Chemistry and Moisture Sorption Properties of Wood Coated with Mutifunctional Alkoxy silanes by Sol-Gel Process. Journal of Applied Polymer Science 88 (2002): 2828-2841.
32. AATCC Technical Manual 110: 2000.
33. AATCC Technical Manual 61: 2001.
34. Meth, S., and Sukenik, C.N. Siloxane-Anchored Thin Films on Silicon Dioxide-Modified Stainless Steel. Thin Solid Films. 425 (2003): 49-58.
35. Nakagawa, T., and Soga, M. A New Method for Fabrication Water Repellent Silica Films Having High Heat-Resistance Using the Sol-Gel Method. Journal of Non-Crystalline Solids. 260 (1999): 167-174.
36. Jantas, R., and Gorna, K. Antibacterial Finishing of Cotton Fabrics. Fibres and Textiles in Eastern Europe. 14, 1 (2006): 88-91.
37. Lee, S.M., Cho, D., Park, W.H., Lee, S.A., Han, S.K., and Drzal, L.T. Novel Silk/Poly(Butylene Succinate) Biocomposites: the Effect of Short Fibre Content on Their Mechanical and Thermal Properties. Composites Science and Technology. 65 (2005): 647-657.



ภาคผนวก

สถาบันวิทยบริการ จุฬาลงกรณ์มหาวิทยาลัย

ก. ดัชนีความขาวของผ้า (ผ้าฝ้ายและผ้าไนม)

ตารางที่ ก1 ดัชนีความขาวของผ้าฝ้ายที่ผ่านการตกแต่งสะท้อนน้ำด้วยอนุภาคนาโนของซิลิกอนไดออกไซด์และเยกซะเดคซิลไตรเมทอกซีซิเลนที่ภาวะต่างๆ

ตัวอย่าง (ผ้าฝ้าย)	ดัชนีความขาว		
ไม่ตกแต่งสะท้อนน้ำ	64.75		
ตกแต่งสะท้อนน้ำ	pH 5 (HCl)	pH 4 (HCl)	pH 3 (HCl)
HDTMS 1%	69.87	69.74	70.22
Silica 1% และ HDTMS 1%	70.81	71.33	70.86
Silica 3% และ HDTMS 1%	71.39	71.71	71.14
Silica 5% และ HDTMS 1%	71.83	71.85	71.89
HDTMS 3%	68.64	68.97	69.10
Silica 1% และ HDTMS 3%	69.48	69.52	70.54
Silica 3% และ HDTMS 3%	71.15	71.17	70.96
Silica 5% และ HDTMS 3%	73.07	72.89	73.11
HDTMS 5%	67.50	66.75	68.36
Silica 1% และ HDTMS 5%	67.57	67.53	68.72
Silica 3% และ HDTMS 5%	69.72	68.84	68.75
Silica 5% และ HDTMS 5%	69.75	69.16	69.17

สถาบันวิทยบริการ
จุฬาลงกรณ์มหาวิทยาลัย

ตัวอย่าง (ผ้าฝ้าย)	ดัชนีความขาว		
ไม่ตอกแต่งสะท้อนน้ำ	64.75		
ตกแต่งสะท้อนน้ำ	pH 5 (CH ₃ COOH)	pH 4 (CH ₃ COOH)	pH 3 (CH ₃ COOH)
HDTMS 1%	69.61	69.43	70.38
Silica 1% และ HDTMS 1%	69.96	70.42	70.83
Silica 3% และ HDTMS 1%	70.27	70.61	70.94
Silica 5% และ HDTMS 1%	71.36	70.78	71.45
HDTMS 3%	68.66	68.76	69.01
Silica 1% และ HDTMS 3%	70.78	69.28	70.67
Silica 3% และ HDTMS 3%	72.25	71.16	71.13
Silica 5% และ HDTMS 3%	73.27	72.69	73.22
HDTMS 5%	68.73	67.19	68.19
Silica 1% และ HDTMS 5%	69.19	67.57	69.10
Silica 3% และ HDTMS 5%	70.83	68.92	70.84
Silica 5% และ HDTMS 5%	72.59	71.06	71.54

สถาบันวิทยบริการ
จุฬาลงกรณ์มหาวิทยาลัย

ตารางที่ ก2 ดัชนีความขาวของผ้าไหมที่ผ่านการตากแต่งสะท้อนน้ำด้วยอนุภาคนาโนของซิลิกอนไดออกไซเดและเยกซ์เดคซิลไฮโดรเมทอกซิซิเลนที่ภาวะต่างๆ

ตัวอย่าง (ผ้าไหม)	ดัชนีความขาว		
ไม่ตากแต่งสะท้อนน้ำ	59.86		
ตกแต่งสะท้อนน้ำ	pH 5 (HCl)	pH 4 (HCl)	pH 3 (HCl)
HDTMS 1%	61.55	62.28	60.66
Silica 1% และ HDTMS 1%	63.56	63.55	64.71
Silica 3% และ HDTMS 1%	64.66	62.76	63.18
Silica 5% และ HDTMS 1%	63.29	61.02	62.38
HDTMS 3%	61.11	59.57	61.42
Silica 1% และ HDTMS 3%	61.65	60.44	60.97
Silica 3% และ HDTMS 3%	62.93	61.63	63.09
Silica 5% และ HDTMS 3%	63.66	60.11	67.16
HDTMS 5%	55.50	57.65	57.63
Silica 1% และ HDTMS 5%	56.34	57.65	56.80
Silica 3% และ HDTMS 5%	54.47	56.99	55.83
Silica 5% และ HDTMS 5%	54.13	57.85	54.335

สถาบันวิทยบริการ
จุฬาลงกรณ์มหาวิทยาลัย

ตัวอย่าง (ผ้าไนม)	ดัชนีความขาว		
ไม่ตากแต่งสะท้อนน้ำ	59.86		
ตกแต่งสะท้อนน้ำ	pH 5 (CH ₃ COOH)	pH 4 (CH ₃ COOH)	pH 3 (CH ₃ COOH)
HDTMS 1%	60.39	61.57	60.51
Silica 1% และ HDTMS 1%	60.66	60.80	58.70
Silica 3% และ HDTMS 1%	59.32	63.16	59.79
Silica 5% และ HDTMS 1%	62.70	59.78	60.82
HDTMS 3%	59.88	56.70	57.75
Silica 1% และ HDTMS 3%	57.84	58.62	58.25
Silica 3% และ HDTMS 3%	61.04	59.91	56.70
Silica 5% และ HDTMS 3%	60.95	60.67	59.94
HDTMS 5%	57.63	58.66	55.46
Silica 1% และ HDTMS 5%	55.07	57.40	57.12
Silica 3% และ HDTMS 5%	59.24	53.91	51.45
Silica 5% และ HDTMS 5%	56.77	54.39	52.90

สถาบันวิทยบริการ
จุฬาลงกรณ์มหาวิทยาลัย

ข. มุ่งสัมผัสหน้าของผ้า (ผ้าฝ้ายและผ้าไหม)

ตารางที่ ข1 มุ่งสัมผัสหน้าของผ้าฝ้ายที่ผ่านการตกแต่งจะท่อน้ำด้วยอนุภาคนาโนของชิลิกอนไดออกไซด์และเยกซะเดคซิลไดรเมทอกซีซิลีนที่ภาวะต่างๆ

ผ้าฝ้าย	Silica (%)	HDTMS (%)	pH (HCl)	มุ่งสัมผัส ของน้ำ (องศา)		
				ก่อนชัก	ชัก 5 ครั้ง	ชัก 10 ครั้ง
A1	0	1	5	117.0	116.6	116.4
A2	1	1	5	118.8	118.4	117.6
A3	3	1	5	119.8	119.0	117.8
A4	5	1	5	119.4	117.2	117.0
A5	0	1	4	117.8	117.0	116.6
A6	1	1	4	120.2	118.6	118.0
A7	3	1	4	120.4	119.6	119.4
A8	5	1	4	119.8	119.4	118.0
A9	0	1	3	118.6	118.2	117.0
A10	1	1	3	119.8	119.2	117.4
A11	3	1	3	120.2	118.6	117.4
A12	5	1	3	121.0	119.6	118.8
B1	0	3	5	118.2	116.6	115.6
B2	1	3	5	121.2	118.8	118.0
B3	3	3	5	120.0	118.6	118.2
B4	5	3	5	121.6	120.2	119.0
B5	0	3	4	118.4	117.4	117.0
B6	1	3	4	121.8	120.0	118.0
B7	3	3	4	121.6	120.8	118.8
B8	5	3	4	122.0	119.6	119.0
B9	0	3	3	118.4	117.8	117.2
B10	1	3	3	120.4	119.8	118.4
B11	3	3	3	120.2	120.0	119.0
B12	5	3	3	120.8	120.4	118.6

ผ้าฝ้าย	Silica (%)	HDTMS (%)	pH (HCl)	มูมสัมผัส ของน้ำ (องศา)		
				ก่อนซัก	ซัก 5 ครั้ง	ซัก 10 ครั้ง
C1	0	5	5	118.6	118.4	115.8
C2	1	5	5	122.2	120.0	118.2
C3	3	5	5	121.8	119.8	117.4.
C4	5	5	5	119.8	119.6	118.6
C5	0	5	4	118.8	118.0	114.6
C6	1	5	4	120.4	120.0	115.2
C7	3	5	4	120.6	120.2	119.0
C8	5	5	4	121.6	121.2	117.4
C9	0	5	3	117.0	116.2	115.4
C10	1	5	3	120.0	118.2	118.0
C11	3	5	3	120.8	119.4	117.8
C12	5	5	3	120.0	119.8	118.8

สถาบันวิทยบริการ
จุฬาลงกรณ์มหาวิทยาลัย

ผ้า ฝ้าย	Silica (%)	HDTMS (%)	pH (CH ₃ COOH)	น้ำมันสัมผัส ของน้ำ (องศา)		
				ก่อนซัก	ซัก 5 ครั้ง	ซัก 10 ครั้ง
D1	0	1	5	119.8	119.4	114.0
D2	1	1	5	121.2	120.0	116.6
D3	3	1	5	121.8	120.6	117.2
D4	5	1	5	121.6	120.6	117.6
D5	0	1	4	118.2	118.0	115.0
D6	1	1	4	120.6	119.0	116.4
D7	3	1	4	121.6	119.6	117.4
D8	5	1	4	120.6	118.6	117.2
D9	0	1	3	117.2	116.0	115.0
D10	1	1	3	119.4	118.2	116.2
D11	3	1	3	120.8	119.4	118.2
D12	5	1	3	120.8	119.4	118.8
E1	0	3	5	120.0	118.9	117.4
E2	1	3	5	121.6	119.6	118.2
E3	3	3	5	122.6	119.7	118.4
E4	5	3	5	123.0	120.4	119.6
E5	0	3	4	118.6	117.5	116.6
E6	1	3	4	122.2	119.2	117.8
E7	3	3	4	121.6	119.8	119.2
E8	5	3	4	122.8	119.6	116.6
E9	0	3	3	118.4	117.7	116.2
E10	1	3	3	122.0	118.9	118.2
E11	3	3	3	121.4	119.8	119.6
E12	5	3	3	122.2	119.9	119.2

ผ้า ฝ้าย	Silica (%)	HDTMS (%)	pH (CH ₃ COOH)	มูนสัมผัส ของน้ำ (องศา)		
				ก่อนซัก	ซัก 5 ครั้ง	ซัก 10 ครั้ง
F1	0	5	5	120.4	116.6	116.6
F2	1	5	5	120.6	119.0	117.6
F3	3	5	5	121.4	119.8	118.4
F4	5	5	5	120.8	119.8	118.0
F5	0	5	4	118.8	118.0	116.4
F6	1	5	4	120.0	118.8	118.0
F7	3	5	4	120.4	118.8	117.8
F8	5	5	4	120.6	119.2	119.2
F9	0	5	3	117.8	117.0	117.0
F10	1	5	3	120.2	119.8	119.6
F11	3	5	3	120.0	120.0	119.6
F12	5	5	3	120.0	118.6	118.0



สถาบันวิทยบริการ
จุฬาลงกรณ์มหาวิทยาลัย

ตารางที่ ข2 มุนสัมผัสนำของผ้าไนล์ที่ฝ่านการตกรแต่งสีท้อนนำด้วยอนุภาคนาโนของ
ซิลิกอนไดออกไซด์และເຊັກະເດຄືລໄຕຣາມທອກຫີ່ຈິເລນທີ່ກວະຕ່າງໆ

ผ้าไนล์	Silica (%)	HDTMS (%)	pH (HCl)	มุนสัมผัส ของนำ (องศา)		
				ก่อนชัก	ชัก 5 ครั้ง	ชัก 10 ครั้ง
AA1	0	1	5	118.2	117.8	111.4
AA2	1	1	5	118.6	118.2	113.8
AA3	3	1	5	121.2	116.2	113.8
AA4	5	1	5	120.4	115.6	114.6
AA5	0	1	4	116.8	116.6	110.4
AA6	1	1	4	119.0	118.4	114.6
AA7	3	1	4	120.0	118.2	115.6
AA8	5	1	4	119.4	118.8	116.0
AA9	0	1	3	118.6	117.6	113.0
AA10	1	1	3	120.0	118.6	116.6
AA11	3	1	3	120.6	115.8	113.8
AA12	5	1	3	120.0	118.8	117.0
BB1	0	3	5	118.0	115.4	113.8
BB2	1	3	5	118.2	117.2	116.0
BB3	3	3	5	119.0	117.4	115.8
BB4	5	3	5	119.6	119.2	117.8
BB5	0	3	4	118.4	115.0	110.8
BB6	1	3	4	119.8	117.4	117.0
BB7	3	3	4	120.2	117.6	115.4
BB8	5	3	4	120.2	116.6	115.4
BB9	0	3	3	118.4	115.8	113.8
BB10	1	3	3	119.2	118.6	115.4
BB11	3	3	3	119.8	118.0	117.6
BB12	5	3	3	120.0	119.6	116.0

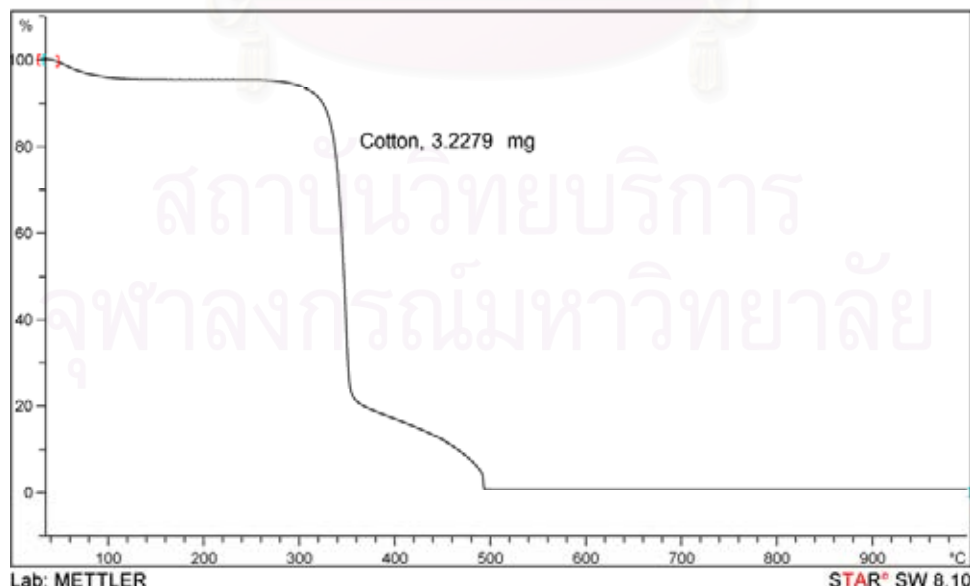
ผ้า ใหม่	Silica (%)	HDTMS (%)	pH (HCl)	น้ำมันสัมผัส ของน้ำ (องศา)		
				ก่อนซัก	ซัก 5 ครั้ง	ซัก 10 ครั้ง
CC1	0	5	5	119.0	116.4	114.8
CC2	1	5	5	120.4	119.0	115.0
CC3	3	5	5	119.8	118.0	116.8
CC4	5	5	5	120.4	118.4	118.0
CC5	0	5	4	118.6	116.2	114.8
CC6	1	5	4	120.2	118.5	115.8
CC7	3	5	4	120.0	118.6	116.2
CC8	5	5	4	120.0	118.6	116.2
CC9	0	5	3	118.8	117.4	112.0
CC10	1	5	3	120.0	118.8	113.6
CC11	3	5	3	120.0	119.8	113.6
CC12	5	5	3	119.8	119.6	116.0

สถาบันวิทยบริการ
จุฬาลงกรณ์มหาวิทยาลัย

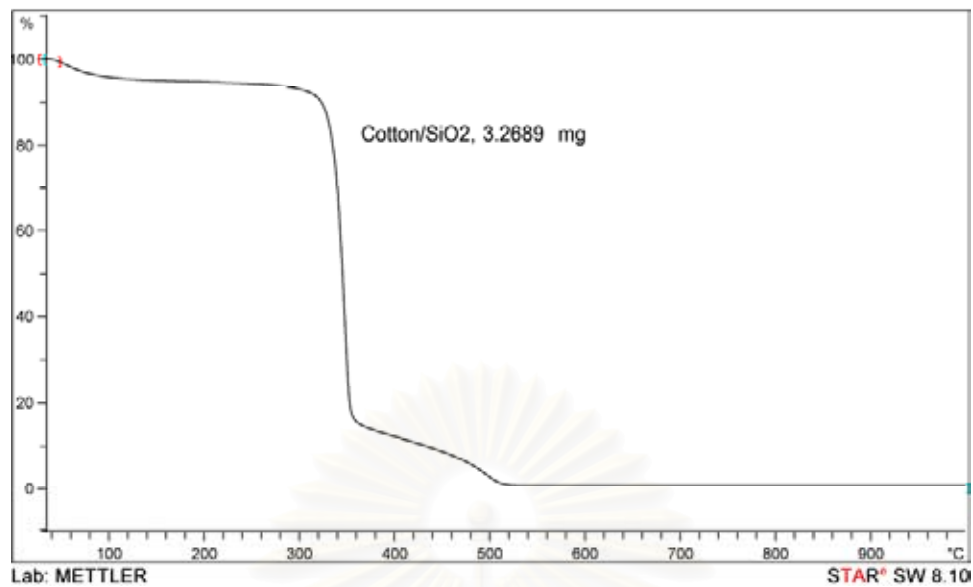
ผ้า ใหม่	Silica (%)	HDTMS (%)	pH (CH ₃ COOH)	มูนสัมผัส ของน้ำ (องศา)		
				ก่อนซัก	ซัก 5 ครั้ง	ซัก 10 ครั้ง
DD1	0	1	5	119.4	117.0	115.0
DD2	1	1	5	120.0	117.2	115.6
DD3	3	1	5	120.0	117.8	116.6
DD4	5	1	5	121.2	117.2	115.8
DD5	0	1	4	119.0	117.8	115.8
DD6	1	1	4	119.2	118.2	118.0
DD7	3	1	4	119.8	119.4	118.2
DD8	5	1	4	120.2	116.2	115.2
DD9	0	1	3	119.4	116.4	114.8
DD10	1	1	3	119.4	118.0	115.0
DD11	3	1	3	120.0	117.6	115.8
DD12	5	1	3	120.2	116.6	115.2
EE1	0	3	5	116.8	114.6	113.2
EE2	1	3	5	120.0	116.2	115.4
EE3	3	3	5	121.4	119.6	117.0
EE4	5	3	5	123.0	118.8	115.2
EE5	0	3	4	118.2	117.0	116.6
EE6	1	3	4	120.0	118.0	117.6
EE7	3	3	4	120.0	118.6	118.2
EE8	5	3	4	121.2	118.8	116.0
EE9	0	3	3	117.6	117.0	116.6
EE10	1	3	3	120.8	118.8	118.2
EE11	3	3	3	119.6	119.0	117.8
EE12	5	3	3	120.4	118.4	118.2

ผ้า ใหม่	Silica (%)	HDTMS (%)	pH (CH ₃ COOH)	มูนสัมผัส ของน้ำ (องศา)		
				ก่อนซัก	ซัก 5 ครั้ง	ซัก 10 ครั้ง
FF1	0	5	5	117.6	117.2	116.4
FF2	1	5	5	117.6	117.4	116.8
FF3	3	5	5	119.2	118.2	117.2
FF4	5	5	5	119.8	117.4	117.0
FF5	0	5	4	117.2	116.8	116.4
FF6	1	5	4	118.6	117.8	117.0
FF7	3	5	4	118.4	118.2	118.0
FF8	5	5	4	118.4	117.8	117.2
FF9	0	5	3	118.2	117.2	116.2
FF10	1	5	3	119.2	118.0	117.8
FF11	3	5	3	119.4	117.8	117.0
FF12	5	5	3	120.2	117.4	116.6

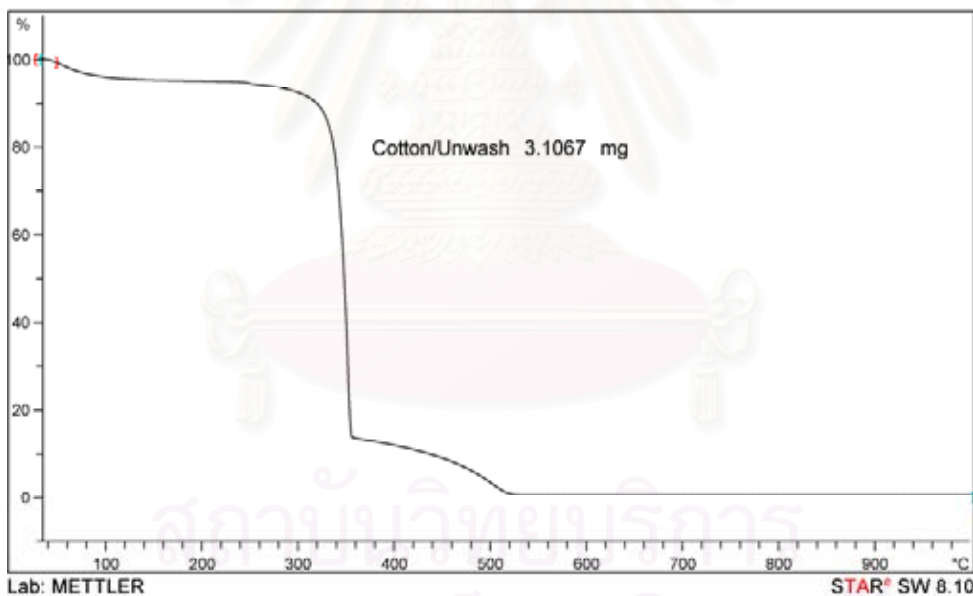
ค. สมบัติทางความร้อนของผ้าที่ผ่านและไม่ผ่านการตกแต่งสะท้อนน้ำด้วยเทคนิคเทอร์โมกราวิเมทริกอะนาลิชิส ภายใต้บรรยายกาศอุกซิเจน



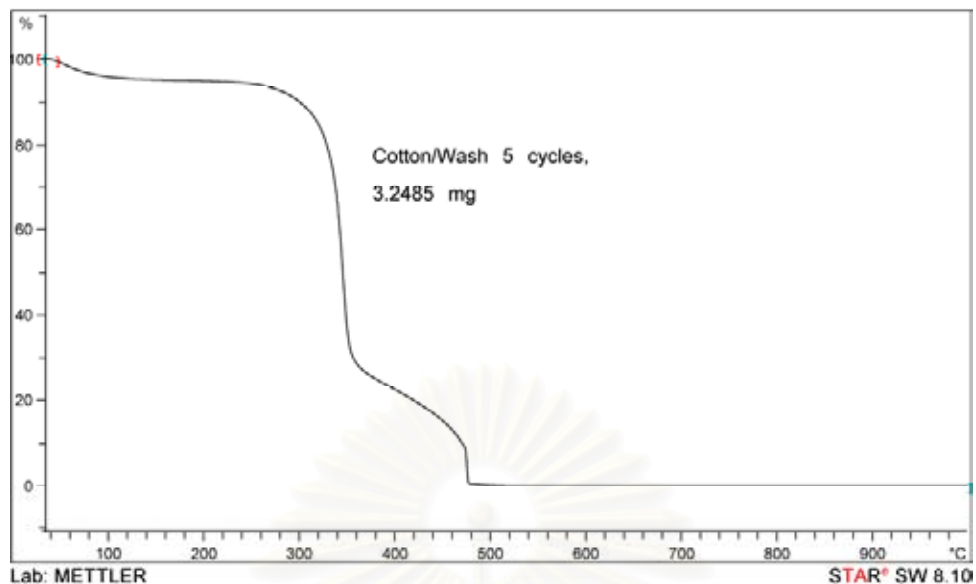
รูปที่ ค1 TGA เทอร์โมแกรมของผ้าฝ้ายที่ไม่ผ่านการตกแต่งสะท้อนน้ำ



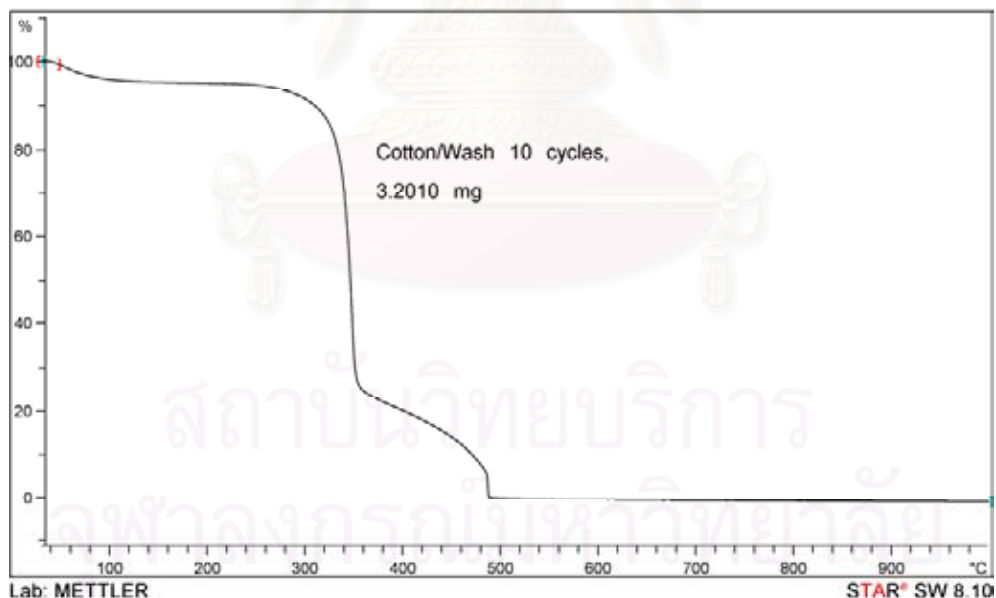
รูปที่ ค2 TGA เทอร์โมแกรมของผ้าฝ้ายที่เคลือบด้วยซิลิกอนไดออกไซด์ร้อยละ 5 ของน้ำหนัก



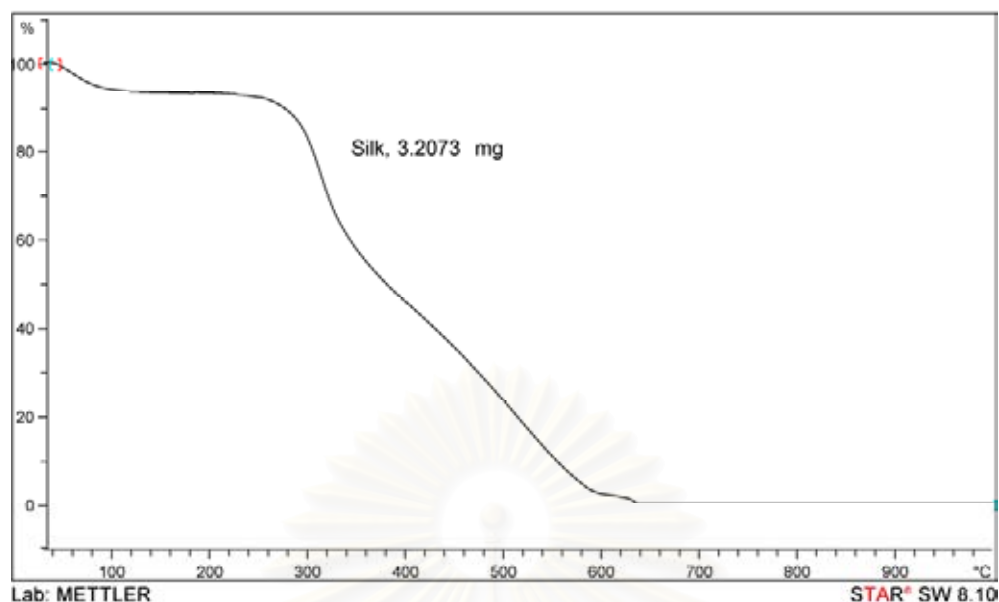
รูปที่ ค3 TGA เทอร์โมแกรมของผ้าฝ้ายที่เคลือบด้วยซิลิกอนไดออกไซด์ร้อยละ 5 ของน้ำหนัก และยกซะเดคซิลไตรเมทอกซีซิเลนร้อยละ 3 ของน้ำหนัก ปรับค่าพีเอชเท่ากับ 5 ด้วยกรดอะซิติก



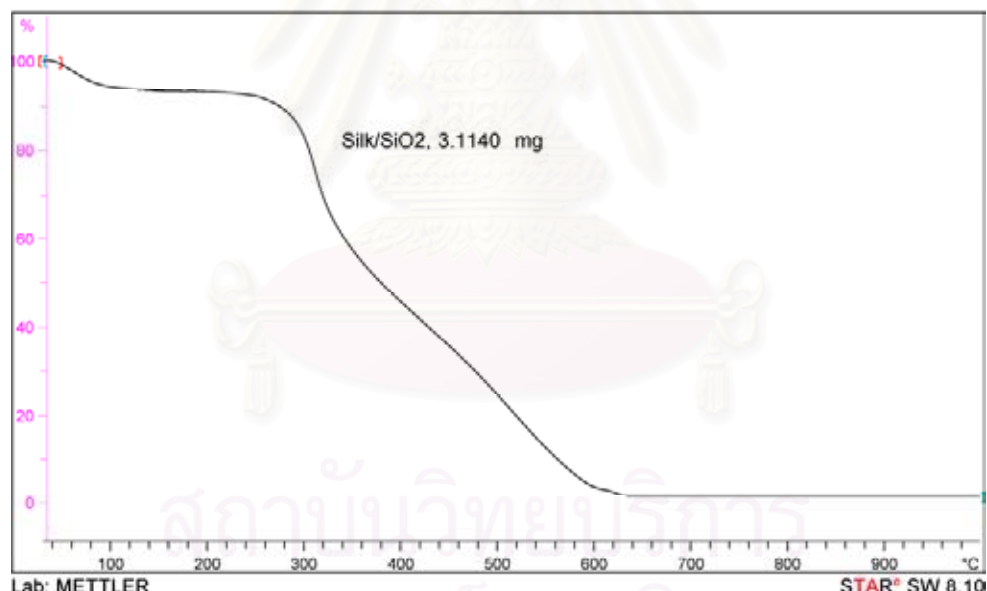
รูปที่ ค4 TGA เทอร์โมแกรมของผ้าฝ้ายที่เคลือบด้วยซิลิกอนไดออกไซด์ร้อยละ 5 ของน้ำหนัก และแยกชั้นเดคซิลไตรเมทธอกซีซิเลนร้อยละ 3 ของน้ำหนัก ปรับค่าพีเอชเท่ากับ 5 ด้วยกรดอะซิติก ภายหลังการซักล้าง 5 ครั้ง



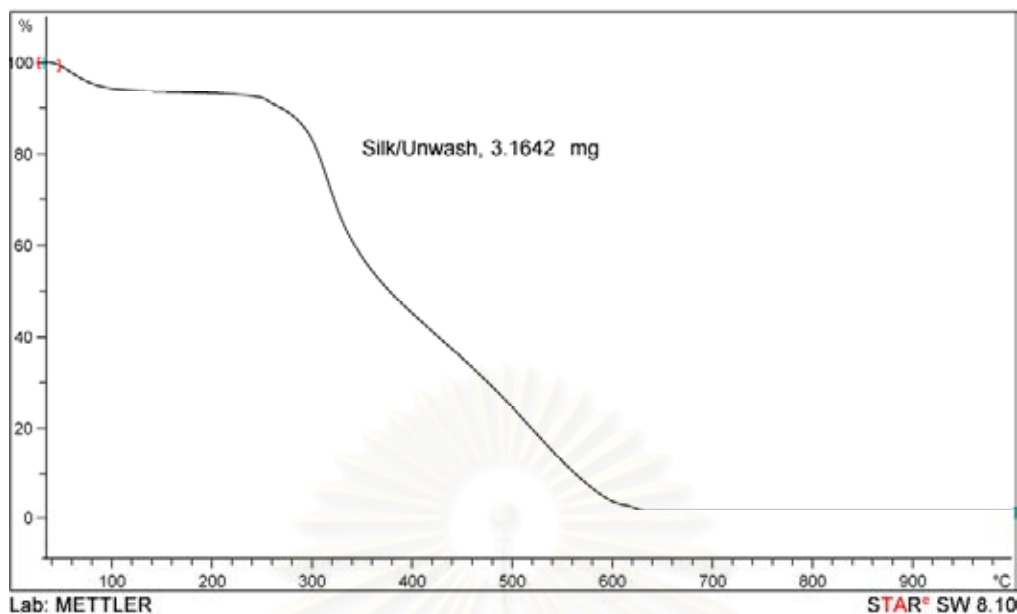
รูปที่ ค5 TGA เทอร์โมแกรมของผ้าฝ้ายที่เคลือบด้วยซิลิกอนไดออกไซด์ร้อยละ 5 ของน้ำหนัก และแยกชั้นเดคซิลไตรเมทธอกซีซิเลนร้อยละ 3 ของน้ำหนัก ปรับค่าพีเอชเท่ากับ 5 ด้วยกรดอะซิติก ภายหลังการซักล้าง 10 ครั้ง



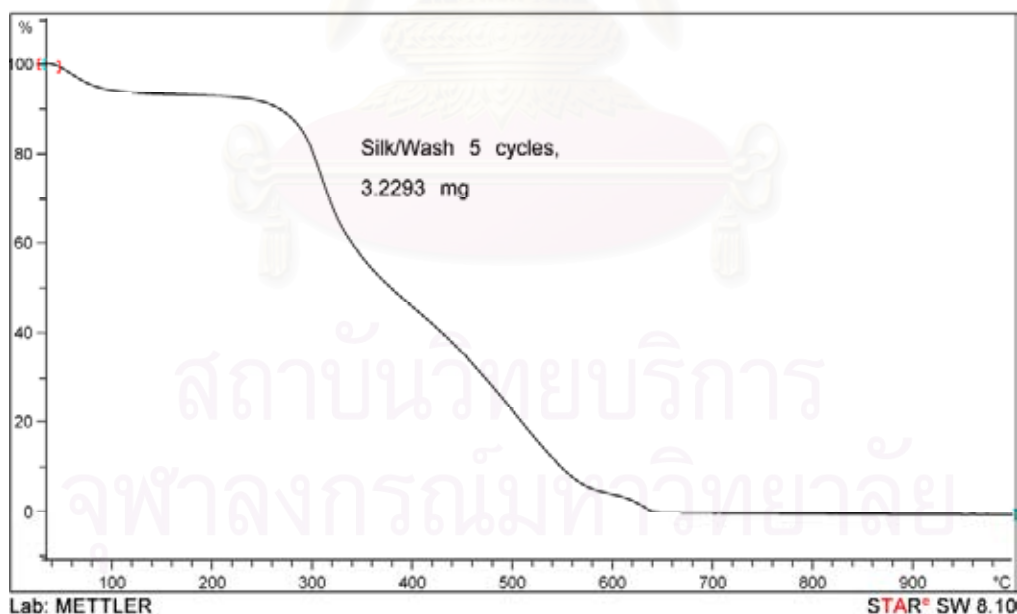
รูปที่ ค6 TGA เทอร์โมแกรมของผ้าไหมที่ไม่ผ่านการตกแต่งสะท้อนน้ำ



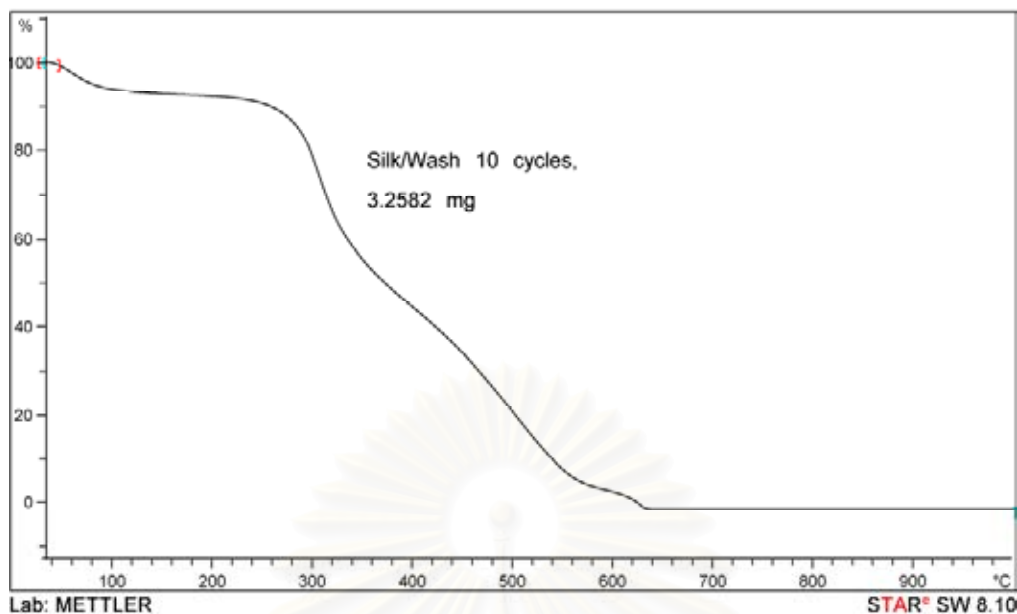
รูปที่ ค7 TGA เทอร์โมแกรมของผ้าไหมที่เคลือบด้วยซิลิกอนไดออกไซด์ร้อยละ 5 ของน้ำหนัก



รูปที่ ค8 TGA เทอร์โมแกรมของผ้าไหมที่เคลือบด้วยซิลิกอนไดออกไซด์ร้อยละ 5 ของน้ำหนัก และเขกซะเดคซิลไตรเอมทอกซีซิเลนร้อยละ 3 ของน้ำหนัก ปรับค่าพีเอชเท่ากับ 5 ด้วยกรดอะซิติก



รูปที่ ค9 TGA เทอร์โมแกรมของผ้าไหมที่เคลือบด้วยซิลิกอนไดออกไซด์ร้อยละ 5 ของน้ำหนัก และเขกซะเดคซิลไตรเอมทอกซีซิเลนร้อยละ 3 ของน้ำหนัก ปรับค่าพีเอชเท่ากับ 5 ด้วยกรดอะซิติก ภายหลังการซักล้าง 5 ครั้ง



รูปที่ ค10 TGA เทอร์โมแกรมของผ้าไหมที่เคลือบด้วยซิลิกอนไดออกไซด์ร้อยละ 5 ของน้ำหนัก และเขกซะเดคซิลไตรเมทอกซีซิเลนร้อยละ 3 ของน้ำหนัก ปรับค่าพีเอชเท่ากับ 5 ด้วยกรดอะซิติก ภายหลังการซักล้าง 10 ครั้ง

สถาบันวิทยบริการ
จุฬาลงกรณ์มหาวิทยาลัย

ประวัติผู้เขียนวิทยานิพนธ์

นางสาวธัญวรัตน์ พิพัฒนาภูษัย เกิดวันที่ 13 เมษายน พ.ศ.2524 ภูมิลำเนา อุบลราชธานี จังหวัดสุพรรณบุรี สำเร็จปริญญาวิทยาศาสตรบัณฑิต สาขาเคมีอุตสาหกรรม ภาควิชา วิทยาศาสตร์ คณะวิทยาศาสตร์และเทคโนโลยี มหาวิทยาลัยสงขลานครินทร์ วิทยาเขตปัตตานี ในปีการศึกษา 2545 หลังจากนั้นได้เข้าศึกษาในหลักสูตรปริญญาวิทยาศาสตรบัณฑิต สาขา วิทยาศาสตร์พลิเมอร์ประยุกต์และเทคโนโลยีสิ่งทอ ภาควิชาวัสดุศาสตร์ คณะวิทยาศาสตร์ จุฬาลงกรณ์มหาวิทยาลัย ในปีการศึกษา 2547

สถาบันวิทยบริการ
จุฬาลงกรณ์มหาวิทยาลัย